

18.10.05

Grober Abriss über den Inhalt:

- Elektrostatik
- Dielektrika
- Magnetostatik
- Induktion
- Maxwell-Gleichungen
- Wellen
- Strahlung - Optik
- Relativist. Formulierung

Math. Begriffe u. Konzepte

- Gradient: ∇f (Anstieg)
- Divergenz $\nabla \cdot A$ (Quellen)
- Rotation $\nabla \times A$ (Wirbel)
- Gauß: $\int_{(o)} \vec{A} \cdot d\vec{A} = \int_{(V)} \nabla \cdot \vec{A} dV$
- Stokes: $\oint_F \vec{A} \cdot d\vec{r} = \int (\nabla \times \vec{A}) \cdot d\vec{A}$
- Delta-Funktion: $\delta(x), \delta(\vec{r}) \sim \int \delta(x) dx = 1 = \int \delta(\vec{r}) d^3r$

I. Elektrostatik

0. Einführung

(1) Historie

- Feldlinienbilder schon bei Faraday
- Maxwell setzte sie in Formeln um
- Hertz schafft Gleichungen
- Coulombgesetz $\vec{F}(\vec{r}) = \frac{1}{4\pi\epsilon_0} \frac{q_1 \cdot q_2}{r^2} \vec{e}_r$
- Messungen schon 1772 von Cavendish
- Coulomb (1736-1806) war Ingenieur, Expt 1785/87

(2) Grundgleichungen

Divergenz: $\vec{\nabla} \cdot \vec{E} = \rho / \epsilon_0$ (Quellen von E)

Rotation: $\vec{\nabla} \times \vec{E} = 0$ (Wirbelfrei)

Schreibt man $\vec{E} = -\vec{\nabla}\phi$ so folgt für das Potential

$$-\vec{\nabla}^2 \vec{E} = \rho / \epsilon_0$$

$$\sim -\Delta\phi(\vec{r}) = \rho(\vec{r}) / \epsilon_0 \quad \text{Poisson-Gleichung}$$

Speziell im Vakuum ($\rho=0$):

$$\Delta\phi(\vec{r}) = 0 \quad \text{Laplace Gleichung}$$

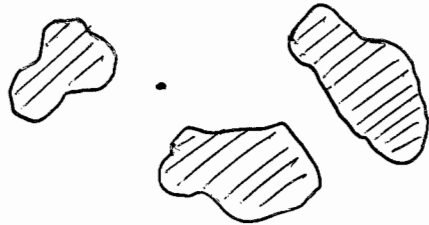
Elektrostatik bedeutet mathematisch die Lösung der Poisson- bzw. Laplace-Gl. mit gewissen Randbedingungen

→ Metallische Ränder: \vec{E} senkrecht bzw. $\phi = \text{Konst.}$

1. ~~Situation~~ Randwertprobleme

(1) Situation

- Gegeben:
- Metallische Körper (geladen oder ungeladen)
 - eventuell zusätzl. Punktladungen



Gesucht: Potential und Feld im ganzen Raum

Formale Aufgabe: Löse Poisson-Gl. mit RB $\phi = \text{konst.}$ auf der Leiteroberflächen und $\phi = 0$ im Unendlichen

Definition: Die Angabe von $\phi(\vec{r})$ auf dem Rand heißt "Dirichlet-RB"

Andere Typen sind:

Neumann-RB: $\frac{\partial \phi}{\partial n}$ gegeben

Cauchy-RB: ϕ und $\frac{\partial \phi}{\partial n}$ vorgegeben

} selten!

Generell:

- RB sind bei DGL stets notwendig
- Wenn man ϕ mit dem Verfahren bestimmt hat, kann man am Ende auch die Ladungsdichten auf den Leitern bekommen

(2) Eindeutigkeit

Betrachte zwei Lösungen ϕ_1, ϕ_2 der Poisson-Gl., beide erfüllen die RB auf den Leitern

setze $\phi = \phi_1 - \phi_2$

Dann ist: $\Delta \phi = 0$ (Quellen fallen weg)

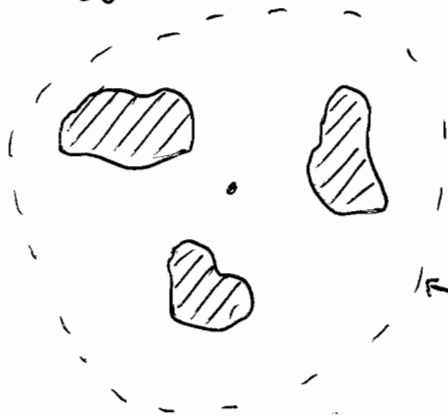
und $\phi = 0$ auf Rand (Dirichlet-RB)

bzw. $\frac{\partial \phi}{\partial n} = 0$ auf Rand (Neumann)

Betrachte Gauß:

$$\int_V \vec{\nabla} \cdot \vec{A} \, dV = \int_V \vec{A} \cdot d\vec{\mathcal{A}} \quad \text{für } \vec{A} = \phi \vec{\nabla} \phi$$

$$\sim \int_V (\underbrace{\phi \vec{\nabla}^2 \phi}_{=0} + \underbrace{\vec{\nabla} \phi \cdot \vec{\nabla} \phi}_0) \, dV = \int_V \phi \vec{\nabla} \phi \cdot d\vec{\mathcal{A}} = \int_V \phi \cdot \underbrace{\frac{\partial \phi}{\partial n}}_{=0 \text{ für beide RB!}} \, d\mathcal{A}$$



← muss beim Integrieren berücksichtigt werden

$$\sim \int_V (\vec{\nabla} \phi)^2 \, dV = 0 \Rightarrow \boxed{\vec{\nabla} \phi = 0} \rightarrow \phi \text{ ist im Volumen konstant}$$

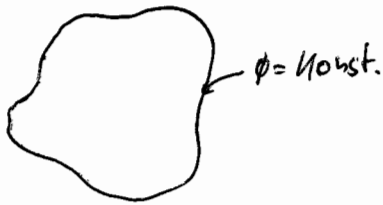
→ Für Dirichlet muss $\phi = 0$ auf Rand sein

$\sim \phi = 0$ überall

$\sim \boxed{\phi_1 = \phi_2} \Rightarrow$ eindeutig!

→ Für Neumann: $\boxed{\phi_1 = \phi_2 + \text{Konst.}}$ aber \vec{E} ist dann eindeutig!

Anwendung: Feld in einem metall. Hohlraum



innen: $\Delta\phi = 0$

$\sim \phi = \text{Konst.}$ ist eine Lösung

Nach dem Satz ist es die einzigste Lösung

$\sim E = -\vec{\nabla}\phi \equiv 0$ (Faradayscher Käfig)

(3) Praktisches Vorgehen zur Lösung solcher Probleme

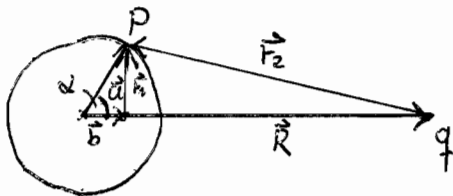
- Bildladungsmethode (für einfache Geometrien)
- Konforme Abbildungen (für 2D Probleme)
- Lösung der Laplace/Poisson-Gl. in ~~zwei~~ spez. KO-Systemen
- Numerische Lösung

2. Bildladungsmethode

Prototyp: Punktladung vor metall. Kugel

(1) Bestimmung der Bildladung

Geometrie:



Idee: Man kann b so wählen, dass r_1/r_2 für alle P gleich ist.

Schreibe:

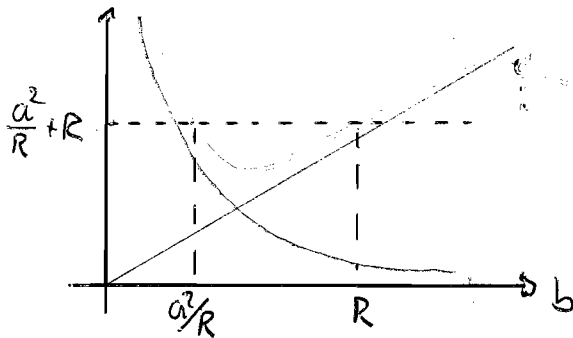
$$\vec{a} = \vec{b} + \vec{r}_1 \quad \rightarrow \quad \vec{r}_1 = -\vec{b} + \vec{a}$$

$$\vec{a} = \vec{R} + \vec{r}_2 \quad \rightarrow \quad \vec{r}_2 = \vec{a} - \vec{R}$$

$$\left(\frac{r_1}{r_2}\right)^2 = \frac{(a^2 + b^2 - 2ab \cos \alpha)}{(a^2 + R^2 - 2aR \cos \alpha)} = \frac{b}{R} \frac{\frac{a^2 R}{b} + bR - 2aR \cos \alpha}{a^2 + R^2 - 2aR \cos \alpha}$$

Dies ist unabh. von α , wenn

$$R \left(\frac{a^2}{b} + b \right) = a^2 + R^2 \quad (\Leftrightarrow) \quad \frac{a^2}{b} + b = \frac{a^2}{R} + R$$



Lösungen:

$$b = R \quad (\text{unbrauchbar})$$

$$\boxed{b = a^2/R}$$

Dann ist $\boxed{\frac{r_1}{r_2} = \frac{a}{R}}$

Jetzt bei \vec{b} eine Ladung $(-q')$ anbringen
Dann ist das Potential auf der Kugel

$$\phi = \frac{1}{4\pi \epsilon_0} \left(\frac{q}{r_2} - \frac{q'}{r_1} \right)$$

Dies ist identisch null, wenn

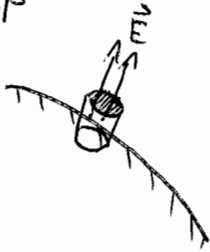
$$\frac{q}{r_2} = \frac{q'}{r_1} \quad \leadsto \quad q' = \frac{r_1}{r_2} q = \underbrace{\frac{a}{R}}_{< 1} q$$

Die Ladung $(-q')$ simuliert das Feld der Influenzladungen auf der Kugeloberfläche. $(-q')$ ist die gesamte Influenzladung auf der Kugeloberfläche.

Wenn die Kugel neutral sein soll, dann muß man noch eine Ladung (+q') in den Mittelpunkt setzen.

(3) Oberflächenladungen

Gauß



$$\int \vec{E} \cdot d\vec{f} = \frac{Q}{\epsilon_0}$$

$$\approx E_n \cdot d\vec{f} = \frac{\sigma \cdot d\vec{f}}{\epsilon_0}$$

$$\rightarrow E_n = \sigma / \epsilon_0 \quad \approx \quad \sigma = E_n \cdot \epsilon_0$$

→ Übungen

(4) Anziehungskraft

Diese lässt sich aus dem Feld der Bildladungen berechnen

Betrag:

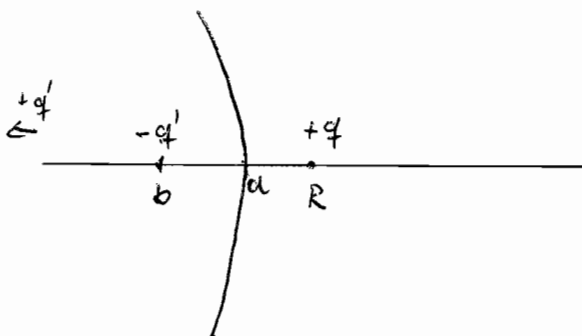
$$F = \frac{1}{4\pi \epsilon_0} \left(\frac{q'}{(R-b)^2} - \frac{q'}{R^2} \right) \cdot q$$

$$= \frac{1}{4\pi \epsilon_0} q^2 \left(\frac{a/R}{(R - \frac{a^2}{R})^2} - \frac{a/R}{R^2} \right)$$

$$= \frac{q^2}{4\pi \epsilon_0} \frac{a}{R^3} \left(\frac{1}{(1 - a^2/R^2)^2} - 1 \right)$$

$$\approx \frac{1}{R^5} \text{ für } R \gg a$$

(5) Grenzfall der Ebene



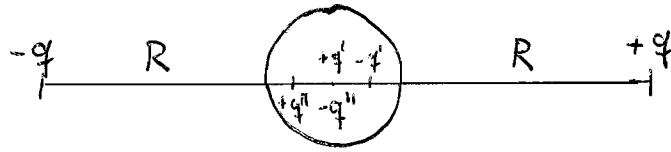
Wenn $R \approx a$, sieht die Kugeloberfläche wie eine Ebene aus

Dann ist

$$a-b = \frac{a}{R} (R-a)$$

$\underbrace{\frac{a}{R}}_{\approx 1}$

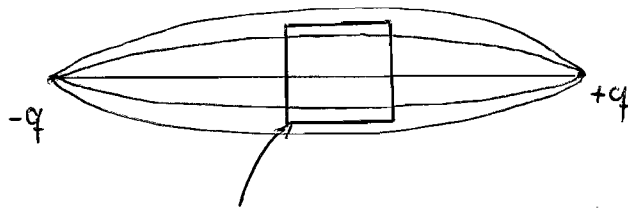
(6) Kugel zwischen zwei Punktladungen



In der Kugel sitzt ein Dipol mit Moment

$$p = 2b \cdot q' = 2b q \frac{a^3}{R^2}$$

Diese Anwendung beschreibt auch eine Kugel in einem homogenen E-Feld, wenn man $\pm q$ weit auseinander zieht



hier ist das Feld etwa homogen

$$E \approx \frac{1}{4\pi\epsilon_0} \cdot q \cdot \frac{1}{R^2} \cdot 2$$

Damit ist α

$$p = 2 \cdot \underbrace{2\pi\epsilon_0 R^2}_{\alpha} \cdot E \cdot \frac{a^3}{R^2}$$

$$\approx p = \underbrace{(4\pi\epsilon_0 \cdot a^3)}_{\text{Polarisierbarkeit } \alpha} E$$

3. Konforme Transformationen

Elegante Methode für 2D Potentialprobleme

(1) Mathematische Basis

(a) Sei $z = x + iy$. Betrachte analytische Funktionen $f(z)$.

$$\rightarrow \frac{\partial f}{\partial x} = \frac{df}{dz} \cdot \underbrace{\frac{\partial z}{\partial x}}_{=1} = \frac{df}{dz} \rightarrow \frac{\partial^2 f}{\partial x^2} = \frac{d^2 f}{dz^2}$$

$$\rightarrow \frac{\partial f}{\partial y} = \frac{df}{dz} \frac{\partial z}{\partial y} = i \frac{df}{dz} \rightarrow \frac{\partial^2 f}{\partial y^2} = -\frac{d^2 f}{dz^2}$$

$$\Rightarrow \boxed{\frac{\partial^2 f}{\partial x^2} + \frac{\partial^2 f}{\partial y^2} = 0} \quad \text{Laplace-Gl.}$$

mit $f = u + iv$ erfüllen u und v ebenfalls die Laplace-Gl.

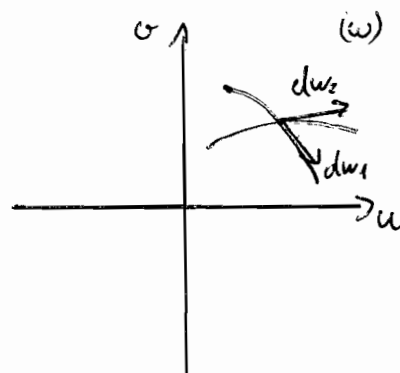
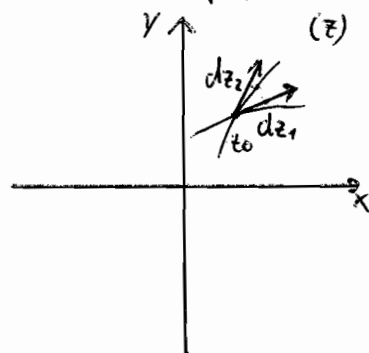
(b) Äquipotential- und Feldlinien

Betrachte die Kurvenscharen $u = \text{konst.}$ und $v = \text{konst.}$

Beh.: Diese stehen aufeinander senkrecht.

Bew.: Betrachte die Abb.

$$z \rightarrow w = f(z)$$



Sei $dz_i = dr \cdot e^{i\varphi_i}$ (z-Ebene)

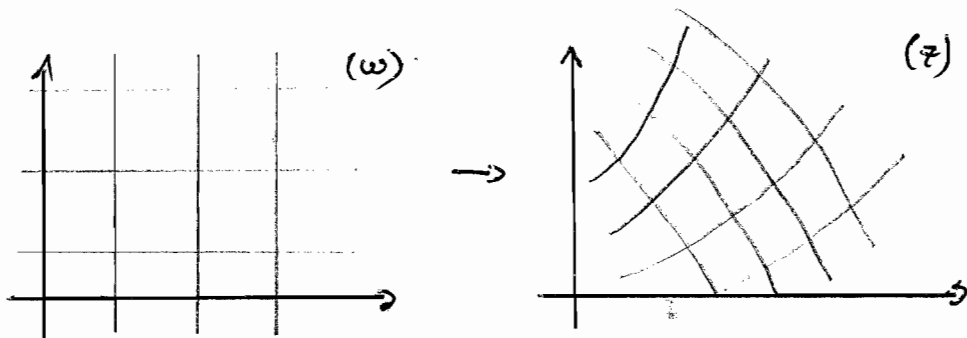
$$\rightarrow \frac{dz_2}{dz_1} = e^{i(\varphi_2 - \varphi_1)}$$

In der w-Ebene:

$$dw_i = f'(z_0) \cdot dz_i = f'(z_0) \cdot dr \cdot e^{i\varphi_i}$$

$$\rightarrow \frac{dw_2}{dw_1} = e^{i(\varphi_2 - \varphi_1)} \rightarrow \text{gleicher Winkel}$$

Die Linien $u = \text{konst.}$, $v = \text{konst.}$ sind in der w-Ebene Geraden



Wählt man also u als Potential, so sind die Linien $v = \text{konst.}$ die Feldlinien und umgekehrt.

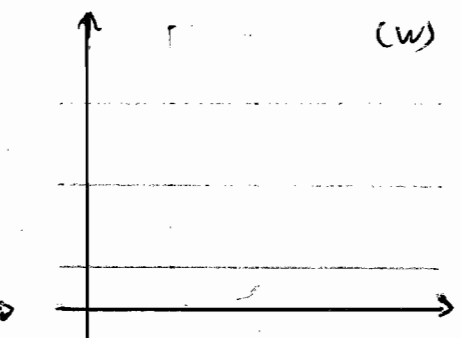
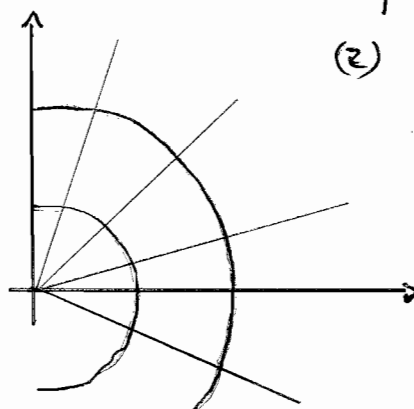
(2) Illustration

$$w = f(z) = \ln z$$

$$u + iv = \ln(re^{i\varphi}) = \ln r + i\varphi$$

$$\approx u = \ln r$$

$$v = \varphi$$



$v = \text{konst.}$

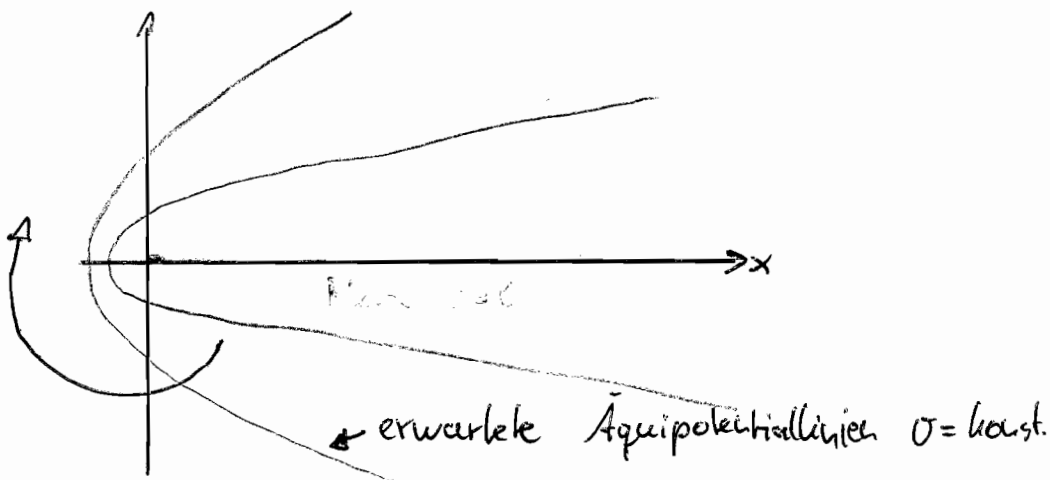
Wähle u als Potential \rightarrow Zylinderkondensator

$$u = \ln r \rightarrow E = \frac{1}{r}$$

Wähle v als Potential \rightarrow Zwei Platten unter einem Winkel

4. Beispiele Konformer Transformationen

(1) Halbumendliche gerade Platte



Idee: Die untere Halbebene durch die Abb. nach oben bringen und damit die Äquipotential. "geradebiegen"

Das geht mit: $w = \sqrt{z}$

$$\text{Sei } w = \rho \cdot e^{i\alpha}; \quad z = r e^{i\varphi}$$
$$\leadsto \rho e^{i\alpha} = \sqrt{z} = \sqrt{r} e^{i\frac{\varphi}{2}}$$

$$\Rightarrow \rho = \sqrt{r}; \quad \alpha = \frac{\varphi}{2}$$

$\hookrightarrow \varphi = 2\pi$ entspricht $\alpha = \pi$ (obere Halbebene)

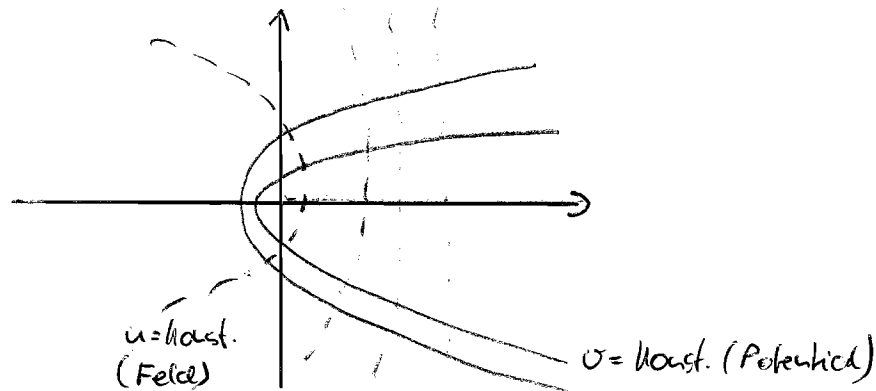
Die volle z -Ebene wird auf die obere Halbebene der w -Ebene abgebildet.

Äquipotentiallinien: $z = x + iy = w^2 = (u + iv)^2 = u^2 - v^2 + 2iuv$

$$\rightarrow x = u^2 - v^2; \quad y = 2uv$$

eliminiere u : $u = \frac{y}{2v}$

$$\rightarrow x = \frac{y^2}{4v^2} - v^2; \quad \text{Parabeln}$$



Feldstärke: Auf der Platte braucht man nur $\frac{\partial \sigma}{\partial y} = E_y$
 Verwende $u + iv = \sqrt{r} \cdot e^{i\frac{\varphi}{2}}$

$$\begin{aligned} \rightarrow v &= \sqrt{r} \sin \frac{\varphi}{2} = \sqrt{r} \sqrt{\frac{1 - \cos \varphi}{2}} \\ &= \sqrt{r} \sqrt{\frac{1 - x/r}{2}} \end{aligned}$$

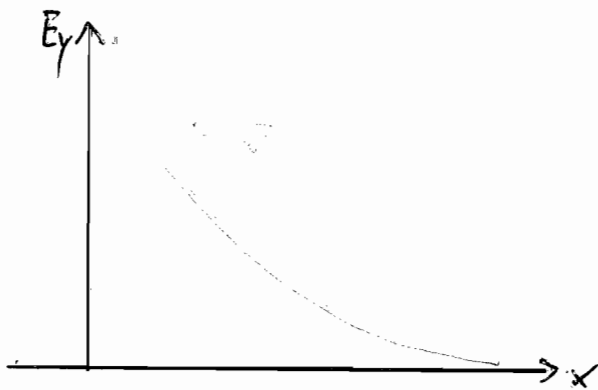
$$v = \sqrt{\frac{r-x}{2}} = \sqrt{\frac{\sqrt{x^2+y^2} - x}{2}}$$

Entwickeln für $y \rightarrow 0$:

$$v \cong \frac{1}{\sqrt{2}} \sqrt{x \left(1 + \frac{1}{2} \frac{y^2}{x^2}\right) - x} = \frac{y}{2\sqrt{x}}$$

$$\rightarrow \underline{\underline{\left(\frac{\partial v}{\partial y}\right)_{y=0} = \frac{1}{2\sqrt{x}}}}$$

Diskussion:



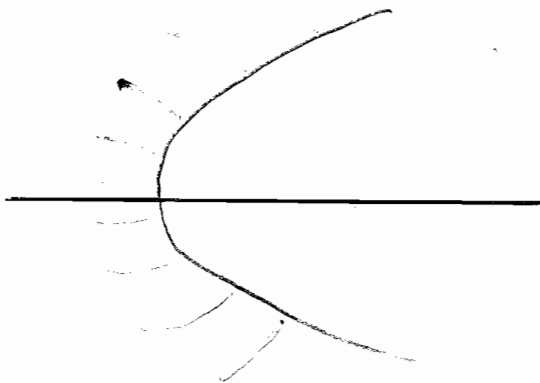
Es werden durch die Coulomb-Abstoßung Ladungen zur Kante hin geschoben.

Beachte, dass $\sigma(x)$ sich integrieren lässt:

$$\int_0^a \sigma(x) dx \text{ ist endlich!}$$

Potenzgesetz \leftrightarrow keine typische Länge

Man hat auch das Problem eines parabolischen metall. Randes gelöst!



An der Spitze ist wieder

$$E \sim \frac{1}{\sqrt{r}}$$

\rightarrow „Spitzeneffekt“

(2) Halbinendlicher Plattenkondensator

Wurde schon von Helmholtz (1848) behandelt
Stromungen:

$$\frac{\partial \rho}{\partial t} + \vec{\nabla} \cdot (\rho \vec{v}) = 0$$

$$\left. \begin{array}{l} \text{Wenn } \rho = \text{Konst.} \rightarrow \vec{\nabla} \rho = 0 \\ \vec{\nabla} \times \vec{v} = 0 \rightarrow \vec{v} = \vec{\nabla} \phi \end{array} \right\} \vec{\nabla}^2 \phi = 0$$

Hier betrachtet man die Abb.

$$z = 1 + w + e^w \quad (\text{als } z = z(w) \text{ gegeben})$$

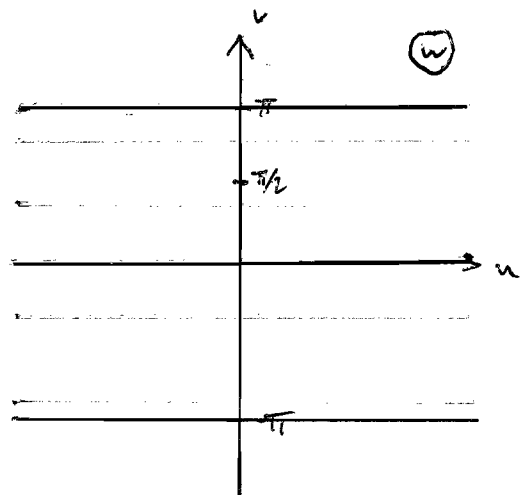
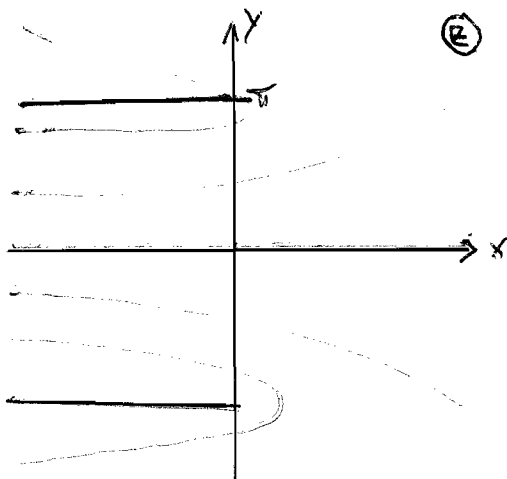
27. 10. 05

$$\begin{aligned} \rightarrow x &= 1 + u + e^u \cdot \cos v \\ y &= v + e^u \cdot \sin v \end{aligned}$$

Wir wählen v als Potential

Äquipotentiallinien:

$$\begin{aligned} v=0: \quad y=0 \\ x=1+u+e^u \end{aligned} \quad \Rightarrow \quad \begin{aligned} u \rightarrow -\infty: x \rightarrow -\infty \\ u \rightarrow +\infty: x \rightarrow +\infty \end{aligned}$$



$$0 < v < \pi: \quad u \rightarrow -\infty, \quad y \rightarrow v, \quad x \rightarrow -\infty$$

$$u \rightarrow +\infty, \quad y \rightarrow -\infty, \quad x \rightarrow \begin{cases} +\infty & 0 < v < \frac{\pi}{2} \\ -\infty & \frac{\pi}{2} < v < \pi \end{cases}$$

$$v = \pi: \quad \begin{aligned} y &= \pi \\ x &= 1 + u - e^u \end{aligned} \quad \rightarrow \quad \begin{aligned} u \rightarrow -\infty &: x \rightarrow -\infty \\ u \rightarrow +\infty &: x \rightarrow -\infty \\ u = 0 &: x = 0 \end{aligned}$$

Um die Dimensionen richtig zu bekommen, kann man schreiben:

$$w \rightarrow \frac{\pi \cdot w}{V}, \quad z \rightarrow \frac{\pi \cdot z}{a}$$

$$\approx z = \frac{a}{\pi} \left(1 + \frac{\pi w}{V} + e^{\frac{\pi w}{V}} \right)$$

- Platten liegen bei $z = \pm a$
- Das Potential ist $\pm V$

Feldstärke:

$$E_x = -\frac{\partial v}{\partial x} \quad ; \quad E_y = -\frac{\partial v}{\partial y}$$

Leider hat man $v(x, y)$ nicht explizit, aber für $v = \pm V$ u. $v = 0$ gilt:

$$\frac{\partial v}{\partial y} = \frac{1}{\left(\frac{\partial x}{\partial v}\right)}$$

weil:

$$\frac{dv}{dv} = 1 = \frac{\partial v}{\partial y} \frac{\partial y}{\partial v} + \frac{\partial v}{\partial x} \frac{\partial x}{\partial v}$$

$\underbrace{\quad}_{=0}$ für $v = \pm V, 0$

$$\frac{\partial y}{\partial v} = \frac{a}{v} \left[1 + e^{\frac{\pi v}{V}} \cos \frac{\pi v}{V} \right]$$

Das ergibt auf der oberen Platte:

($v = V$),

$$E_y = - \frac{V}{a} \frac{1}{1 - e^{\frac{\pi V}{V}}}$$

Für $u < 0$ ist man auf der unteren Seite der Platte und für $u > 0$ auf der Oberseite.

5. Die Separationsmethode

Eine Verfahren zur Lösung partieller Diffgl. wie z.B. Laplace-Glg., Wellenglg., Schrödingerglg., wenn die Geometrie einfach ist.

(1) Verfahren:

(a) Suche partikuläre Lösung mit dem Ansatz

$$\phi(x, y, z) = X(x) \cdot Y(y) \cdot Z(z)$$

$$\text{Laplace: } \frac{\partial^2 \phi}{\partial x^2} + \frac{\partial^2 \phi}{\partial y^2} + \frac{\partial^2 \phi}{\partial z^2} = 0$$

$$\Rightarrow \frac{d^2 X}{dx^2} Y \cdot Z + \frac{d^2 Y}{dy^2} X \cdot Z + \frac{d^2 Z}{dz^2} X \cdot Y = 0$$

Division durch $X \cdot Y \cdot Z$

$$\Rightarrow \frac{1}{X} \frac{d^2 X}{dx^2} + \frac{1}{Y} \frac{d^2 Y}{dy^2} + \frac{1}{Z} \frac{d^2 Z}{dz^2} = 0$$

Gleichung kann nur erfüllt sein, wenn jede Term für sich konstant ist.

→ 3 gewöhnliche Diffgl. vom Typ

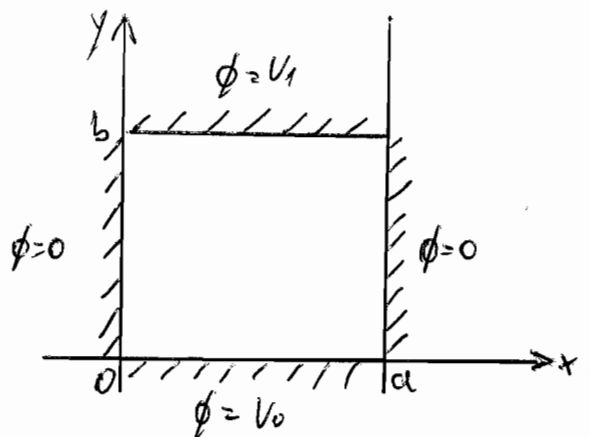
$$f'' = \lambda \cdot f$$

Diese lösen!

(b) Aus der Überlagerung solcher Lösungen eine allg. Lösung konstruieren.

Randbedingungen müssen hinzugenommen werden.

(2) Beispiel in 2D



Setze:

$$\frac{d^2 X}{dx^2} \cdot \frac{1}{X} = -k^2$$

$$\frac{d^2 Y}{dy^2} \cdot \frac{1}{Y} = k^2$$

Lösungen:

$$X(x) = A \cdot e^{ikx} + B \cdot e^{-ikx} \quad ; \text{ oszilliert}$$

$$Y(y) = C \cdot e^{ky} + D \cdot e^{-ky} \quad ; \text{ monoton}$$

RB für $x=0, x=a$ führen zu

$$X(x) = A \cdot \sin\left(\frac{\pi n}{a} x\right) \quad ; \quad n=1, 2, 3, \dots$$

Die RB für $y=0, y=b$ lassen sich mit einer einzigen Art $X(x) \cdot Y(y)$ nicht erfüllen.

→ Allgemeine Überlagerung betrachten

$$\phi(x,y) = \sum_{n=1}^{\infty} \sin\left(\frac{\pi n x}{a}\right) \left[D_n e^{\frac{\pi n}{a} y} + D_n e^{-\frac{\pi n}{a} y} \right]$$

RB:

$$\phi(x,0) = \sum_n \sin\left(\frac{\pi n x}{a}\right) [C_n + D_n] = V_0$$

$$\phi(x,b) = \sum_n \sin\left(\frac{\pi n x}{a}\right) \left[C_n e^{\frac{\pi n b}{a}} + D_n e^{-\frac{\pi n b}{a}} \right] = V_1$$

Man bestimmt C_n, D_n mit Hilfe der Orthogonalitätsbezi:

$$\int_0^a dx \sin\left(\frac{\pi n x}{a}\right) \cdot \sin\left(\frac{\pi m x}{a}\right) = \frac{a}{2} \delta_{nm}$$

$$\Rightarrow \frac{a}{2} [C_n + D_n] = \frac{V_0 \cdot 2a}{\pi n} \quad , \quad n \text{ ungerade}$$

$$\frac{a}{2} [C_n e^{\frac{\pi n b}{a}} + D_n e^{-\frac{\pi n b}{a}}] = \frac{V_1 \cdot 2a}{\pi n} \quad , \quad n \text{ gerade}$$

$$\Rightarrow C_n, D_n$$

\Rightarrow Problem gelöst

01.11.05

Spezialfall: $b \rightarrow \infty, V_1 = 0$

Es folgt: $C_n = 0$

$$\frac{a}{2} D_n = \frac{V_0 \cdot 2a}{\pi n}$$

Das gibt:

$$\phi(x,y) = V_0 \frac{4}{\pi} \sum_{n \text{ ungerade}} \frac{1}{n} \sin\left(\frac{\pi n x}{a}\right) e^{-\frac{\pi n y}{a}}$$

Es gibt also eine typische Länge (a) im Problem

Man kann eine geschlossene Formel erhalten

$$\begin{aligned}\phi &= \frac{4V_0}{\pi} \sum_{n \text{ unger.}} \frac{1}{n} \frac{1}{2i} \left(e^{i \frac{\pi n x}{a}} - e^{-i \frac{\pi n x}{a}} \right) e^{-\frac{\pi n y}{a}} \\ &= \frac{4V_0}{\pi} \operatorname{Im} \left\{ \sum_{n \text{ unger.}} \frac{1}{n} \zeta^n \right\}; \quad \zeta = e^{i \frac{\pi}{a}(x+iy)}\end{aligned}$$

$$\sum_{n \text{ ger.}} \zeta^n = \zeta^0 + \zeta^2 + \dots = \frac{1}{1-\zeta^2} = \frac{1}{2} \left(\frac{1}{1+\zeta} + \frac{1}{1-\zeta} \right)$$

Integriere dies:

$$\sum_{n \text{ ger.}} \int d\zeta \zeta^n = \sum_{n \text{ ger.}} \frac{\zeta^{n+1}}{n+1} = \sum_{n \text{ unger.}} \frac{\zeta^n}{n} = \frac{1}{2} \ln \frac{1+\zeta}{1-\zeta}$$

$$\rightarrow \phi = \frac{4V_0}{\pi} \frac{1}{2} \operatorname{Im} \left\{ \ln \frac{1+\zeta}{1-\zeta} \right\}$$

Verwende:

$$\frac{1+\zeta}{1-\zeta} = \frac{(1+\zeta)(1-\zeta^*)}{|1-\zeta|^2} = \frac{1-|\zeta|^2 + \overbrace{(\zeta-\zeta^*)}^{2i \operatorname{Im} \zeta}}{|1-\zeta|^2}}$$

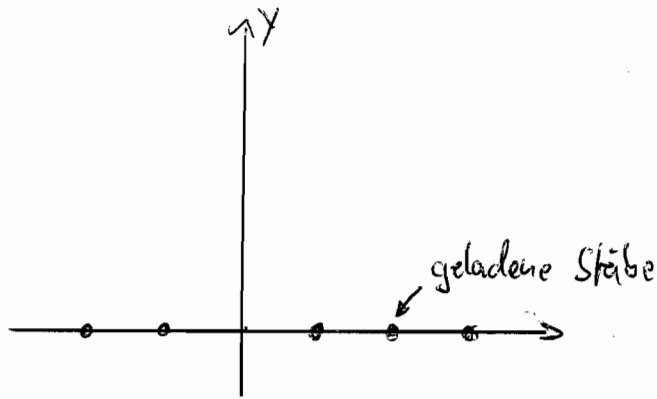
Dies in Lösung einsetzen

$$\begin{aligned}\operatorname{Im} \left\{ \ln \frac{1+\zeta}{1-\zeta} \right\} &= \operatorname{Im} \ln (1-|\zeta|^2 + 2i \operatorname{Im} \zeta) \\ &= \varphi \\ &= \operatorname{arctan} \left\{ \frac{2 \operatorname{Im} \zeta}{1-|\zeta|^2} \right\} \\ &= \operatorname{arctan} \left\{ \frac{2 e^{-\pi y/a} \cdot \sin \frac{\pi x}{a}}{1 - e^{-2\pi y/a}} \right\}\end{aligned}$$

$$\rightarrow \boxed{\phi = \frac{2V_0}{\pi} \operatorname{arctan} \left\{ \frac{\sinh \frac{\pi x}{a}}{\sinh \frac{\pi y}{a}} \right\}}$$

Endergebnis
→ Übung 5

(3) Das Stabgitter



Gleicher Separationsansatz

$$\phi = X(x) \cdot Y(y)$$

Symmetrien:

- Inversion $X(-x) = X(x) \rightarrow X(x) = \cos(kx)$
- Periodizität $X(x+a) = X(x) \rightarrow k = \frac{2\pi}{a}$

Randbedingung: $y \rightarrow \infty \Rightarrow \phi = 0$
 \rightarrow keine ausklingende e-Fkt.

$$\phi(x,y) = \sum_{n=0}^{\infty} d_n \cdot \cos \frac{2\pi n x}{a} e^{-\frac{2\pi n y}{a}}$$

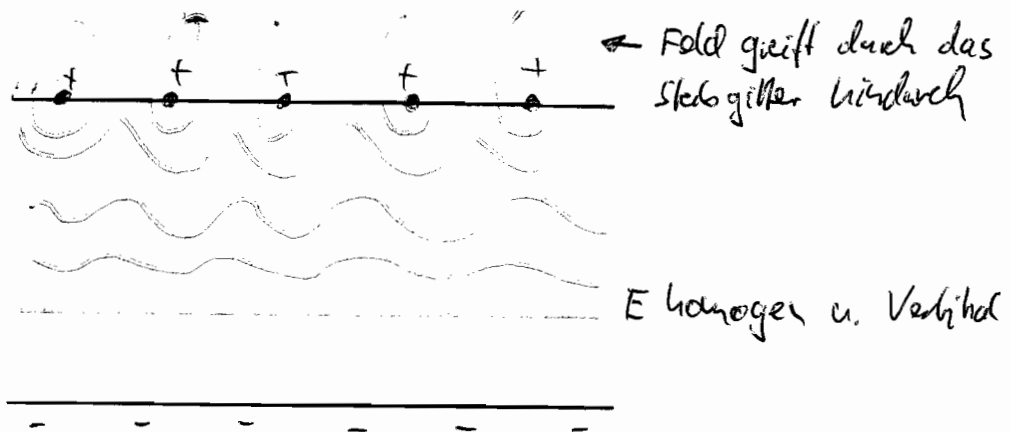
Man braucht noch eine Bedingung für das Verhalten in der Umgebung der Stäbe

Dort ist $\phi \sim \ln(r)$

Berücksichtigt man dies, so ergibt sich:

$$\phi(x,y) = \frac{A}{2} \left\{ \ln 2 \left(\cosh \frac{2\pi y}{a} - \cos \frac{2\pi x}{a} \right) - \frac{2\pi y}{a} \right\}$$

Feldlinien:



(4) Allgemeines zur Separationsmethode

- In 3D separieren sich sowohl Laplace-Gl. ($\Delta\phi=0$) als auch die Helmholtz-Gl. ($\Delta\phi+k^2\phi=0$) in 11 verschiedenen KO-Systemen.
- In 2D separiert die Laplace-Gl. in allen durch Konf. Transformationen erhaltenen KO-Systemen.

6. Polarkoordinaten in Kugelfunktionen

(1) Laplace Gl. in PC

$$\Delta\phi = \vec{\nabla}^2\phi = \frac{1}{r} \frac{\partial^2}{\partial r^2} (r^2\phi) + \frac{1}{r^2} \left[\frac{1}{\sin\vartheta} \frac{\partial}{\partial\vartheta} (\sin\vartheta \frac{\partial\phi}{\partial\vartheta}) + \frac{1}{\sin^2\vartheta} \frac{\partial^2\phi}{\partial\varphi^2} \right] = 0$$

Wie leitet man das her?

A. Gradient u. Divergenz in Polarkoordinaten berechnen.

(2) Separationsansatz

$$\phi(r, \vartheta, \varphi) = R(r) P(\vartheta) Q(\varphi)$$

Einsetzen und durch $R \cdot P \cdot Q$ dividieren, mit $r^2 \sin^2 \vartheta$ multiplizieren:

$$r^2 \sin^2 \vartheta \left[\frac{1}{R \cdot r} \frac{d^2}{dr^2} (rR) + \frac{1}{P} \frac{1}{r^2 \sin^2 \vartheta} \left(\sin^2 \vartheta \frac{dP}{d\vartheta} \right) \right] + \underbrace{\frac{1}{Q} \frac{d^2 Q}{d\varphi^2}}_{-m^2 \text{ setzen}} = 0$$

Dies ergibt:

$$Q(\varphi) = a \cdot e^{im\varphi} + b \cdot e^{-im\varphi}$$

Eindeutigkeit: $Q(\varphi + 2\pi n) = Q(\varphi) \rightarrow m$ ganzzahlig

Die $e^{\pm im\varphi}$ bilden ein vollständiges Funktionensystem in dem Intervall $0 \leq \varphi \leq 2\pi$ (entspricht Fouriers-Entwicklung)

Es bleibt:

$$\frac{1}{rR} \frac{d^2}{dr^2} (rR) + \underbrace{\frac{1}{P} \frac{1}{r^2 \sin^2 \vartheta} \frac{d}{d\vartheta} \left(\sin^2 \vartheta \frac{dP}{d\vartheta} \right)}_{-\frac{k^2}{r^2} \text{ setzen}} - \frac{m^2}{r^2 \sin^2 \vartheta} = 0$$

\rightarrow Gleichung für P wobei $x = \cos \vartheta$

$$\frac{d}{dx} \left[(1-x^2) \frac{dP}{dx} \right] + \left[\mu^2 - \frac{\mu^2}{1-x^2} \right] P = 0 \quad \text{Legendre Diffgl.}$$

$$x = \cos \vartheta$$

(3) Lösung für $m=0$

Suche $P(x)$ in Form einer Potenzreihe

$$P(x) = x^\alpha \sum_{n=0}^{\infty} a_n x^n, \quad |x| \leq 1$$

$$P'(x) = \sum_{n=0}^{\infty} (n+\alpha) a_n x^{n+\alpha-1}$$

$$(1-x^2)P'(x) = \sum_n (n+\alpha) a_n (x^{n+\alpha-1} - x^{n+\alpha+1})$$

Einsetzen gibt:

$$\sum_n a_n \left[(n+\alpha)(n+\alpha-1) x^{n+\alpha-2} - (n+\alpha)(n+\alpha+1) x^{n+\alpha} - \mu^2 x^{n+\alpha} \right] = 0$$

Koeff. von allen x^m müssen verschwinden

$$n=0: \underbrace{a_0 \cdot \alpha(\alpha-1)}_{\text{Diese Potenz kommt nur einmal vor}} x^{\alpha-2}$$

$$\Rightarrow a_0 = 0 \quad \text{od.} \quad \alpha(\alpha-1) = 0$$

$$\hookrightarrow \alpha = 0 \quad \text{od.} \quad \alpha = 1$$

Allgemeine $n \geq 2$

$$a_{n+2} = \frac{(n+\alpha)(n+\alpha+1) - \mu^2}{(n+\alpha+2)(n+\alpha+1)} a_n \quad \text{Rekursionsgleichung}$$

Reihe bricht ab, wenn

$$\alpha = 0: \quad \mu^2 = l(l+1) \rightarrow \text{Abbruch bei } n=l \quad (\text{wenn } l \text{ gerade sein})$$

$$\alpha = 1: \quad \mu^2 = (l+1)(l+2) \rightarrow \text{Abbruch bei } n=l-1 \quad (\text{wenn } l \text{ ungerade ist})$$

In beiden Fällen ist die höchste vorkommende Potenz in $P(x)$ x^l

Die entstehenden Polynome heißen Legendre-Polynome $P_l(x)$

Wenn die Reihe nicht abbricht, divergiert sie bei $x = \pm 1$ ($\vartheta = 0, \pi$)

Eigenschaften der L-Polynome

- Sie werden so normiert, dass

$$P_l(1) = 1$$

- Die niedrigsten sind:

$$P_0(x) = 1$$

$$P_1(x) = x$$

$$P_2(x) = \frac{1}{2}(3x^2 - 1)$$

$$P_3(x) = \frac{1}{2}(5x^3 - 3x)$$

- Sie bilden ein vollständiges, orthonormales Funktionensystem in $-1 \leq x \leq 1$

$$\rightarrow \int_{-1}^{+1} dx P_l(x) P_l(x) = \frac{2}{2l+1} \delta_{l,l'}$$

und man kann jedes beschränkte $f(x)$ entwickeln

$$f(x) = \sum_l c_l P_l(x)$$

$$\rightarrow c_l = \int_{-1}^{+1} \frac{2l+1}{2} dx f(x) P_l(x)$$

Vollständigkeit heißt:

$$\int_{-1}^{+1} dx \left| f(x) - \sum_{\ell=1}^N c_{\ell} P_{\ell}(x) \right|^2 \xrightarrow{N \rightarrow \infty} 0$$

— (Merk-)Formel von Rodriguez

$$P_{\ell}(x) = \frac{1}{2^{\ell} \ell!} \frac{d^{\ell}}{dx^{\ell}} [(x-1)^{\ell}]$$

(4) Fall $m \neq 0$

Man geht analog vor.

Damit hier die Lösungen endlich bleiben,
muss

$\ell \geq 0$ ganze Zahl sein

und $-\ell \leq m \leq \ell$

Man erhält dann Polynome $P_{\ell}^m(x)$

$$P_{\ell}^m(x) = \frac{(-1)^m}{2^{\ell} \ell!} (1-x^2)^{\frac{m}{2}} \frac{d^{\ell-m}}{dx^{\ell-m}} [(x^2-1)^{\ell}]$$

Diese sind wieder orthogonal (für gleiches m)

$$\int dx P_{\ell}^m P_{\ell'}^m = \frac{2}{2\ell+1} \frac{(\ell+m)!}{(\ell-m)!} \delta_{\ell\ell'}$$

Man verknüpft nun $P_{\ell}^m(x)$ mit $e^{im\varphi}$ und schreibt:

$$Y_{\ell m}(\vartheta, \varphi) = \sqrt{\frac{2\ell+1}{4\pi} \frac{(\ell-m)!}{(\ell+m)!}} P_{\ell}^m(\cos \vartheta) e^{im\varphi}$$

→ Kugelfunktionen

Die $Y_{\ell m}$ bilden ein vollst. Fkt. System auf der ges. Kugelob.

Eigenschaften:

- $\int_{\sin \vartheta} d\vartheta d\varphi Y_{lm}^* Y_{lm} = \int_{\cos \vartheta} d\cos \vartheta \int_{\varphi} d\varphi$
- $m=0 \Rightarrow Y_{l0} = P_l(\cos \vartheta) \sqrt{\frac{2l+1}{4\pi}}$
- $l=0 \quad Y_{00} = \frac{1}{\sqrt{4\pi}}$
- $l=1 \quad Y_{11} = -\sqrt{\frac{3}{8\pi}} \sin \vartheta e^{i\varphi}$
 $Y_{10} = \sqrt{3/4\pi} \cos \vartheta$
 $Y_{1,-1} = \sqrt{3/8\pi} \sin \vartheta e^{-i\varphi}$

(5) Radialgleichung

$$\frac{1}{rR} \frac{d^2}{dr^2} (rR) = \frac{k^2}{r^2} = \frac{l(l+1)}{r^2}$$

$$\frac{d^2}{dr^2} (r \cdot R(r)) = \frac{l(l+1)}{r^2} (rR)$$

Lösung: $r \cdot R(r) = r^\beta$ mit $\beta = l+1$ od. $\beta = -l$

Also: $R(r) = a \cdot r^l + b \cdot r^{-(l+1)}$

(6) Endresultat

Die allgemeine Lösung der Laplace-Gleichung lässt sich in der Form

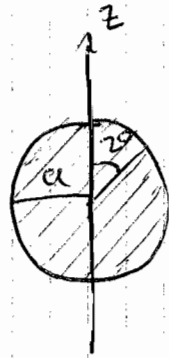
$$\phi(r, \vartheta, \varphi) = \sum_l \sum_{m=-l}^{+l} [a_{lm} r^l + b_{lm} r^{-(l+1)}] Y_{lm}(\vartheta, \varphi)$$

Die a_{lm} , b_{lm} werden durch die Randbedingungen bestimmt.

7. Einfache Beispiele

Wir betrachten Probleme, die rot. symm. sind, so dass nur die $P_\ell(\cos\vartheta)$ auftreten.

(1) Metallische Kugel in einem homogenen E-Feld



$$\phi = \phi(r, \vartheta)$$

Potential hat die Form

$$\phi(r, \vartheta) = \sum_{\ell=0}^{\infty} [A_\ell r^\ell + B_\ell r^{-(\ell+1)}] P_\ell(\cos \vartheta)$$

RB:

(a) $\phi = 0$ für $r=0$

(b) $\phi = E \cdot z = E r \cos \vartheta = E r P_1(\cos \vartheta)$ für $r \rightarrow \infty$

Aus (b) folgt:

$$A_1 = -E$$

$$A_\ell = 0 \quad \ell > 1$$

Aus (a) folgt durch Multipl. mit P_ℓ und Integration

$$0 = \sum_{\ell} [A_\ell a^\ell + B_\ell a^{-(\ell+1)}] \frac{2\ell+1}{2} \int_{-1}^1 P_\ell^2 dx$$

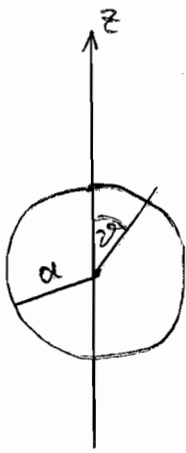
$$\rightarrow A_\ell a^\ell + B_\ell a^{-(\ell+1)} = 0$$

$$\rightarrow B_\ell = -A_\ell \cdot a^{2\ell+1}$$

$$\ell=1 \quad B_1 = -A_1 a^3 = E \cdot a^3$$

$$\ell > 1 \quad B_\ell = 0; \quad (\text{weil } A_\ell = 0)$$

$$\begin{aligned}\phi(r, \vartheta) &= -E \left(r - \frac{a^3}{r} \right) P_1(\cos \vartheta) \\ &= \underbrace{-Ez}_{\text{Potential zum}} + \underbrace{E \frac{z}{r^3} a^3}_{\text{Potential eines}} \\ &\quad \text{homogenen E-Feld} \quad \text{Dipols}\end{aligned}$$



$$\phi = \underbrace{-\vec{E}z}_{\text{hom. Feld}} + \underbrace{\frac{z \cdot a^3 \cdot E}{r^3}}_{\text{Dipol}}$$

Dipolpot.:

$$\phi = \frac{1}{4\pi\epsilon_0} \frac{\vec{p} \cdot \vec{r}}{r^3} = \frac{1}{4\pi\epsilon_0} \frac{p_z \cdot z}{r^3}$$

wenn \vec{p} in z-Richtung

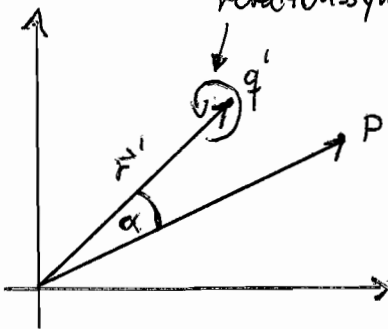
$$\text{Also: } \frac{p_z}{4\pi\epsilon_0} = a^3 E \quad \text{vgl. Bildladungsmethode}$$

Anmerkung: $l=0$ -Term in ϕ

$$(A_0 r^0 + B_0 \frac{1}{r}) P_0 = \underbrace{A_0}_{\text{unnützig}} + \underbrace{B_0 \frac{1}{r}}_{\text{Pot., wenn Gesamtladung } \neq 0}$$

(2) Potential einer Punktladung in PK

rotationssymmetrisch



$$\phi(\vec{r}) = \frac{1}{4\pi\epsilon_0} \frac{q'}{|\vec{r} - \vec{r}'|}$$

Wähle \vec{r}' als Polarachse

$$\rightarrow \frac{1}{|\vec{r} - \vec{r}'|} = \sum_{l=0}^{\infty} (A_l r^l + B_l r^{-(l+1)}) P_l(\cos \alpha)$$

A_l, B_l bestimmt man aus dem Wert auf der Polarachse. Auf der Achse ist

$$\frac{1}{|\vec{r} - \vec{r}'|} = \frac{1}{|r - r'|} = \begin{cases} \frac{1}{r - r'} = \frac{1}{r} \frac{1}{1 - \frac{r'}{r}} = \frac{1}{r} \sum_{l=0}^{\infty} \left(\frac{r'}{r}\right)^l, & r > r' \\ \frac{1}{r' - r} = \frac{1}{r'} \frac{1}{1 - \frac{r}{r'}} = \frac{1}{r'} \sum_{l=0}^{\infty} \left(\frac{r}{r'}\right)^l, & r' > r \end{cases}$$

Vergleiche mit obiger Formel für $d=0$, $P_2(1) = 1$

$$r > r': A_e = 0, B_e = r'^e$$

$$r < r': A_e = r^{-(2e+1)}, B_e = 0$$

Also:

$$\frac{1}{|\vec{r} - \vec{r}'|} = \begin{cases} \frac{1}{r} \sum_e \left(\frac{r'}{r}\right)^e P_e(\cos \alpha), & r > r' \\ \frac{1}{r'} \sum_e \left(\frac{r}{r'}\right)^e P_e(\cos \alpha), & r < r' \end{cases}$$

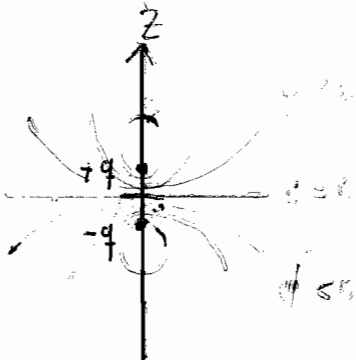
Dies ist das Resultat für beliebige Orte P bzw. \vec{r}

8. Multipole

Gesucht: Potential u. Feld einer beliebigen Ladungsverteilung in großem Abstand

(1) Erinnerung: Dipol

$$\phi = \frac{1}{4\pi\epsilon_0} \frac{\vec{p} \cdot \vec{r}}{r^3} = \frac{1}{4\pi\epsilon_0} \frac{p_z \cdot z}{r^3} = \frac{p_z}{4\pi\epsilon_0} \frac{1}{r^2} P_1(\cos \vartheta)$$



(2) Allgemeiner Fall

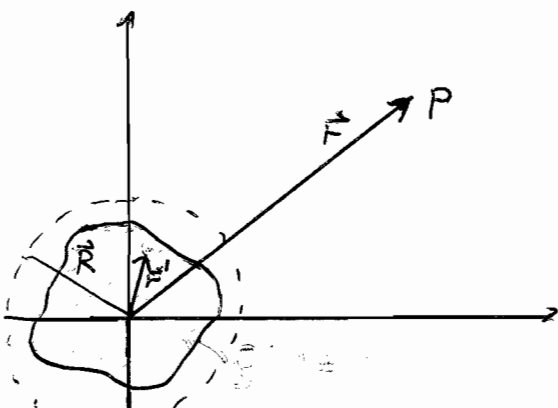
Gesucht: ϕ für $|\vec{r}| \gg |\vec{r}'|$

Für diesen Fall ist:

$$\frac{1}{|\vec{r} - \vec{r}'|} = \frac{1}{r} \sum_e \left(\frac{r'}{r}\right)^e P_e(\cos \alpha)$$

$$\frac{4}{2e+1} \sum_{m=-e}^{+e} Y_{em}^*(\vartheta', \varphi') Y_{em}(\vartheta, \varphi)$$

(\Rightarrow Bücher)



$$\phi(\vec{r}) = \frac{1}{4\pi\epsilon_0} \int d^3r' \frac{\rho(\vec{r}')}{|\vec{r}-\vec{r}'|} = \frac{1}{4\pi\epsilon_0} \sum_{\ell,m} \frac{1}{r^{\ell+1}} \frac{4\pi}{2\ell+1} Y_{\ell m}(\vartheta, \varphi) \underbrace{\int d^3r' \rho(\vec{r}') r'^{\ell} Y_{\ell m}^*(\vartheta', \varphi')}_{q_{\ell m}}$$

$q_{\ell m}$: "Momente der Ladungsverteilung"

$$\phi(\vec{r}) = \frac{1}{\epsilon_0} \sum_{\ell,m} \frac{q_{\ell m}}{2\ell+1} \frac{Y_{\ell m}(\vartheta, \varphi)}{r^{\ell+1}}$$

Diskussion:

- Hat die Form der allg. Lösung der Laplace-Gleichung aber nur mit absteigenden Potenzen von r .
- Jedes $Y_{\ell m}$ ist mit einer Potenz ($1/r^{\ell+1}$) von r verknüpft.
- Der Koeff. von $\frac{1}{r^{\ell+1}}$ ist durch das Moment $q_{\ell m}$ bestimmt.
- Weit entfernt dominiert die kleinste Potenz
z.B. wenn $q_{00} \neq 0$, $q_{00} \sim \int d^3r' \rho(r') = Q/\sqrt{4\pi}$
 $\rightarrow \phi \approx \frac{1}{4\pi\epsilon_0} \cdot \frac{Q}{r}$
- Je näher man an der Ladungsverteilung ist, desto mehr sieht man die Feinstruktur, beschrieben durch höhere ℓ

(3) Quadrupolmoment

$$\begin{aligned} \ell=2: \quad q_{20} &= \sqrt{\frac{5}{16\pi}} \int d^3r' \rho(\vec{r}') r'^2 (3 \cos^2 \vartheta' - 1) \\ &= \sqrt{\frac{5}{16\pi}} \underbrace{\int d^3r' \rho(\vec{r}') (3z'^2 - r'^2)}_{Q_{zz}} \end{aligned}$$

Es ist praktisch hier mit kartesischen Ko. zu arbeiten und

zu definieren:

$$Q_{\alpha\beta} = \int d^3r' \rho(\vec{r}') (3r'_\alpha r'_\beta - r'^2 \delta_{\alpha\beta}) ; \quad \alpha, \beta = x, y, z$$

bzw. 1, 2, 3

Tensor des Quadrupolmoments \bar{Q}

→ Vergleichs Trägheitstensor $I_{\alpha\beta} = \int d^3r' \rho(\vec{r}') (r'_\alpha r'^2 - r'_\alpha r'_\beta)$

Der Tensor \bar{Q} ist so zu definieren, dass $\text{Spur}(\bar{Q}) = 0$

Name: Man braucht 4 Punktladungen, um die allgemeinste Form von \bar{Q} (ohne Gesamtladung u. ohne Dipolmoment) zu erhalten.

Eigenschaften:

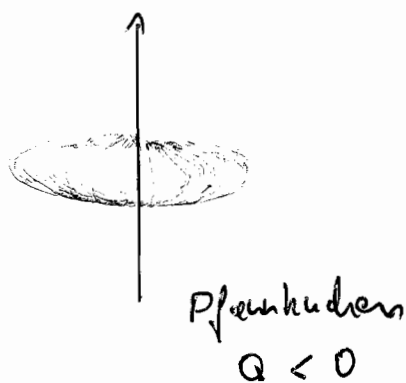
- Symmetrische 3×3 Matrix
- In passendem KO-System diagonal
- $\text{Spur}(\bar{Q}) = 0 \rightarrow$ nur zwei Q_α sind unabhängig

Spezialfälle:

- ρ kugelsymmetrisch: $Q_1 = Q_2 = Q_3 \rightarrow Q_\alpha = 0$, denn $\text{Spur}(\bar{Q}) = 0$
- ρ rotationsymmetrisch um z-Achse $\rightarrow Q_1 = Q_2$

$$\bar{Q} = \begin{pmatrix} -Q/2 & & \\ & -Q/2 & \\ & & Q \end{pmatrix} \quad \bar{Q} \text{ ist durch eine Größe festgelegt}$$

Sei z.B. $\rho = \text{konst.}$ und rot. symm. um z-Achse, dann gibt es zwei einfache Fälle:



Anwendungen:

- Kernphysik: Q -Moment von Kernen
↳ Übung
- Atomphysik: Q -Moment der Ladungsverteilung in der Elektronenhülle → Übung
- Geophysik: Q -Moment der Massenverteilung der Erde

$$Q_{\alpha\beta} = \int d^3r' \rho(r') (3r'_\alpha r'_\beta - r'^2 \delta_{\alpha\beta})$$

Mißt Abweichung der Ladungsverteilung von der Kugelsymmetrie

Potential:

$$\phi(\vec{r}) = \underbrace{\frac{1}{4\pi\epsilon_0} \frac{q}{r}}_{\sim \frac{1}{r}} + \underbrace{\frac{1}{4\pi\epsilon_0} \frac{\vec{p} \cdot \vec{r}}{r^3}}_{\sim \frac{1}{r^2}} + \underbrace{\frac{1}{4\pi\epsilon_0} \sum_{\alpha\beta} Q_{\alpha\beta} \frac{r_\alpha r_\beta}{r^5}}_{\sim \frac{1}{r^3}} + \dots$$

Speziell für rotationsymm. Ladungsverteilung:

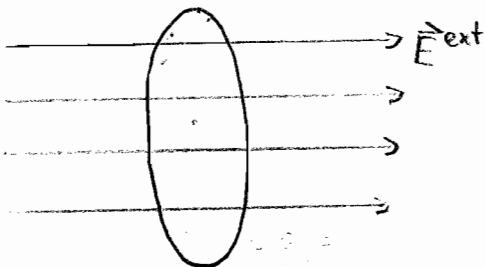
$$\vec{Q} = \begin{pmatrix} -Q/2 & & \\ & -Q/2 & \\ & & Q \end{pmatrix}$$

wird der Q -Term

$$\frac{1}{4\pi\epsilon_0} Q \frac{1}{r^3} P_2(\cos\vartheta)$$

Beachte: Die Multipolmomente hängen vom Bezugspunkt ab!
 Nur das niedrigste nicht verschwindende Moment ist unabhängig

Das Dipolmoment wird 0, wenn man in den Ladungsschwerpunkt geht.



9. Stabilität eines geladenen Tropfens

Berühmtes Problem in

- Metallphysik (Rayleigh 1877)
- Kernphysik (Meitner, Frisch, Bohr, Wheeler 1939)

(1) Situation

Gegeben ist eine Substanz, die aus geladenen Teilchen besteht und die durch nicht elektrische Kräfte zusammengehalten wird.

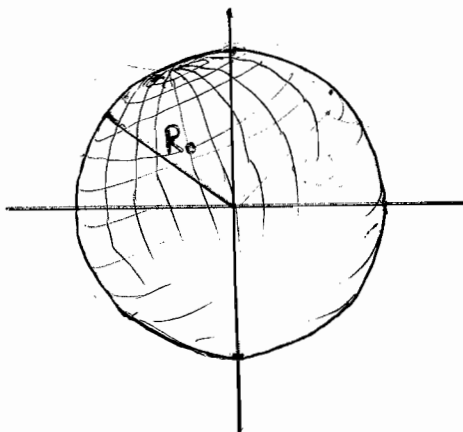
→ Zwei Tendenzen:

- Coulomb - Abstoßung will die versch. Teile des Tropfens voneinander entfernen
- Die anderen Kräfte geben eine Oberflächenspannung, welche die Oberfläche möglichst klein haben will.

Welcher Effekt ist stärker?

Man betrachtet kleine Abweichungen von der Kugelgestalt und die dabei aufstehende Energie

(2) Beschreibung



Es lässt sich schreiben:

$$R(\vartheta, \varphi) = R_0 \cdot \left(1 + \sum_{l, m} a_{lm} Y_{lm}(\vartheta, \varphi) \right)$$

Kleine Abweichung: $a_{lm} \ll 1$

Im weiteren werden nur quadrat. Terme in a_{lm} betrachtet.

(3) Energie:

Oberflächenenergie:

$$W_0 = \sigma \int dA$$



Coulomb-Energie:

$$W_c = \frac{1}{2} \int d^3r \rho(\vec{r}) \phi(\vec{r})$$

wobei $\rho(\vec{r}) = \rho_0$ im Tropfen

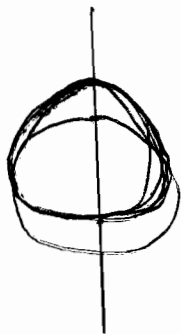
Ergebnis der Rechnungen:

$$\Delta W = \frac{1}{2} \sum_{l,m} \left\{ \underbrace{\sigma R_0^2 (l-1)(l+2)}_{\text{stets positiv!}} - \underbrace{\frac{1}{4\pi\epsilon_0} \frac{3}{2\pi} \frac{Q^2}{R} \left(\frac{l-1}{2l+1}\right)}_{\text{stets negativ!}} \right\} \alpha_{lm}^2$$

Beiträge von den verschiedenen (l,m) addieren sich

$l=0$ kommt nicht vor
 $l=1$ " " " "

→

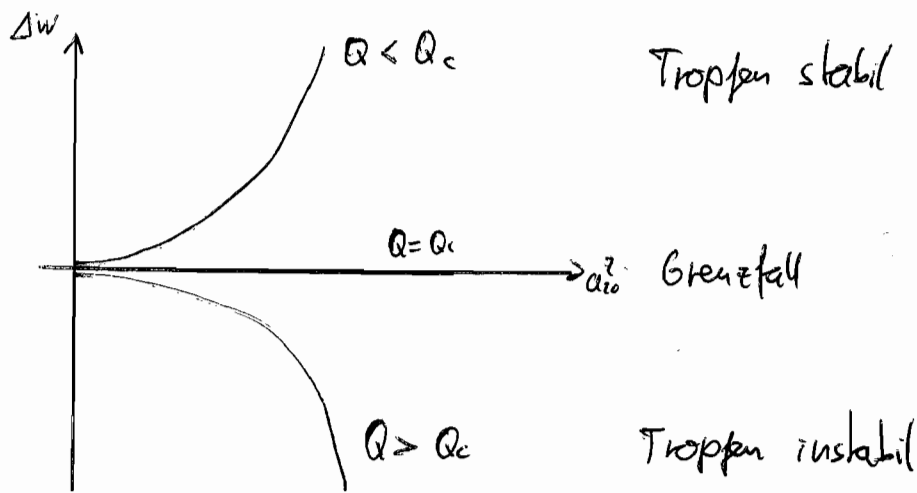


Kugel wird nur verschoben!

⇒ $l=2$ ist erster Term, der vorkommt

Wenn nur $l=2$:

$$\Delta W = \frac{1}{2} \left\{ \sigma R_0^2 4 - \frac{1}{4\pi\epsilon_0} \frac{3}{2\pi} \frac{Q^2}{R_0} \left(\frac{1}{5}\right) \right\} \alpha_{20}^2$$



15.11.05

Kritischer Wert für Q

$$4\pi R_0^2 \gamma = \frac{1}{4\pi \epsilon_0} \frac{3}{10} \frac{Q_c^2}{R_0}$$

Oberflächen-
energie d. Kugel

halbe Coulomb-Energie
der geladenen Kugel

Anwendung auf Atomkern:

$$Z \text{ Ordnungszahl} \leftrightarrow Q$$

$$A \text{ Massenzahl} \leftrightarrow R_0$$

Zahlen eingesetzt gibt:

$$\left(\frac{Z^2}{A}\right)_c \cong 50$$

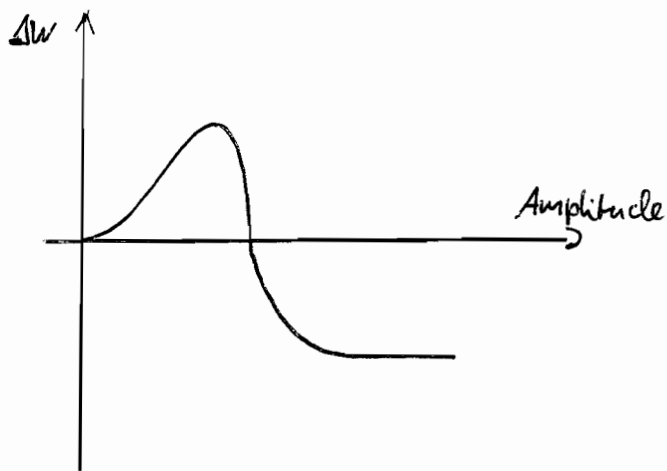
- Wenn $Z^2/A > 50$, ist der Kern instabil gegen kleine Verzerrungen.

- Uran $^{92}\text{U}^{238} \rightarrow \frac{Z^2}{A} \cong 35$ stabil!

- Aber man kann auch große Verzerrungen anschauen.

Extremfall: Kugel in zwei kleine Kugeln aufteilen, dann genügt ein kleinerer Wert für Z^2/A (nämlich ~ 10)

- Schematisch



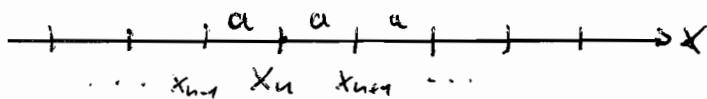
Anmerkung: Wenn man auch noch E_{kin} ausrechnet, kann man die Schwingungen einer solchen Kugel diskutieren.

10. Ergänzungen

(1) Numerische Lösung von Potentialproblemen

Hier muss man das Problem diskretisieren, d.h. den Raum in ein Raster unterteilen

Beispiel: 1D



$$\phi'' \rightarrow \frac{\left[\frac{\phi(x_{n+1}) - \phi(x_n)}{\alpha} \right] - \left[\frac{\phi(x_n) - \phi(x_{n-1})}{\alpha} \right]}{\alpha}$$

Laplace:

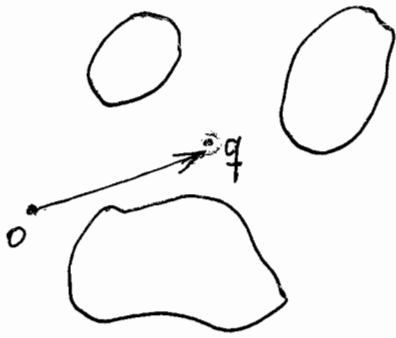
$$\phi(x_{n+1}) + \phi(x_{n-1}) - 2\phi(x_n) = 0$$

Anschauliche Bedeutung:

Wert bei x_n ist das Mittel zwischen x_{n+1} u. x_{n-1}

Analog in 2D \rightarrow Übung

(2) Greensche Funktion



Mit Punktladung ist zu lösen

$$-\Delta\phi = \rho/\epsilon_0 = \frac{q}{\epsilon_0} \delta(\vec{r} - \vec{r}')$$

d.h. man hat im wesentlichen zu lösen

$$-\Delta G = \delta(\vec{r} - \vec{r}') \quad ; \quad G: \text{Greensche Funktion}$$

mit den RB $\phi = \text{const}$ auf den Leitern

(3) Elektrische Energie

Punktladungen q_i an Orten \vec{r}_i

$$W = \frac{1}{4\pi\epsilon_0} \frac{1}{2} \sum_{i \neq j} \frac{q_i q_j}{|\vec{r}_i - \vec{r}_j|}$$

Für kontinuierliche Ladungsverteilung

$$\begin{aligned} W &= \frac{1}{4\pi\epsilon_0} \frac{1}{2} \int d^3r \int d^3r' \frac{\rho(\vec{r}) \rho(\vec{r}')}{|\vec{r} - \vec{r}'|} \\ &= \frac{1}{2} \int d^3r \underbrace{\rho(\vec{r})}_{-\epsilon_0 \Delta\phi(\vec{r})} \phi(\vec{r}) \\ &\quad -\epsilon_0 \Delta\phi(\vec{r}) = -\epsilon_0 \nabla \cdot (\nabla\phi) \end{aligned}$$

Partiell integr.:
$$W = \frac{1}{2} \epsilon_0 \int d^3r (\nabla\phi)^2$$
$$= \frac{1}{2} \epsilon_0 \int d^3r |\vec{E}(\vec{r})|^2$$

Also kann man

$$w = \frac{1}{2} \epsilon_0 |\vec{E}|^2$$

als Energiedichte des elektrischen Feldes interpretieren

Diese Energiedichte tritt auch für eine einzelne Ladung auf („Selbstenergie“ der Ladung)

Für Punktladung:

$$E \sim \frac{1}{r^2}$$

$$W \sim \int dr \cdot r^2 \cdot \frac{1}{r^4} = \int_0^{\infty} \frac{dr}{r^2} = -\frac{1}{r} \Big|_0^{\infty} = \infty$$

Also ist W hier divergent

Für geladene Kugel mit Radius a und Gesamtladung Q :

$$W = \frac{1}{4\pi\epsilon_0} \frac{3}{5} \frac{Q^2}{a}$$

Die Energiedichte läßt sich auch als Kraft/Fläche = Druck
od. Sog interpretieren

Beispiel: Geladene Metalloberfl.



→ Sog, der die Fläche nach oben zieht

II. Dielektika

11. Polarisierte Körper

(1) Situation

Substanz - ohne "freie" Ladungen

- mit polarisierten Atomen/Molekülen

- nur Dipolmomente wichtig -Of

Verwendet wird eine makroskopische Beschreibung durch gemittelte Größen

Ursache der Polarisation wird später diskutiert

Beschreibung durch:

$$\vec{P}(\vec{r}) = \text{elektrische Polarisation} = \frac{\text{Dipolmoment}}{\text{Volumen}}$$

$$\rightarrow \vec{P}(\vec{r}) d^3r = \text{Dipolmoment des Volumens } d^3r$$

$$\rightarrow \phi_P(\vec{r}) = \frac{1}{4\pi\epsilon_0} \int d^3r' \frac{\vec{P}(\vec{r}') (\vec{r} - \vec{r}')}{|\vec{r} - \vec{r}'|^3}$$

↳ Potential durch das Dipolmoment

17. 11. 05

$$\begin{aligned} \rightarrow \phi_P(\vec{r}) &= \frac{1}{4\pi\epsilon_0} \int d^3r' \frac{\vec{P}(\vec{r}') (\vec{r} - \vec{r}')}{|\vec{r} - \vec{r}'|^3} = \dots \int d^3r' \vec{P}(\vec{r}') \vec{\nabla}' \cdot \frac{1}{|\vec{r} - \vec{r}'|} \\ &= \frac{1}{4\pi\epsilon_0} \underbrace{\int d^3r' \vec{\nabla}' \cdot \left(\frac{\vec{P}(\vec{r}')}{|\vec{r} - \vec{r}'|} \right)}_{\text{Gauß verwenden}} - \frac{1}{4\pi\epsilon_0} \int d^3r' \frac{1}{|\vec{r} - \vec{r}'|} \vec{\nabla}' \cdot \vec{P}(\vec{r}') \end{aligned}$$

$$\rightarrow \phi_P(\vec{r}) = \underbrace{\frac{1}{4\pi\epsilon_0} \int d^3r' (-\vec{\nabla}' \cdot \vec{P}(\vec{r}')) \cdot \frac{1}{|\vec{r} - \vec{r}'|}}_{\text{Volumenbeitrag}} + \underbrace{\frac{1}{4\pi\epsilon_0} \int d\vec{r}' \frac{\vec{P}(\vec{r}')}{|\vec{r} - \vec{r}'|}}_{\text{Oberflächenbeitrag}}$$

Eine örtlich variierende Polarisation entspricht also einer Volumenladungsdichte

$$\rho_p(\vec{r}) = -\vec{\nabla} \cdot \vec{p}$$

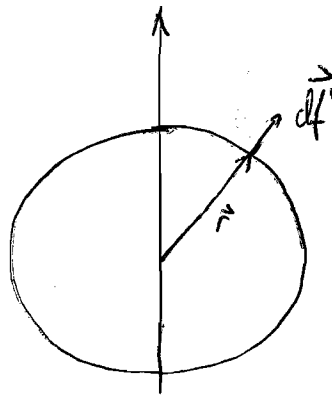
sowie einer Oberflächenladungsdichte

$$\sigma_p(\vec{r}) = P_n(\vec{r})$$

Beispiel Fläche



Beispiel Kugel



(2) Beispiel: Homogen polarisierte Kugel
Oberfläche sei infinitesimal innerhalb der Kugel

$\vec{p} = \text{const} \Rightarrow$ kein Volumenbeitrag

$$d\vec{A}' \cdot \vec{p}' = dA' \cdot P_n' = dA' \cdot P' \cdot \cos \vartheta' = a^2 \cdot d\Omega' \cdot P \cdot \cos \vartheta'$$

Sei $r < a$ (im Inneren der Kugel) dann gilt:

$$\phi_p(\vec{r}) = \frac{1}{4\pi\epsilon_0} \sum_{\ell, m} \frac{r^\ell}{a^{\ell+1}} \frac{4\pi}{2\ell+1} Y_{\ell m}(\vartheta, \varphi) \int d\Omega' \underbrace{a^2 P \cdot \cos \vartheta'}_{\frac{\sqrt{4\pi}}{3} Y_{10}(\vartheta', \varphi')}$$

\rightarrow nur $\ell=1, m=0$

$$= \frac{P}{4\pi\epsilon_0} \frac{a^2}{a^2} r \frac{4\pi}{3} \cos \vartheta$$

$$= \frac{P}{4\pi\epsilon_0} \frac{4\pi}{3} z$$

Elektrisches Feld:

$$\vec{E}_P = -\frac{1}{4\pi\epsilon_0} \frac{4\pi}{3} \cdot \vec{p}$$

Also ist das Feld durch \vec{p} in der Kugel ebenfalls homogen und antiparallel zu \vec{p}

Im Außenraum erhält man ein Dipolfeld.

(3) Allgemeinere Körper

Sei \vec{p} im Inneren wieder homogen. Dann ist \vec{E}_P im allgemeinen nicht homogen, außer wenn es sich um ein Ellipsoid handelt.

Für einen Ellipsoiden gilt, wenn \vec{p} entlang einer Achse

$$E_\alpha = -\frac{1}{4\pi\epsilon_0} N_\alpha P_\alpha, \quad \alpha = 1, 2, 3 \text{ mm}$$

N_α : geometrischer Faktor
(„Entelektrisierungsfaktor“)

→ Auch wenn \vec{p} nicht in Achsenrichtung zeigt, ist \vec{E}_P homogen → Übung

Es gilt:

$$\sum_\alpha N_\alpha = 4\pi$$

Beweis: Aus ϕ_P -Formel folgt:

$$\begin{aligned}\vec{E}_P &= -\frac{1}{4\pi\epsilon_0} \int d\vec{t}' \cdot \vec{p}' \cdot \vec{\nabla} \left(\frac{1}{|\vec{r} - \vec{r}'|} \right) \\ &= +\frac{1}{4\pi\epsilon_0} \int d\vec{t}' \cdot \vec{p}' \cdot \vec{\nabla}' \left(\frac{1}{|\vec{r} - \vec{r}'|} \right)\end{aligned}$$

Schreibe in Komponenten

$$E_{pi}(\vec{r}) = \frac{1}{4\pi\epsilon_0} \sum_{\beta} N_{\alpha\beta}(\vec{r}) \cdot \vec{p}_{\beta}$$

mit

$$N_{\alpha\beta} = - \int d\Omega' \cdot \nabla'_{\alpha} \frac{1}{|\vec{r} - \vec{r}'|}$$

Es folgt für die Spur

$$\begin{aligned} \text{Sp}(\bar{N}) &= \sum_{\alpha} N_{\alpha\alpha} = - \int (\vec{\nabla}' \cdot \frac{1}{|\vec{r} - \vec{r}'|}) \cdot d\vec{\Omega}' \\ &= - \int \underbrace{\vec{\nabla}' \cdot (\vec{\nabla}' \frac{1}{|\vec{r} - \vec{r}'|})}_{-\frac{4\pi}{3} \delta(\vec{r} - \vec{r}')} d^3r' \quad \left. \vphantom{\int} \right\} \text{Gauß} \\ &= \frac{4\pi}{3} \end{aligned}$$

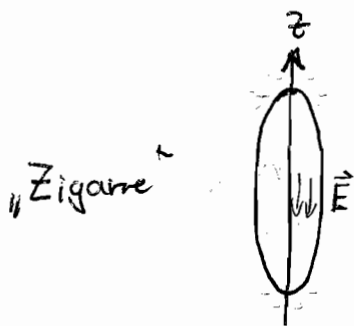
Konsequenzen der Summenregel:

(a) Kugel: Symmetrie $N_x = N_y = N_z = N$

$$3N = \frac{4\pi}{3} \Rightarrow N = \frac{4\pi}{9}$$

(b) Langgestrecktes Rot.ellipsoid: $N_x = N_y \neq N_z$

$$\sim 2N_x + N_z = \frac{4\pi}{3}$$



Hier ist N_z klein, weil die Pol. Ladungen weit auseinander sitzen

$$\rightarrow N_z \cong 0 \sim N_x = N_y = \frac{2\pi}{3}$$

\rightarrow Affenbuchen gerade umgedreht

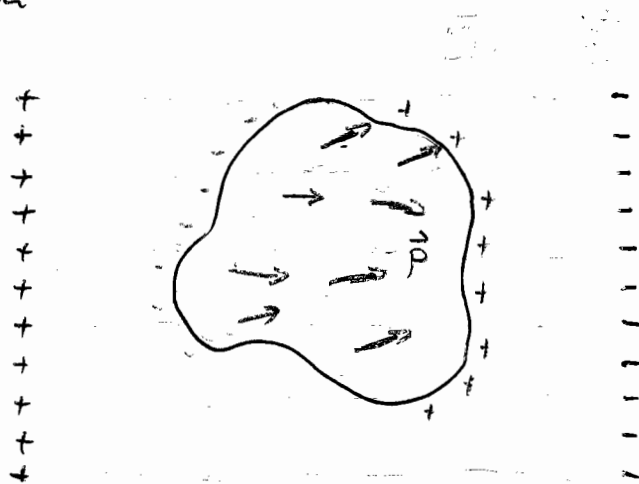
Es gibt Formeln für die N 's bei Ellipsoiden

\rightarrow Bedter / Sauter

$$\text{für die Zigarre } N_z \cong \frac{4\pi}{3} \frac{\ln \frac{2b}{a}}{b^2}; \quad b = \frac{c}{a} \ll 1$$

12. Polarisation im Feld

(1) Situation



22.11.05

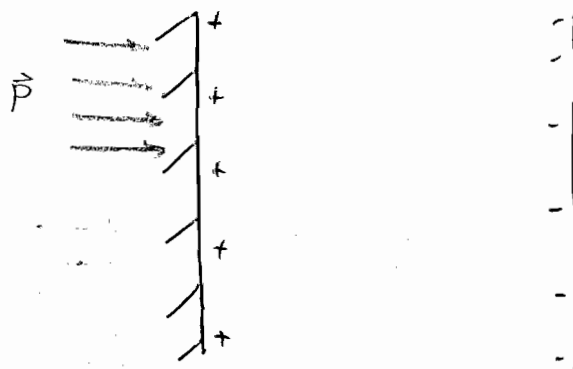
(2) Gesamtes Feld in der Substanz

$$\begin{aligned} \vec{E} &= \vec{E}_{\text{ext}} + \vec{E}_p \\ \rightarrow \vec{\nabla} \cdot \vec{E} &= \underbrace{\vec{\nabla} \cdot \vec{E}_{\text{ext}}}_{\rho/\epsilon_0} + \underbrace{\vec{\nabla} \cdot \vec{E}_p}_{\rho_p/\epsilon_0} \quad \rho_p = -\vec{\nabla} \cdot \vec{P} \\ &= \frac{\rho}{\epsilon_0} - \frac{1}{\epsilon_0} \vec{\nabla} \cdot \vec{P} \end{aligned}$$

$$\rightarrow \underbrace{\vec{\nabla} \cdot (\epsilon_0 \vec{E} + \vec{P})}_{=:\vec{D}} = \rho \quad \text{2. Maxwell Gleichung}$$

Das Feld \vec{D} ist so konstruiert, dass es nur an den externen („wahren“, „freien“) Ladungen entspringt

Beispiel: Ebene Grenzfläche:



\vec{D} ist innen und außen gleich!

D lässt sich messen (Plattenkondensator mit Dielektrikum)

(3) Materialeigenschaften

Bisher kennen wir \vec{P} noch nicht

Wir müssen sagen, wie \vec{P} entsteht.

Zunächst entsteht es durch E_{ext} , aber sobald $\vec{P} \neq 0$

$\rightarrow \vec{E}_p \neq 0 \rightarrow$ das äußere Feld wird modifiziert, daher schreibe:

$$\vec{P}_{(P)} = \bar{\chi} \cdot \vec{E}_{(E)}$$

Linearer Zusammenhang, i.d. anisotrop, d.h.

$\bar{\chi}$ ist ein Tensor. $\bar{\chi}$ enthält die Information über das Material.

Dann ist (wenn $\bar{\chi} = \chi$, also skalar)

$$\begin{aligned} \vec{D} &= \epsilon_0 \vec{E} + \vec{P} \\ &= \epsilon_0 \vec{E} + \bar{\chi} \cdot \vec{E} \\ &= \epsilon_0 \left(1 + \frac{\bar{\chi}}{\epsilon_0} \right) \cdot \vec{E} \\ &\quad \underbrace{\hspace{1.5cm}}_{\epsilon \text{ Dielektrizitätskonstante}} \end{aligned}$$

(4) Beispiel: Ellipsoid im Feld

Innen: $\vec{E} = \vec{E}_{\text{ext}} + \underbrace{\vec{E}_p}$

$$-\frac{1}{4\pi\epsilon_0} \cdot N \cdot \underbrace{\vec{P}}_{\bar{\chi} \cdot \vec{E}} \quad \text{Feld in Achsenrichtung}$$

Das gibt

$$\vec{E} = \frac{1}{1 + \frac{\bar{\chi}}{4\pi\epsilon_0} N} \vec{E}_{\text{ext}} \quad \bar{\chi} = \chi$$

$$\vec{P} = \frac{\chi}{1 + \frac{\chi}{\epsilon_0}} \vec{E}_{\text{ext}}$$

Schwächung von E_{ext} durch N (Geometrie) und χ (Materialeigenschaft) bestimmt.

Plattenkondensator entspricht flachem Pfeilkuchen:

$$N = 4\pi$$

$$\rightarrow \vec{E} = \frac{1}{1 + \frac{\chi}{\epsilon_0}} \vec{E}_{\text{ext}} = \frac{1}{\epsilon_0} \vec{E}_{\text{ext}}$$

$$\rightarrow \vec{D} = \epsilon \epsilon_0 \vec{E} = \epsilon_0 \epsilon \frac{1}{\epsilon_0} \vec{E}_{\text{ext}} = \epsilon_0 \vec{E}_{\text{ext}} \quad \begin{array}{l} \text{innen} \\ \text{''} \\ \text{außen} \end{array}$$

(5) Allgemeine Gleichungen für Dielektrika

$$\vec{\nabla} \times \vec{E} = 0$$

Wirbel

$$\vec{\nabla} \cdot \vec{D} = \rho$$

Quellen

$$\vec{D} = \epsilon \epsilon_0 \vec{E}$$

Materialbeziehung

$$\rightarrow \vec{E} = -\vec{\nabla} \phi$$

Eingesetzt ergibt sich:

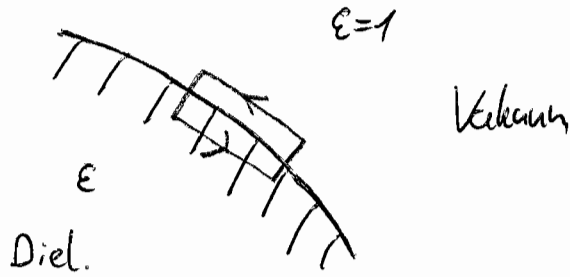
$$-\vec{\nabla} \cdot (\epsilon \epsilon_0 \vec{\nabla} \phi) = \rho$$

$$\rightarrow -\Delta \phi = \frac{\rho}{\epsilon \epsilon_0}$$

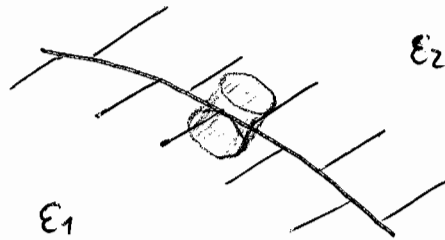
\rightarrow Punktladung im DK:

$$\phi(\vec{r}) = \frac{1}{4\pi \epsilon_0} \frac{1}{\epsilon} \frac{q}{r}$$

Randbedingungen an Grenzflächen:



bzw.:



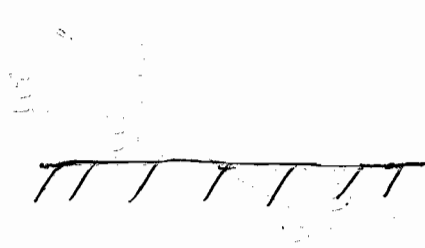
$\vec{\nabla} \times \vec{E} = 0 \Leftrightarrow \oint \vec{E} \cdot d\vec{l} = 0$; Integriere entlang der Grenzfläche

$\Rightarrow E_t$ stetig (innen und außen gleich!)

$\vec{\nabla} \cdot \vec{D} = \rho \Leftrightarrow \oint \vec{D} \cdot d\vec{f} = 0$ wenn $\rho = 0$; Integriere über kl. Zylinder

$\Rightarrow D_n$ stetig

„Brechungsgesetz“ der Feldlinien:



$$E_t = E'_t$$

2 Gleichungen $\rightarrow E_n$ u. E'_n

$$\text{Es ist: } \left. \begin{aligned} D_n &= \epsilon \epsilon_0 E_n = \epsilon_0 E_n \\ D'_n &= \epsilon' \epsilon_0 E'_n \end{aligned} \right\}$$

$$E'_n = \frac{1}{\epsilon} E_n$$

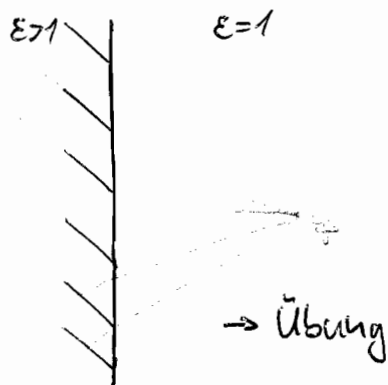
$\epsilon < 1 \Rightarrow$ Brechung vom Lot weg

Beim Eintritt ins Material werden die Feldlinien von Lot weg gebrochen.

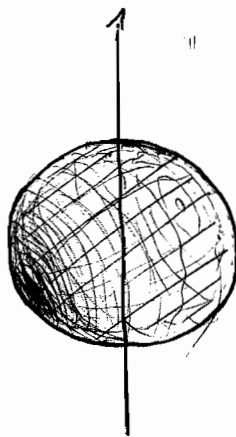
Für $\epsilon \rightarrow \infty$ geht $E_n \rightarrow 0$ und man erhält den Fall des Metalls zurück.

(6) Beispiel

Punktladung und dielektrischer Halbraum



Dielektrische Kugel in einem homogenen Feld

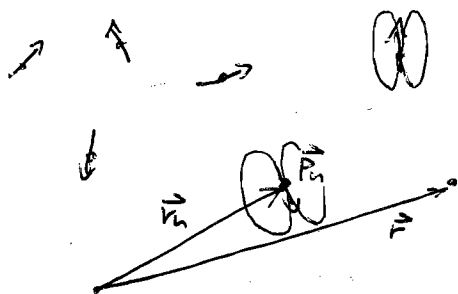


$$\begin{aligned} \phi(r) &= \sum_e A e r^e P_e(\cos \theta) && \text{inner} \\ \phi(r) &= \sum_e [B e r^e + C e r^{-(e+1)}] P_e(\cos \theta) && \text{außen} \end{aligned}$$

13. Lokale Felder

Ziel: Die makroskop. Größen χ, ϵ aus mikroskopischen Überlegungen zu gewinnen.

(1) Betrachte Substanz als Ansammlung von Punktdipolen, Momente \vec{p}_n , Orte \vec{r}_n



Feld am Ort \vec{r} :

$$\vec{E}_p(\vec{r}) = -\frac{1}{4\pi\epsilon_0} \sum_n \left[\frac{\vec{p}_n}{|\vec{r} - \vec{r}_n|^3} + 3 \cdot \frac{\vec{p}_n \cdot (\vec{r} - \vec{r}_n)}{|\vec{r} - \vec{r}_n|^5} (\vec{r} - \vec{r}_n) \right]$$

Welches Feld „sieht“ ein herausgegriffener Dipol?

A: Man muss sein eigenes Feld aus der Summe weglassen.

Also:

$$\vec{E}_{\text{lok}} = \vec{E}_{\text{ext}} + \vec{E}_p'$$

$$\vec{E}_{\text{lok}} = \vec{E}_{\text{ext}} + \sum_{n \neq 0} \vec{E}_{\text{Dip}}^{(n)} \quad \text{wenn Dipol bei } \vec{r} = 0$$

(2) Berechnung von \vec{E}_{lok}

zerlege die Summe in Beiträge

- aus großer Entfernung \rightarrow Kontinuumsnäherung
- aus der Umgebung \rightarrow Summe (diskret)

$$\sum_{\vec{r}_n \neq 0} \vec{E}_{\text{dip}}^{(n)} = \sum_{0 < r_n < R} \vec{E}_{\text{dip}}^{(n)} + \int_{r_n > R} \vec{E}_{\text{dip}}^{(n)}$$



$$\sum_{\vec{r}_n \neq 0} \vec{E}_{\text{dip}}^{(n)} = \left[\sum_{0 < r_n < R} \vec{E}_{\text{dip}}^{(n)} - \int_{0 < r_n < R} \vec{E}_{\text{dip}}^{(n)} \right] + \int_{0 < r_n} \vec{E}_{\text{dip}}^{(n)}$$

Integration über
gesamte Substanz

Kann schon
vor!

Bisher haben wir das Feld

$$\vec{E} = \vec{E}_{\text{ext}} + \sum_{\vec{r}_n \neq 0} \vec{E}_{\text{dip}}^{(n)} = \vec{E}_{\text{ext}} + \vec{E}_p$$

betrachtet.

Vergleich mit \vec{E}_{lok} zeigt:

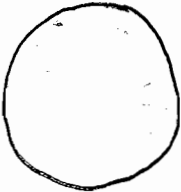
$$\vec{E}_{\text{lok}} = \vec{E} + \left[\sum_{0 < r_n < R} \vec{E}_{\text{dip}}^{(n)} - \int_{0 < r_n < R} \vec{E}_{\text{dip}}^{(n)} \right]$$

„mittleres Feld“

Berücksichtigung der
lokalen Effekte

(3) Auswertung

Innerhalb der Kugel werden die p 's näherungsweise gleich sein \rightarrow arbeite mit Konstantem \vec{P}


$$\rightarrow \int E_{Dip}^{(i)} = -\frac{1}{4\pi\epsilon_0} \frac{4\pi}{3} \vec{P}$$

$\sum_{0 < r_n < R} \vec{E}_{Dip}^{(i)}$: Man braucht die Orte \vec{r}_n

- Kristall, z.B. Kubisches Gitter

$\rightarrow \sum = 0$! \leftarrow Übung

Ebenso für das Diamantgitter

- Flüssigkeiten, Gase,

\rightarrow Mittelung über die Orte \vec{r}_n

\hookrightarrow liefert ebenfalls $\sum = 0$

In beiden Fällen ist also

$$\vec{E}_{tot} = \vec{E} + \frac{1}{4\pi\epsilon_0} \frac{4\pi}{3} \vec{P}$$

Bild:



$$\vec{E}_{tot} > E$$

\vec{E} : Äußer. Feld vermindert um die Beiträge aller Dipolfelder

\vec{E}_{tot} : Hier fehlt der Beitrag eines Dipols! Es ist weniger vermindert.

(4) Formel für χ bzw. ϵ

Schreibe:

$$\vec{p} = d \cdot \vec{E}_{\text{eff}}$$

↑
atomare Polarisierbarkeit

Ferner:

$$\vec{P} = n \cdot \vec{p} \quad ; \quad n = \frac{N_c}{\text{Vol}}$$

$$= n d E_{\text{eff}}$$

$$= n d \left(\vec{E} + \frac{1}{4\pi\epsilon_0} \frac{4\pi}{3} \vec{P} \right)$$

$$\rightarrow \vec{P} = \underbrace{\left(\frac{nd}{1 - \frac{nd}{4\pi\epsilon_0} \frac{4\pi}{3}} \right)}_{\chi} \vec{E}$$

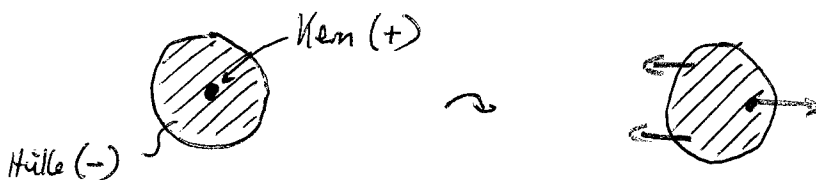
mit $\epsilon = 1 + \frac{\chi}{\epsilon_0}$ folgt:

$$\rightarrow \epsilon = \frac{1 + \frac{2nd}{3\epsilon_0}}{1 - \frac{nd}{3\epsilon_0}} \quad \leadsto \quad \frac{nd}{3\epsilon_0} = \frac{\epsilon - 1}{\epsilon + 2}$$

Clausius-Mossotti-Formel
(~ 1870)

(5) Mechanismen für d

- Moment wird durch Ummverteilung der Ladung erzeugt



- Permanente Dipolmomente werden im Feld ausgerichtet
(gegen die Temperaturbewegung)

$$\alpha \sim \frac{p^2}{k_B T}$$

29. 11. 05

14. Energien mit Dielektrika

(1) Feldenergie

Dielekt. Medium, Ladungen $\rho(\vec{r})$

Änderung

$$\rho(\vec{r}) \rightarrow \rho(\vec{r}) + \delta\rho(\vec{r})$$

$$\rightarrow \delta W = \int d^3r \phi(\vec{r}) \cdot \underbrace{\delta\rho(\vec{r})}_{\vec{\nabla}(\delta\vec{D})}$$

$$= \int d^3r \left[\vec{\nabla}(\phi \cdot \delta\vec{D}) - \underbrace{\delta\vec{D} \cdot \vec{\nabla}\phi}_{-\vec{E}} \right]$$

$$\delta W = \underbrace{\int_{\text{Oberfl.}} d\vec{f} \cdot (\phi \delta\vec{D})}_{\text{verschwindet, wenn Oberfl.} \rightarrow \infty \text{ und } \phi \delta\vec{D} \text{ schneller als } 1/r^3 \text{ abfällt}} + \int d^3r \vec{E} \cdot \delta\vec{D}$$

verschwindet, wenn Oberfl. $\rightarrow \infty$ und $\phi \delta\vec{D}$ schneller als $1/r^3$ abfällt

Dann bleibt:

$$\delta W = \int d^3r \vec{E} \cdot \delta\vec{D}$$

Dies lässt sich aufintegrieren, wenn der Zusammenhang zwischen E u. D bekannt ist.

Wenn

$$\vec{D} = \epsilon \epsilon_0 \vec{E}$$

$$\rightarrow \delta \vec{D} = \epsilon \epsilon_0 \delta \vec{E}$$

$$\begin{aligned} \rightarrow W &= \int d^3r \int_0^E \epsilon \epsilon_0 \vec{E} \cdot \delta \vec{E} \\ &= \int d^3r \frac{1}{2} \epsilon \epsilon_0 \vec{E}^2(\vec{r}) \\ &= \frac{1}{2} \int d^3r \vec{D} \cdot \vec{E} \end{aligned}$$

Die Energiedichte ist also

$$w = \frac{1}{2} \vec{E} \cdot \vec{D}$$

Im Vakuum gilt $\vec{D} = \epsilon_0 \vec{E}$

$$\rightarrow w = \frac{1}{2} \epsilon_0 \vec{E}^2 \quad (\text{wie fr\u00fche})$$

Wenn ϵ ein Tensor ist, gibt

$$\begin{aligned} w &= \frac{1}{2} \epsilon_0 \vec{E} \cdot \vec{\epsilon} \cdot \vec{E} \\ &= \frac{1}{2} \epsilon_0 \sum_{\alpha, \beta} \epsilon_{\alpha\beta} E_\alpha E_\beta \end{aligned}$$

Hier geht nur der symmetrische Teil der Matrix $\epsilon_{\alpha\beta}$ ein.

(2) Energie mit und ohne Dielektrikum

Sei $\rho(\vec{r})$ fest

Feld im Vakuum sei \vec{E}_0 bzw. $\vec{D}_0 = \epsilon_0 \vec{E}_0$

Dielektrikum einbringen. Dann seien die Felder \vec{E} bzw. \vec{D}

$$\begin{aligned} \rightarrow \Delta W &= \frac{1}{2} \int d^3r (\vec{E} \cdot \vec{D} - \vec{E}_0 \cdot \vec{D}_0) \\ &= \frac{1}{2} \int d^3r (\vec{E} \cdot \vec{D}_0 - \vec{D} \cdot \vec{E}_0) + \frac{1}{2} \int d^3r (\vec{E} + \vec{E}_0) \cdot (\vec{D} - \vec{D}_0) \end{aligned}$$

2. Integral: Setze $(\vec{E} + \vec{E}_0) = -\vec{\nabla} \tilde{\phi}$

$$\begin{aligned} \rightarrow \int d^3r \vec{\nabla} \tilde{\phi} \cdot (\vec{D} - \vec{D}_0) &= \int d^3r \vec{\nabla} \cdot (\tilde{\phi} \cdot (\vec{D} - \vec{D}_0)) \\ &\quad - \int d^3r \tilde{\phi} \cdot \underbrace{\vec{\nabla} \cdot (\vec{D} - \vec{D}_0)} \end{aligned}$$

= 0, wegen ρ in beiden Fällen gleich

durch Umschreibung in ein Oberfl. Integral folgt:

$$= \int d\vec{f} \cdot \underbrace{\tilde{\phi} (\vec{D} - \vec{D}_0)} = 0$$

nimmt ab in großer Entfernung $\rightarrow 0$

Es bleibt:

$$\begin{aligned} \Delta W &= \frac{1}{2} \int d^3r (\epsilon_0 \vec{E}_0 \cdot \vec{E} - \epsilon \epsilon_0 \vec{E}_0 \cdot \vec{E}) \\ &= -\frac{1}{2} \int d^3r \epsilon_0 (\epsilon - 1) \vec{E}_0 \cdot \vec{E} \\ &= -\frac{1}{2} \int d^3r \underbrace{\epsilon_0 (\epsilon - 1)}_{\vec{P}} \cdot \vec{E}_0 \end{aligned}$$

$$= -\frac{1}{2} \int d^3r \vec{P}(\vec{r}) \cdot \vec{E}_0(\vec{r}) \quad \left| \begin{array}{l} \text{Integral geht nur über} \\ \text{das Dielektrikum} \end{array} \right.$$

Beachte den Faktor $\frac{1}{2}$, entspricht der Tatsache, dass die Pol. \vec{P} erst im Feld erzeugt wird.

Anmerkung: In den Überlegungen wurde stillschweigend $\epsilon = \text{Konst.}$ benutzt. Da ϵ von der Temp. T abhängt, nimmt man $T = \text{Konst.}$ an. Das bedeutet, dass δW bzw. W die Änderungen der „freien Energie“ sind.

III Magnetostatik

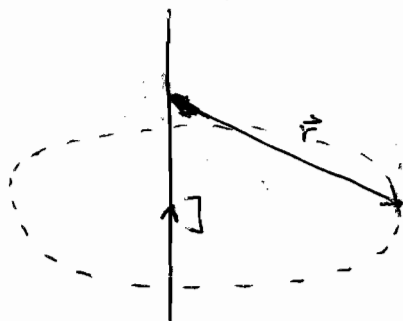
§15. Magnetfelder im Vakuum

(1) Einführung von \vec{B}

Oersted 1819, Biot, Savart 1820, Ampère 1820-25

$$\rightarrow d\vec{B}(\vec{r}) = \frac{\mu_0}{4\pi} I \frac{d\vec{e} \times \vec{r}}{r^3}$$

Beitrag des Stückes $d\vec{e}$ am Ursprung zum Magnetfeld am Ort \vec{r}



vgl. Coulomb-Gesetz

$$\vec{E}(\vec{r}) = \frac{1}{4\pi\epsilon_0} q \frac{\vec{r}}{r^3}$$

Unterschied:

- Vektorcharakter

- Ströme müssen stationär fließen (da Stetig)

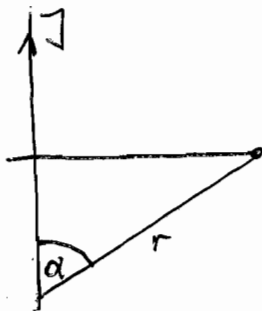
Kontinuitätsgleichung

$$\underbrace{\frac{\partial \rho}{\partial t}}_{=0 \text{ bei Stetig}} + \nabla \cdot \vec{j} = 0$$

→ keine Quellen und Senken für \vec{j}

(2) Vergleich

B-Feld eines geraden Drahtes:

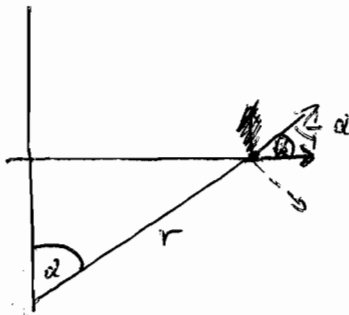


$$B_{\varphi} = B$$

$$= \frac{\mu_0}{4\pi} j \int_{-\infty}^{+\infty} \frac{dz \cdot r \cdot \sin \alpha}{r^3}$$

Elektr. Feld eines geladenen Drahtes:

↑ gleiches Integral



$$E_x = \frac{1}{4\pi\epsilon_0} G \int_{-\infty}^{+\infty} \frac{dz \cdot r \cdot \sin \alpha}{r^3}$$

G = Ladung pro Länge

$$\rightarrow B = \frac{\mu}{2\pi} \frac{j}{R} \quad ; \quad E = \frac{G}{2\pi\epsilon_0} \frac{1}{R}$$

(3) Quellen und Wirbel von \vec{B}

Wenn im ganzen Raum Ströme fließen, ist mit der Stromdichte $\vec{j}(\vec{r})$ (Strom/Fläche)

$$\vec{B}(\vec{r}) = \frac{\mu_0}{4\pi} \int \frac{\vec{j}(\vec{r}') \times (\vec{r} - \vec{r}')}{|\vec{r} - \vec{r}'|^3} d^3r'$$

Verwendung von

$$\frac{(\vec{r} - \vec{r}')}{|\vec{r} - \vec{r}'|^3} = -\vec{\nabla} \frac{1}{|\vec{r} - \vec{r}'|}$$

$$\rightarrow \vec{j}(\vec{r}') \times \vec{\nabla} \frac{1}{|\vec{r} - \vec{r}'|} = \vec{\nabla} \times \left(\frac{\vec{j}(\vec{r}')}{|\vec{r} - \vec{r}'|} \right) - \underbrace{\frac{1}{|\vec{r} - \vec{r}'|} (\vec{\nabla} \times \vec{j}(\vec{r}'))}_{=0}$$

Daher gilt:

$$\vec{B}(\vec{r}) = \vec{\nabla} \times \left[\frac{\mu_0}{4\pi} \int \frac{\vec{j}(\vec{r}')}{|\vec{r} - \vec{r}'|} d^3r' \right]$$

d.h. \vec{B} hat die Form:

$$\vec{B} = \vec{\nabla} \times \vec{A}$$

$$\rightarrow \vec{\nabla} \cdot \vec{B} = \vec{\nabla} \cdot (\vec{\nabla} \times \vec{A}) = 0$$

$$\rightarrow \vec{\nabla} \cdot \vec{B} = 0 \quad \vec{B} \text{ ist Quellenfrei}$$

01.12.05

$$\vec{B}(\vec{r}) = \vec{\nabla} \times \underbrace{\left(\frac{\mu_0}{4\pi} \int \frac{\vec{j}(\vec{r}')}{|\vec{r} - \vec{r}'|} d^3r' \right)}_{\vec{A}(\vec{r})}$$

$$\vec{\nabla} \cdot \vec{B} = 0 \quad \text{Keine Quellen}$$

Zweite Gleichung für \vec{B} .

$$\begin{aligned} \vec{\nabla} \times \vec{B} &= \vec{\nabla} \times (\vec{\nabla} \times \vec{A}) \\ &= \vec{\nabla}(\vec{\nabla} \cdot \vec{A}) - \Delta \vec{A} \quad \text{allg. Formel} \end{aligned}$$

$$\vec{\nabla} \cdot \vec{A} = \frac{\mu_0}{4\pi} \int \underbrace{\left(\vec{\nabla} \frac{1}{|\vec{r} - \vec{r}'|} \right)}_{-\vec{\nabla}' \frac{1}{|\vec{r} - \vec{r}'|}} \vec{j}(\vec{r}') d^3r'$$

Schreibe:

$$\left(\vec{\nabla}' \frac{1}{|\vec{r} - \vec{r}'|} \right) \vec{j}(\vec{r}') = \vec{\nabla}' \left(\frac{\vec{j}(\vec{r}')}{|\vec{r} - \vec{r}'|} \right) - \frac{1}{|\vec{r} - \vec{r}'|} \underbrace{\vec{\nabla}' \cdot \vec{j}(\vec{r}')}_{=0, \text{ wegen Stabilität}}$$

Es bleibt:

$$\int \vec{\nabla}' \left(\frac{\vec{j}(\vec{r}')}{|\vec{r} - \vec{r}'|} \right) d^3r' \stackrel{(\text{Gauß})}{=} \int_{\text{Oberfl.}} \frac{\vec{j}(\vec{r}') \cdot d\vec{A}'}{|\vec{r} - \vec{r}'|}$$

Für festes \vec{r} wähle als Oberfläche eine große Kugel mit Radius R um \vec{r} .

$$\rightarrow \frac{1}{R} \int_{\text{Kugel}} \vec{j}(\vec{r}') d\vec{r}' = 0$$

$$\rightarrow \vec{\nabla} \cdot \vec{A} = 0$$

Es bleibt:

$$\Delta \vec{A} = \frac{\mu_0}{4\pi} \int \underbrace{\Delta \left(\frac{1}{|\vec{r}-\vec{r}'|} \right)}_{-4\pi \delta(\vec{r}-\vec{r}')} \vec{j}(\vec{r}') d^3r' = -\mu_0 \vec{j}(\vec{r})$$

Also folgt

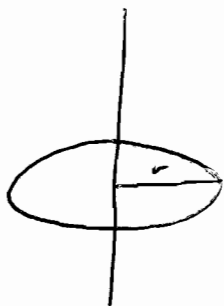
$$\vec{\nabla} \times \vec{B} = \mu_0 \vec{j} \quad \text{Wirbel von } \vec{B} \text{ dort, wo Stromdichte } \vec{j} \neq 0$$

Mit Stokes folgt die integrale Form

$$\int_{\text{Fläche}} (\vec{\nabla} \times \vec{B}) \cdot d\vec{r} = \oint_{\text{Rand}} \vec{B} \cdot d\vec{r} = \underbrace{\mu_0 \int \vec{j} \cdot d\vec{r}}_{\text{Strom durch Fläche}} = \mu_0 I$$

$$\rightarrow \oint \vec{B} \cdot d\vec{r} = \mu_0 I$$

z. B. gerader Draht



$$\vec{B}(r) \cdot 2\pi r = \mu_0 I$$

$$\sim \vec{B}(r) = \frac{\mu_0}{2\pi} I \frac{1}{r} \quad \text{vgl. (2)}$$

(4) Das Vektorpotential \vec{A}

Ist analog zum skalaren Potential ϕ im elektr. Fall
Vergleiche:

$$\phi(\vec{r}) = \frac{1}{4\pi\epsilon_0} \int \frac{\rho(\vec{r}')}{|\vec{r} - \vec{r}'|} d^3r'$$

Die Existenz von \vec{A} ist mit der Quellenfreiheit
von \vec{B} verknüpft.

$$\vec{\nabla} \cdot \vec{B} = 0 \rightarrow \text{man kann immer schreiben} \\ \vec{B} = \vec{\nabla} \times \vec{A}$$

Das \vec{A} ist jedoch nicht eindeutig!

Wenn

$$\vec{A}' = \vec{A} + \vec{\nabla} \chi$$

$$\rightarrow \vec{\nabla} \times \vec{A}' = \vec{\nabla} \times \vec{A} + \vec{\nabla} \times (\vec{\nabla} \chi)$$

$\rightarrow A'$ liefert dasselbe \vec{B} wie \vec{A}

vgl. skalares Potential:

$$\phi' = \phi + c$$

Liefert dasselbe \vec{E} wie ϕ

Folge: Man kann bestimmte Wahlen für \vec{A} treffen.
In unserem Fall erfüllt \vec{A} die Bedingung

$$\vec{\nabla} \cdot \vec{A} = 0$$

Man nennt diese Wahl die „Coulomb-Eichung“

Dann gilt: $-\Delta \vec{A} = \mu_0 \vec{j}$; vgl. Poisson: $-\Delta \phi = \rho/\epsilon_0$

Jede kartesische Komponente von \vec{A} erfüllt die Poisson-Gl. (mit $\rho \rightarrow j$)

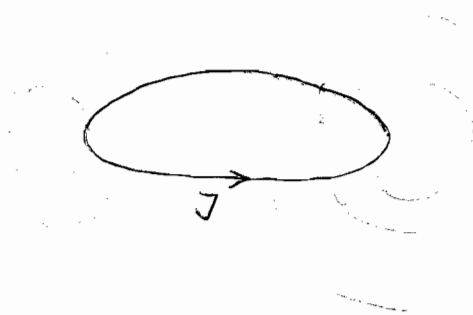
Das Integral

$$\oint_{\text{Fluß von } \vec{B}} \vec{B} \cdot d\vec{l} = \int (\nabla \times \vec{A}) \cdot d\vec{l} = \oint \vec{A} \cdot d\vec{l}$$

ist unabhängig von der Eichung

16. Magnetische Dipole

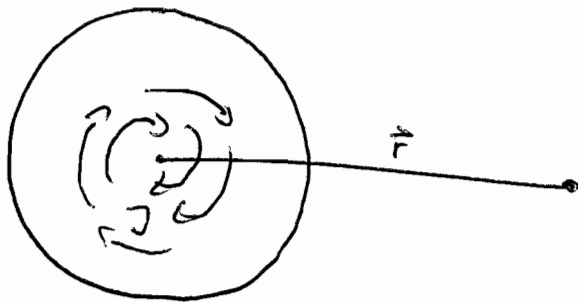
Ampere:



Kreisströme erzeugen
Dipolfelder

(1) Wir gehen analog zum elektr. Fall vor. Gegeben sei eine Stromverteilung $\vec{j}(\vec{r}')$, die in einem Raumgebiet lokalisiert ist.

Gesucht: Vektorprodukt und Feld \vec{B} in großem Abstand



$$\vec{A}(\vec{r}) = \frac{\mu_0}{4\pi} \int \frac{\vec{j}(\vec{r}')}{|\vec{r} - \vec{r}'|} d^3r'$$

Schreibe

$$\frac{1}{|\vec{r} - \vec{r}'|} \approx \frac{1}{r} + \frac{\vec{r} \cdot \vec{r}'}{r^3}$$

$$\frac{1}{\sqrt{r^2 + r'^2 - 2\vec{r} \cdot \vec{r}'}}$$

$$A_{\vec{a}}(\vec{r}) = \frac{\mu_0}{4\pi} \frac{1}{r} \int j_a(\vec{r}') d^3r' + \frac{\mu_0}{4\pi} \frac{1}{r^3} \vec{r} \cdot \int \vec{r}' - j_a(\vec{r}') d^3r'$$

Verwende $\vec{\nabla} \cdot \vec{j}(\vec{r}) = 0$ und $\psi(\vec{\nabla} \cdot \vec{j}) = \vec{\nabla}(\psi \vec{j}) - \vec{j}(\vec{\nabla} \psi)$

Das liefert:

$$0 = \int \psi(\vec{r}') \vec{\nabla}' \cdot \vec{j}(\vec{r}') d^3r' = \underbrace{\int \vec{\nabla}'(\psi \vec{j}(\vec{r}')) d^3r'}_{\int \psi \vec{j}(\vec{r}') d^3r'} - \int \vec{j}(\vec{r}') \vec{\nabla}' \psi d^3r'$$

$= 0$ im Bereich wo $\vec{j} = 0$

Dies wird jetzt verwendet

(a) Wähle $\psi = x' \rightarrow \vec{\nabla}' \psi = (1, 0, 0)$

$$\rightarrow \int j_x(\vec{r}') d^3r' = 0$$

Analog $\psi = y'$; $\psi = z'$

\rightarrow 1. Integral für \vec{A} verschwindet

(b) Wähle $\psi = x'^2$

$$\rightarrow \vec{\nabla}' \psi = (2x', 0, 0)$$

$$\rightarrow \int x' \cdot j_x(\vec{r}') d^3r' = 0$$

(c) Wähle $\psi = x'y'$

$$\rightarrow \vec{\nabla}' \psi = (y', x', 0)$$

$$\rightarrow \int (y' j_x + x' j_y) d^3r' = 0$$

Damit folgt:

$$\vec{r} \cdot \int \vec{r}' j_a(\vec{r}') d^3r' = \sum_{\beta} r_{\beta} \int r'_{\beta} j_a(\vec{r}') d^3r' = - \sum_{\beta} r_{\beta} \int r'_{\alpha} j_{\beta}(\vec{r}') d^3r'$$

$$= \frac{1}{2} \sum_{\beta} r_{\beta} \int (r'_{\beta} j_a - r'_{\alpha} j_{\beta}) d^3r'$$

$$= - \frac{1}{2} \left[\vec{r} \times \underbrace{\int (\vec{r}' \times \vec{j}(\vec{r}')) d^3r'}_{=:\vec{m}} \right]_a$$

Also:

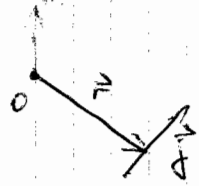
$$\vec{A}(\vec{r}) = \frac{\mu_0}{4\pi} \frac{\vec{m} \times \vec{r}}{r^3}$$

\vec{m} : magnet. (Dipol-)Moment

6.12.05

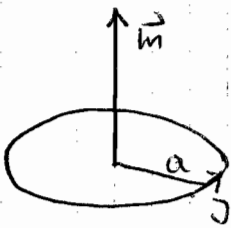
$$\vec{A}(\vec{r}) = \frac{\mu_0}{4\pi} \frac{\vec{m} \times \vec{r}}{r^3}$$

$$\vec{m} = \frac{1}{2} \int d^3r' (\vec{r}' \times \vec{j}(\vec{r}')) \quad \text{vgl.} \quad \vec{p} = \int d^3r' \vec{r}' \rho(\vec{r}')$$



Dimension: $[m] = m^2 \frac{A}{m} = \text{Strom} \times \text{Fläche}$

Beispiel: Kreisstrom in der x-y-Ebene



$$m_z = m = \frac{1}{2} a \int 2\pi a = \int \pi a^2 = \int A$$

Magnetfeld:

$$\vec{B} = \vec{\nabla} \times \vec{A} = \frac{\mu_0}{4\pi} \left(\vec{\nabla} \times \left(\underbrace{\vec{\nabla} \frac{1}{r}}_{\vec{a}} \times \underbrace{\vec{m}}_{\vec{b}} \right) \right); \quad \frac{\vec{r}}{r^3} = -\vec{\nabla} \frac{1}{r}$$

Verwende:

$$\vec{\nabla} \times (\vec{a} \times \vec{b}) = \underbrace{\vec{a} (\vec{\nabla} \cdot \vec{b})}_{=0} - \underbrace{\vec{b} (\vec{\nabla} \cdot \vec{a})}_{\Delta \frac{1}{r} = 0} + \underbrace{(\vec{b} \cdot \vec{\nabla}) \vec{a}}_{(\vec{m} \cdot \vec{\nabla}) \vec{\nabla} \frac{1}{r}} - \underbrace{(\vec{a} \cdot \vec{\nabla}) \vec{b}}_{=0}$$

weil $\vec{b} = \vec{m}$
gest. Feld

Also:

$$\vec{B}(\vec{r}) = \frac{\mu_0}{4\pi} (\vec{m} \cdot \vec{\nabla}) \underbrace{\vec{\nabla} \frac{1}{r}}_{-\frac{\vec{r}}{r^3}}$$

$$\rightarrow B_x = -\frac{\mu_0}{4\pi} \left(m_x \frac{\partial}{\partial x} + m_y \frac{\partial}{\partial y} + m_z \frac{\partial}{\partial z} \right) \frac{x}{r^3}$$

$$\frac{\partial}{\partial x} \frac{x}{r^3} = \frac{1}{r^3} + x(-3) \frac{1}{r^4} \left(\frac{x}{r} \right)$$

$$\rightarrow \vec{B}(\vec{r}) = -\frac{\mu_0}{4\pi} \left(\frac{\vec{m}}{r^3} - \frac{3(\vec{m} \cdot \vec{r})}{r^5} \vec{r} \right)$$

Gleiche Formel wie im elektr. Fall.

\rightarrow Nur in großen Abstand, sonst Multipolentw.

Gyromagnetisches Verhältnis

$$\text{Schreibe: } \vec{j}(\vec{r}) = q \cdot n(\vec{r}) \vec{v}(\vec{r})$$

$$\rightarrow \vec{m} = \frac{q}{2m} \int d^3r' (\vec{r}' \times n(\vec{r}') \vec{v}(\vec{r}') \cdot M)$$

mit M = Masse eines Teilchens

$$\int d^3r' (\vec{r}' \times n(\vec{r}') \vec{v}(\vec{r}') M) \hat{=} \sum_i (\vec{r}_i \times \vec{p}_i)$$

$$\rightarrow \vec{m} = \frac{q}{2m} \cdot \vec{L}, \quad \vec{L} \text{ Drehimpuls}$$

$$\text{d.h. } \frac{m}{L} = \frac{q}{2m}$$

Gilt auch in der Quantenmechanik, wenn es sich um Bahnbewegung handelt, nicht für Spin.

Man kann Formeln des elektr. Falls übertragen, z.B.

$$\vec{F} = (\vec{m} \cdot \vec{\nabla}) \vec{B} \quad \text{Kraft im inhom. Feld}$$

$$W = -\vec{m} \cdot \vec{B} \quad \text{Energie im Feld}$$

Magnetische Kräfte

$$\vec{F} = \int d\vec{s} \times \vec{B} \quad \text{auf Leiterstück}$$

$$\vec{f} = \vec{j} \times \vec{B} \quad \text{Kraft / Volumen}$$

17. Magnetisierte Körper

Diskussion analog zum elektr. Fall.

(1) Vektorpotential u. Magnetisierungsströme

Gegeben sei eine Magnetisierung

$$\vec{M}(\vec{r}) \quad \left(\frac{\text{Magn. Dipolmoment}}{\text{Volumen}} \right)$$

Vektorpot:

$$\begin{aligned} \vec{A}_M(\vec{r}) &= \frac{\mu_0}{4\pi} \int d^3r' \frac{\vec{M}(\vec{r}') \times (\vec{r} - \vec{r}')}{|\vec{r} - \vec{r}'|^3} \\ &= \frac{\mu_0}{4\pi} \int d^3r' \vec{M}(\vec{r}') \times \vec{\nabla}' \frac{1}{|\vec{r} - \vec{r}'|} \end{aligned}$$

Verwende Formel für $\vec{\nabla} \times (\psi \vec{a})$

$$\begin{aligned} \rightarrow \vec{A}_M(\vec{r}) &= \frac{\mu_0}{4\pi} \int d^3r' \frac{1}{|\vec{r} - \vec{r}'|} \vec{\nabla}' \times \vec{M}(\vec{r}') - \\ &\quad - \underbrace{\int d^3r' \frac{\mu_0}{4\pi} \vec{\nabla}' \times \left(\frac{\vec{M}(\vec{r}')}{|\vec{r} - \vec{r}'|} \right)}_{\text{Oberflächenintegral s. Übung}} \end{aligned}$$

$\vec{\nabla} \times \vec{M}(\vec{r})$ lässt sich als Stromdichte lesen

Also ist $\vec{j}_M = \vec{\nabla} \times \vec{M}$ die mit der Magnetisierung verknüpfte Stromdichte.

vgl. elektrisch: $\rho_P = -\vec{\nabla} \cdot \vec{P}$

$\otimes \otimes \times \vec{j}_M$ (in die Ebene hinein)

Alternativ kann man sich $\vec{M}(\vec{r})$ aus Kreisströmen entstanden denken.



(2) Gesamtes Vektorpot. mit äußerem Feld

$$\vec{A} = \vec{A}_{\text{ext}} + \vec{A}_M$$

$$\rightarrow \vec{B} = \vec{\nabla} \times \vec{A}$$

$$\begin{aligned} \vec{\nabla} \times \vec{B} &= \vec{\nabla} \times (\vec{\nabla} \times \vec{A}) \\ &= \vec{\nabla} (\underbrace{\vec{\nabla} \cdot \vec{A}}_{=0}) - \Delta \vec{A} \end{aligned}$$

$$= -\Delta (\vec{A}_{\text{ext}} + \vec{A}_M)$$

$$= \mu_0 (\vec{j} + \vec{j}_M)$$

$$= \mu_0 (\vec{j} + \vec{\nabla} \times \vec{M})$$

Also:

$$\vec{\nabla} \times (\vec{B} - \mu_0 \vec{M}) = \mu_0 \vec{j} \quad \text{bzw.} \quad \vec{\nabla} \times \underbrace{\left(\frac{\vec{B}}{\mu_0} - \vec{M} \right)}_{= \vec{H}} = \vec{j}$$

Definiert man also

$$\vec{H} = \frac{1}{\mu_0} \vec{B} - \vec{M} \quad \rightarrow \quad \vec{\nabla} \times \vec{H} = \vec{j}$$

oder auch:

$$\vec{B} = \mu_0 (\vec{H} + \vec{M})$$

Das Feld \vec{H} hat also seine Wirbel dort, wo „freie“ Ströme fließen.

Randbedingungen an Grenzflächen:

$$\vec{\nabla} \cdot \vec{B} = 0 \quad \rightarrow \quad B_n \text{ stetig}$$

$$\vec{\nabla} \times \vec{H} = \vec{j} \quad \rightarrow \quad H_t \text{ stetig, wenn } \vec{j} = 0 \text{ oder } \vec{j} \text{ ohne } \delta\text{-förmigen Beitrag an d. Grenzfläche}$$

(3) Felder in einem Permanentmagneten

$$\vec{B}_{\text{ext}} = 0, \text{ keine wahren Ströme } \vec{j} = 0$$

$$\rightarrow \vec{\nabla} \times \vec{H} = 0$$

und \vec{H} entsteht durch $\vec{M} \rightarrow \vec{H}_M$

\vec{H}_M lässt sich schreiben:

$$\vec{H}_M = -\vec{\nabla} \psi = -\vec{\nabla} \phi_M$$

mit einem skalaren Potential ϕ_M

$$\rightarrow \vec{\nabla} \cdot \vec{B} = \vec{\nabla} \cdot [\mu_0 (\vec{H} + \vec{M})] = \vec{\nabla} \cdot [-\mu_0 \vec{\nabla} \phi_M + \mu_0 \vec{M}] = 0$$

$$\rightarrow -\Delta \phi_m = -\vec{\nabla} \cdot \vec{M} = \rho_m$$

bzw.

$$\phi_m = \frac{1}{4\pi} \int d^3r' \frac{\rho_m(\vec{r}')}{|\vec{r} - \vec{r}'|}$$

Man muss also nur die elektr. Formeln übertragen

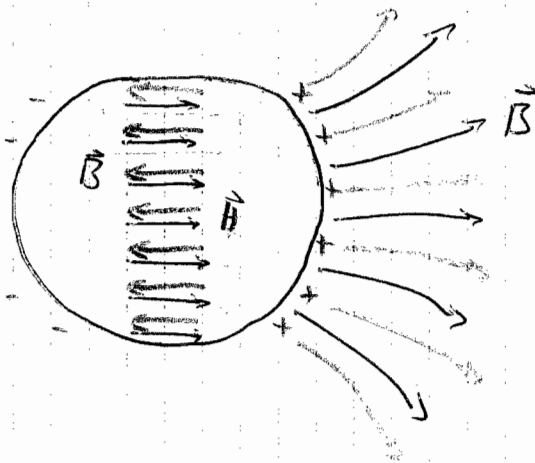
$$\vec{E} \rightarrow \vec{H}$$

$$\vec{P} \rightarrow \vec{M}$$

\rightarrow Ellipsoid, \vec{M} in Achsenrichtung

$$\rightarrow \vec{H} = -\frac{1}{4\pi} \cdot N \cdot \vec{M}$$

N heißt „Entmagnetisierungsfaktor“



$$\text{Feld } \vec{H}, \quad \vec{\nabla} \times \vec{H} = \vec{j}$$

$$\vec{B} = \mu_0 (\vec{H} + \vec{M})$$

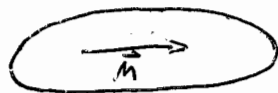
In Ellipsoid

$$\vec{H}_m = -\frac{1}{4\pi} N \cdot \vec{M}$$

$$\rightarrow \vec{B}_m = \mu_0 (\vec{H}_m + \vec{M}) = \underbrace{\mu_0 \left(1 - \frac{N}{4\pi}\right)}_{\geq 0} \vec{M}$$

Also hat \vec{B} die Richtung von \vec{M}

Speziell: Zigarre: $N \equiv 0 \rightarrow \vec{H}_m \cong 0$



(4) Körper im äußeren Magnetfeld

$$\vec{H} = \vec{H}_{\text{ext}} + \vec{H}_m$$

Materialgleichung: Man schreibt

$$\vec{M} = \chi \cdot \vec{H}$$

Dies lässt sich in Experimenten direkt messen.

Für lange Zigarre ist

$$\vec{H} \cong \vec{H}_{\text{ext}}$$

und somit von außen einstellbar.

Eingesetzt folgt

$$\vec{B} = \mu_0 (\vec{H} + \chi \vec{H})$$

$$= \mu_0 \underbrace{(1 + \chi)}_{\mu} \vec{H} = \mu \mu_0 \vec{H}$$

μ : Magnetische Permeabilität

$$\chi > 0 \rightarrow \mu > 1 \text{ Paramagnet}$$

$$\chi < 0 \rightarrow \mu < 1 \text{ Diamagnet}$$

Für Ellipsoid: (in Achsenrichtung)

$$\vec{H} = \vec{H}_{\text{ext}} - \frac{1}{4\pi} N \cdot \underbrace{\vec{M}}_{\chi \vec{H}}$$

$$\rightarrow \vec{H} = \vec{H}_{\text{ext}} \frac{1}{1 + \frac{N\chi}{4\pi}}$$

$$\rightarrow \vec{B} = \frac{\mu_0 (1 + \chi)}{1 + \frac{N\chi}{4\pi}} \vec{H}_{\text{ext}} = \frac{1 + \chi}{1 + \frac{N\chi}{4\pi}} \vec{B}_{\text{ext}}$$

Wenn $\chi > 0 \rightarrow \vec{B} > \vec{B}_{\text{ext}}$ (innen)

(5) Der ideale Diamagnet

Man kann ein Material im Supraleiter-Zustand als Diamagnet ansehen, wo

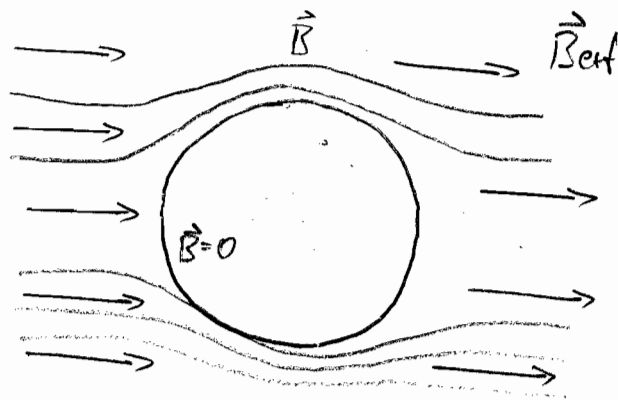
$$\chi = -1$$

$$\rightarrow \vec{B} = 0$$

$$\rightarrow \vec{H} = -\vec{M}$$

Meissner-Ochsenfeld-Effekt

Entsteht durch Randströme, die das äußere Feld im Inneren genau kompensieren.



→ Schweberversuche im inhomogenen Feld

Beachte, dass die Randströme ^{nicht} Ströme sind, die durch die freien Leitungselektronen entstehen.

IV Induktion

18. Induktionsgesetz

(1) Faradays Experimente

Strom in Leiterschleifen



bei Änderung des magnetischen Flusses

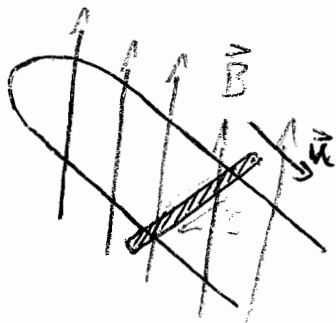
$$J \cdot R = - \frac{d}{dt} \int \vec{B} \cdot d\vec{f}$$

$J \cdot R$ kann man als Ringspannung ansehen

$$J \cdot R = U = \oint \vec{E} \cdot d\vec{f} = - \frac{d}{dt} \int \vec{B} \cdot d\vec{f}$$

Dies wird als allgemeine Aussage angesehen, die auch ohne Draht gilt.

(2) Falls Draht ~~Bewegt~~ wird, folgt dies aus der Lorentzkraft



$$\vec{F}_L = q \cdot \vec{u} \times \vec{B}$$

Wenn man sich auf den Bügel setzt, würde man diese Kraft auf ein elektrisches Feld

$$\vec{E}' = \vec{u} \times \vec{B}$$

Zurückführen.

Dann ist

$$\begin{aligned} \oint \vec{E}' \cdot d\vec{r} &= \oint (\vec{u} \times \vec{B}) \cdot d\vec{r} \\ &= -uB \cdot l \\ &= -\frac{dx}{dt} B \cdot l = -\frac{d}{dt} \underbrace{(x \cdot B \cdot l)}_{\text{Fluss}} \\ &= -\frac{d}{dt} \oint \vec{B} \cdot d\vec{r} = -\dot{\phi} \end{aligned}$$

(3) Differentielle Form

Bei fester Schleife ist

$$\underbrace{\oint \vec{E} \cdot d\vec{r}}_{\int (\vec{\nabla} \times \vec{E}) d\vec{r}} = - \int \left(\frac{d\vec{B}}{dt} \right) \cdot d\vec{r}$$

Gilt für beliebige Schleifen

$$\rightarrow \vec{\nabla} \times \vec{E} = - \frac{d\vec{B}}{dt} = - \dot{\vec{B}}$$

Das \vec{E} -Feld hat also Wirbel, wenn $\dot{\vec{B}} \neq 0$

Mit $\vec{B} = \vec{\nabla} \times \vec{A}$

$$\rightarrow \vec{\nabla} \times \vec{E} = - \frac{\partial}{\partial t} (\vec{\nabla} \times \vec{A}) = - \vec{\nabla} \times \frac{\partial \vec{A}}{\partial t}$$

$$\rightarrow \vec{\nabla} \times \left(\vec{E} + \frac{\partial \vec{A}}{\partial t} \right) = 0$$

Also kann man schreiben

$$\vec{E} + \frac{\partial \vec{A}}{\partial t} = - \vec{\nabla} \phi$$

bzw.

$$\vec{E} = - \vec{\nabla} \phi - \frac{\partial \vec{A}}{\partial t}$$

↑
Beitrag von
Ladungen

↑
Beitrag von zeitl.
veränd. Magnetf.

13.12.05

$$\vec{j} \cdot \vec{E}_{\text{ind}} = \vec{j} \cdot \vec{E} - \vec{j} \cdot \vec{E}_{\text{ind}}$$

Also ist $\dot{w}_m = - \int d^3r \vec{j} \cdot \vec{E}_{\text{ind}}$
die Änderung der magn. Feldenergie

Einsetzen: $\vec{E}_{\text{ind}} = - \frac{\partial \vec{A}}{\partial t}$

$$\rightarrow \dot{w}_m = \int d^3r \vec{j} \cdot \frac{\partial \vec{A}}{\partial t}$$

bzw.

$$\boxed{S_{w_m} = \int d^3r \vec{j} \cdot \delta \vec{A}}$$

Setze ein $\vec{j} = \vec{\nabla} \times \vec{H}$

$$\rightarrow S_{w_m} = \int d^3r (\vec{\nabla} \times \vec{H}) \cdot \delta \vec{A}$$

$$\stackrel{1)}{=} \int d^3r \left[\underbrace{\vec{H} \cdot (\vec{\nabla} \times \delta \vec{A})}_{\delta \vec{B}} + \underbrace{\vec{\nabla} \cdot (\vec{H} \times \delta \vec{A})}_{\rightarrow \text{df-Int. verschw. wenn } \vec{H} \times \delta \vec{A} \text{ stärker als } 1/r^2 \text{ abfällt}} \right]$$

Wenn $B \sim H$ folgt

$$\boxed{w_m = \frac{1}{2\mu_0} \int d^3r B^2(\vec{r})}$$

$$\text{vgl } w_e = \frac{1}{2\epsilon_0} \int d^3r E^2(\vec{r})^2$$

In diesen Fall ist auch $\vec{j} \sim A$, sodass

$$w_m = \frac{1}{2} \int d^3r \vec{j} \cdot \vec{A}$$

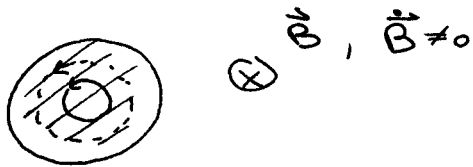
$$1) \vec{\nabla} \cdot (\vec{a} \times \vec{b}) = \vec{b} \cdot (\vec{\nabla} \times \vec{a}) - \vec{a} \cdot (\vec{\nabla} \times \vec{b})$$

Anwendungen

(1.) Induktionskoeffizienten L

(2.) Wirbelströme

Bisher wurde \vec{E}_{ind} für Drähte bzw. geschlossene Wege diskutiert. Wie ist es für einen ausgebluteten Leiter?



Man kann versch. Wege betrachten und $\oint \vec{E} d\vec{r}$

$$\oint \vec{E} d\vec{r} = -\dot{\phi} = -\pi r^2 \dot{B}$$

wenn $E = E_p(r)$ radialsymmetrisch und nur in azimutaler Richtung

$$\begin{aligned} \rightarrow \int 2\pi r E_p(r) &= -\pi r^2 \dot{B} \\ E_p(r) &\sim r \end{aligned}$$

Mit $\vec{j} = \sigma \cdot \vec{E}$; σ : Leitfähigkeit
folgt dann der Strom

Die Ströme erzeugen wiederum Magnetfelder, welche das ursprüngliche \vec{B} schwächen.

Der Effekt ist im Zentrum am größten

- Gleichung:

$$\vec{\nabla} \times (\underbrace{\vec{\nabla} \times \vec{B}}_0) = \underbrace{\vec{\nabla} (\vec{\nabla} \cdot \vec{B})}_0 - \Delta \vec{B}$$

$$\text{inner } \vec{\nabla} \times \vec{H} = \vec{j}$$

$$\rightarrow \vec{\nabla} \times \vec{B} = \mu_0 \vec{j} = \mu_0 \sigma \vec{E}$$

$$\mu_0 \sigma (\nabla \times \vec{E}) = -\Delta \vec{B}$$

$$-\frac{\partial B}{\partial t}$$

Also

$$\frac{\partial \vec{B}}{\partial t} = \frac{1}{\mu_0 \sigma} \Delta \vec{B}$$

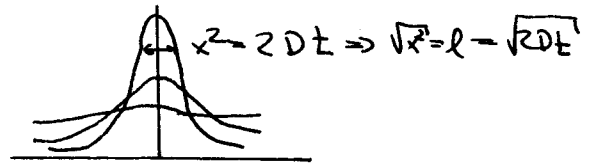
im Inneren des Materials

Diffusions- bzw. Wärmeleitungsgleichung!

z. B. $\frac{\partial T}{\partial t} = D \cdot \Delta T$

Bei Diffusion hängen zeitliche und räumliche Skalen zusammen

$$l \sim \sqrt{D \cdot t}$$



Falls sich $B \sim e^{-i\omega t}$ periodisch ändert, hat man eine typ. Zeit $T = \frac{2\pi}{\omega}$ und eine Länge

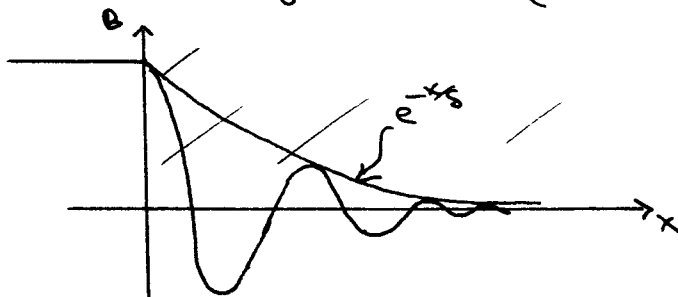
$$l \sim \sqrt{D \cdot t} \sim \sqrt{\frac{D}{\omega}} = \sqrt{\frac{1}{\mu_0 \sigma \omega}} \equiv S$$

Diese Länge legt fest, wie weit das äußere Feld in das Material eindringt

→ „Eindringtiefe“

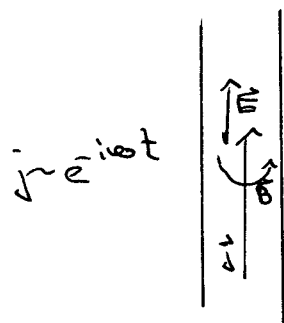
Resultat der Rechnung (Jackson):

$$B = B_0 e^{-x/S} \cdot \cos\left(\frac{x}{S} - \omega t\right)$$



Das Feld dringt bis $x \sim S$ in das Material ein.

Vergleich: Skin-Effekt



Wechselstrom in Drahtrichtung

\vec{B} u. \vec{E} sind im Vergleich zur Scheibe vertauscht

→ selbe Gleichung für \vec{E} wie oben von \vec{B}

(3.) Trägheitseffekte

Woher kommt $\vec{j} = \sigma \cdot \vec{E}$?

Bewegungsgl. eines Teilchens mit Reibung

$$m \ddot{\vec{r}} + \gamma \dot{\vec{r}} = q \vec{E}$$

Für die Stromdichte $\vec{j} = q n \dot{\vec{r}}$

$$\frac{\partial \vec{j}}{\partial t} + \gamma \vec{j} = \frac{q^2 n}{m} \vec{E}$$

stationär: $\vec{j} = \underbrace{\frac{q^2 n}{\gamma m}}_{\sigma} \vec{E}$

ohne Reibung dagegen:

$$\boxed{\frac{\partial \vec{j}}{\partial t} = \frac{n q^2}{m} \vec{E}}$$

Bilde wieder $\vec{\nabla} \times (\vec{\nabla} \times \vec{B})$

$$\vec{\nabla} \times (\vec{\nabla} \times \vec{B}) = \vec{\nabla} \times \mu_0 \vec{j}$$

$$\rightarrow \underbrace{\vec{\nabla} \times (\vec{\nabla} \times \vec{B})}_{-\Delta \vec{B}} = \mu_0 \vec{\nabla} \times \frac{\partial \vec{j}}{\partial t} = \mu_0 \frac{n q^2}{m} \underbrace{\vec{\nabla} \times \vec{E}}_{= -\vec{B}}$$

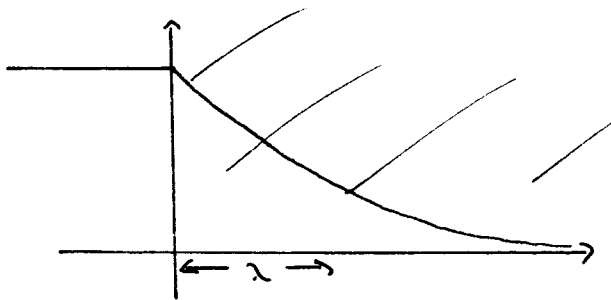
Also:

$$\boxed{(-\Delta + \frac{1}{\lambda^2}) \dot{B} = 0} \quad ; \quad \frac{1}{\lambda^2} = \frac{\mu_0 n q^2}{m}$$

Man hat wieder eine typische Länge, nämlich

$$\lambda = \sqrt{\frac{m}{\mu_0 n q^2}}$$

Für ebenen Rand



$$\left(-\frac{d^2}{dx^2} + \frac{1}{\lambda^2}\right) \dot{B} = 0$$

$$\leadsto \dot{B} = \dot{B}_0 \cdot e^{-x/\lambda}$$

keine örtliche Oszillation!

Durch die Trägheit gibt es immer noch einen Randbereich, wo das Feld nicht Null ist.

Tritt beim Supraleiter auf.

(4.) Flüssige Leiter

Betrachte Material mit Leitfähigkeit σ , das sich selbst bewegt, z.B. flüss. Metalle sei $u = u(\vec{F})$ die Fließgeschwindigkeit

Im mitbewegten System ist $\vec{j}' = \sigma \cdot \vec{E}$

Es gilt,

$$\vec{j} = \vec{j}' + \underbrace{\rho \vec{u}}_{=0}$$

= 0 wenn Material neutral

und:

$$\vec{E}' = \vec{E} + \vec{v} \times \vec{B}$$

$$\vec{j}' = \sigma (\vec{E} + \vec{v} \times \vec{B})$$

$$\vec{j} = \sigma (\vec{E} + \vec{u} \times \vec{B})$$

$$\frac{1}{\sigma} \underbrace{\vec{\nabla} \times \vec{j}} = \underbrace{\vec{\nabla} \times \vec{E}} + \underbrace{\vec{\nabla} \times (\vec{u} \times \vec{B})}$$

$$\underbrace{\frac{1}{\mu_0} \vec{\nabla} \times (\vec{\nabla} \times \vec{B})}_{-\frac{1}{\mu_0} \Delta \vec{B}} \quad \underbrace{-\vec{B}}$$

Also

$$\frac{\partial \vec{B}}{\partial t} = \underbrace{\vec{\nabla} \times (\vec{u} \times \vec{B})}_{\text{neu}} + \frac{1}{\mu_0 \sigma} \Delta \vec{B}$$

Angenommen, der 1. Term dominiert

$$\rightarrow \frac{\partial \vec{B}}{\partial t} = \vec{\nabla} \times (\vec{u} \times \vec{B})$$

Nun gilt für den Fluss durch eine Fläche

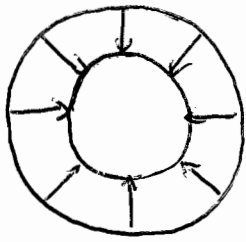
$$\frac{d}{dt} \int_{(K)} \vec{B} \cdot d\vec{f} = \int_{(K)} \left[\underbrace{\frac{\partial \vec{B}}{\partial t}}_{\text{Durch Änderung von } \vec{B}} + \underbrace{(\vec{u} \cdot \vec{\nabla}) \vec{B}}_{\text{Durch Änderung der Randkurve}} \right] d\vec{f}$$

$$\text{Verwendet: } (\vec{u} \cdot \vec{\nabla}) \vec{B} = \vec{\nabla} \times (\vec{B} \times \vec{u}) + \underbrace{\vec{u} \cdot (\vec{\nabla} \cdot \vec{B})}_{=0}$$

$$\hookrightarrow = \int_{(K)} \underbrace{\left[\frac{\partial \vec{B}}{\partial t} - \vec{\nabla} \times (\vec{u} \times \vec{B}) \right]}_{=0} d\vec{f}$$

Also: Der Fluss durch eine Fläche, die sich mit dem Medium mitbewegt, ist zeitlich konstant.

Anwendung: Spule mit Stromfluss komprimieren:



Durchflussfläche wird kleiner, aber der Fluss bleibt gleich

→ Magnetfeld wird größer

V Maxwell-Gleichungen

20. Der Verschiebungsstrom

Stationäre Ströme: $\vec{\nabla} \cdot \vec{j} = 0$

Betrachte nun $\vec{\nabla} \times \vec{B} = \mu_0 \vec{j}$ bzw. $\vec{\nabla} \times \vec{H} = \vec{j}$

Die Divergenz:

$$\rightarrow \underbrace{\vec{\nabla} \cdot (\vec{\nabla} \times \vec{B})}_{= 0} = \mu_0 \vec{\nabla} \cdot \vec{j}$$

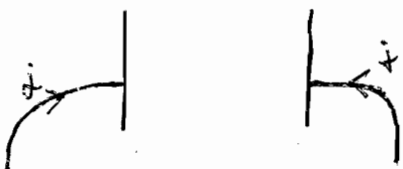
dies ist immer
= 0

In der Statik ist auch die rechte Seite null, also ist die Gleichung in Ordnung

Aber, bei zeitabh. Erscheinungen gilt nicht $\vec{\nabla} \cdot \vec{j} = 0$, sondern:

$$\vec{\nabla} \cdot \vec{j} = - \frac{\partial \rho}{\partial t}$$

z.B. Laden eines PK:



Schreibe:

$$0 = \frac{\partial \rho}{\partial t} + \nabla \cdot \vec{j} = \frac{\partial}{\partial t} (\nabla \cdot \vec{D}) + \nabla \cdot \vec{j} \\ = \nabla \cdot (\vec{j} + \dot{\vec{D}})$$

Wenn man also schreibt

$$\nabla \times \vec{H} = \vec{j} + \dot{\vec{D}} \quad \text{Maxwell 1865}$$

So tritt bei der Divergenzbildung kein Problem auf.

$\dot{\vec{D}}$: Maxwell'scher Verschiebungsstrom

Anschaulich: Laden eines PK



Dies hat weitreichende Konsequenzen.

21. Maxwell-Gleichungen

$$\nabla \times \vec{E} = -\dot{\vec{B}} \quad , \quad \nabla \cdot \vec{D} = \rho$$

$$\nabla \times \vec{H} = \vec{j} + \dot{\vec{D}} \quad , \quad \nabla \cdot \vec{B} = 0$$

- Um welche Felder handelt es sich:

(a) Im Vakuum sind es „freie“ Felder, wobei

$$\vec{D} = \epsilon_0 \vec{E} \quad , \quad \vec{B} = \mu_0 \vec{H} \quad ,$$

so dass man je nur eine Größe (\vec{E}, \vec{B}) braucht

(b) Mit Materie sind es makroskopische Größen, die über den Ort gemittelt sind

j, ρ beziehen sich auf die frei beweglichen Ladungen und sind in Materie auch gemittelte Größen.

- In Materie:

$$\vec{D} = \epsilon \epsilon_0 \vec{E}, \quad \vec{B} = \mu \mu_0 \vec{H}$$

- Die Gleichungen sind nicht ganz unabhängig

$$(\vec{\nabla} \times \vec{E}) = -\dot{\vec{B}}$$

$$\rightarrow \vec{\nabla} \cdot (\vec{\nabla} \times \vec{E}) = 0 = -\vec{\nabla} \cdot \dot{\vec{B}}$$

$$\text{bzw. } \frac{\partial}{\partial t} (\vec{\nabla} \cdot \vec{B}) = 0$$

Wenn also zu einem Zeitpunkt $\vec{\nabla} \cdot \vec{B} = 0$, dann ist dies auch zu allen anderen Zeiten der Fall.

- Welche Größen kommen vor?

Antwort:

- Skalare: ρ

- Vektoren: \vec{E}

- Pseudovektoren: \vec{B}

Erinnerung: Kreuzprodukt $\vec{a} \times \vec{b}$

bei $\vec{a} \rightarrow -\vec{a}$, $\vec{b} \rightarrow -\vec{b}$ ist aber $\vec{a} \times \vec{b} \rightarrow +\vec{a} \times \vec{b}$

$\vec{\nabla}$ ist ein echter Vektor

$\rightarrow \vec{\nabla} \times \vec{E}$ kehrt bei Spiegelung sein Vorzeichen nicht um.

22. Erhaltungssätze

(1) Energiesatz

Ladungen, die im el. Feld bewegt werden
zugeführte Energie pro Vol.

$$\dot{w} = \vec{j} \cdot \vec{E}$$

$$\text{Setze ein } \vec{j} = \vec{\nabla} \times \vec{H} - \dot{\vec{D}}$$

$$\dot{w} = (\vec{\nabla} \times \vec{H}) \cdot \vec{E} - \dot{\vec{E}} \cdot \vec{D}$$

$$\text{Verwende } \vec{\nabla} \cdot (\vec{E} \times \vec{H}) = \vec{H} \cdot (\vec{\nabla} \times \vec{E}) - \vec{E} \cdot (\vec{\nabla} \times \vec{H})$$

$$\rightarrow \dot{w} = -\vec{\nabla} \cdot (\vec{E} \times \vec{H}) + \vec{H} \cdot (\vec{\nabla} \times \vec{E}) - \dot{\vec{E}} \cdot \vec{D}$$

$$\text{Also } \dot{w} = -\vec{\nabla} \cdot (\vec{E} \times \vec{H}) - \underbrace{\vec{H} \cdot \vec{B} - \dot{\vec{E}} \cdot \vec{D}}$$

Zeitableitungen der elektr. u.
magn. Energiedichten

$$\text{Mit } u_m = \frac{1}{2} \vec{B} \cdot \vec{H} = \frac{1}{2} \mu \mu_0 \vec{B}^2$$

$$u_e = \frac{1}{2} \dot{\vec{E}} \cdot \vec{D}$$

und $u = u_m + u_e$ folgt

$$\frac{\partial}{\partial t} (w + u) + \underbrace{\vec{\nabla} \cdot (\vec{E} \times \vec{H})}_{\vec{S}} = 0$$

$$\leadsto \frac{\partial}{\partial t} (w + u) + \vec{\nabla} \cdot \vec{S} = 0$$

↑ ↑ ↑
med. Energie e-m-Energie Energiestromdichte

$$\frac{\partial}{\partial t} (\underbrace{w}_{\text{mech}} + \underbrace{u}_{\text{feld}}) + \nabla \cdot \vec{S} = 0$$

$$\vec{S} = \vec{E} \times \vec{H} \quad ; \quad \text{Poynting-Vektor}$$

Anmerkung:

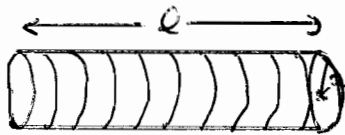
\vec{S} ist nicht eindeutig, da nur die Divergenz auftritt

Beispiel: Draht mit Strom



\vec{S} zeigt in den Draht hinein

Explizit:



$$\vec{j} = \sigma \cdot \vec{E}$$

$$H = \frac{J}{2\pi a} = \frac{j \pi a^2}{2\pi a} = \frac{1}{2} j a$$

Feld an der Oberfläche

Dies ergibt:

$$S = E \cdot H = \frac{1}{2} E \cdot j \cdot a$$

$$\rightarrow SF = S \cdot 2\pi a \cdot l$$

$$= \frac{1}{2} E \cdot j \cdot a \cdot 2\pi a l$$

$$= j E (\pi a^2 \cdot l)$$

$$= j \cdot E \cdot V$$

$$\rightarrow \frac{SF}{V} = j \cdot E = \text{Änderung der mech. Energie der Ladungsträger}$$

(2) Impulssatz

Betrachte Ladungen im Vakuum

$$\text{Kraft: } \vec{F} = q (\vec{E} + \vec{v} \times \vec{B}) = \dot{\vec{p}} \quad (\text{ein Teilchen})$$

Bei vielen Teilchen: Multipliziere mit $n(\vec{r})$

$$\rightarrow \dot{\vec{g}}_{\text{mech}} (n \cdot \dot{\vec{p}}) = \rho \cdot \vec{E} + \vec{j} \times \vec{B}$$

Impulsdichte (Impuls / Volumen) der Teilchen

$$\text{Setze ein: } \vec{\nabla} \cdot \vec{E} = \rho / \epsilon_0 \rightarrow \rho = \epsilon_0 (\vec{\nabla} \cdot \vec{E})$$

$$\vec{\nabla} \times \vec{H} = \vec{j} + \dot{\vec{D}} \rightarrow \vec{j} = \frac{1}{\mu_0} (\vec{\nabla} \times \vec{B}) - \epsilon_0 \dot{\vec{E}}$$

Es folgt

$$\begin{aligned} \dot{\vec{g}}_{\text{mech}} &= \frac{1}{\epsilon_0} \vec{E} \cdot (\vec{\nabla} \cdot \vec{E}) + \frac{1}{\mu_0} (\vec{\nabla} \times \vec{B}) \times \vec{B} - \epsilon_0 \underbrace{\dot{\vec{E}} \times \vec{B}}_{\frac{\partial}{\partial t} (\vec{E} \times \vec{B}) - \vec{E} \times \dot{\vec{B}} - \vec{\nabla} \times \vec{E}} \\ &= \epsilon_0 \left[\vec{E} (\vec{\nabla} \cdot \vec{E}) - \vec{E} \times (\vec{\nabla} \times \vec{E}) \right] + \frac{1}{\mu_0} \left[\underbrace{\vec{B} (\vec{\nabla} \cdot \vec{B})}_{=0} - \vec{B} \times (\vec{\nabla} \times \vec{B}) \right] \\ &\quad - \frac{\partial}{\partial t} \epsilon_0 (\vec{E} \times \vec{B}) \end{aligned}$$

Also:

$$\frac{\partial}{\partial t} (\vec{g}_{\text{mech}} + \vec{g}_{\text{rad}}) = \epsilon_0 [-] + \frac{1}{\mu_0} [-] \quad \text{1/2}$$

$$\text{mit } \vec{g}_{\text{rad}} = \epsilon_0 (\vec{E} \times \dot{\vec{B}}) = \epsilon_0 \mu_0 (\vec{E} \times \vec{H}) = \underbrace{\epsilon_0 \mu_0}_{1/c^2} \vec{S}$$

↳ Impulsdichte des elektromagn. Feldes

Man zeigt, dass:

$$[\vec{E} \cdot (\vec{\nabla} \cdot \vec{E}) - \vec{E} \times (\vec{\nabla} \times \vec{E})]_i = \sum_{\beta} \frac{\partial}{\partial r_{\beta}} \underbrace{(E_{\alpha} E_{\beta} - \frac{1}{2} E^2 \delta_{\alpha\beta})}_{\text{hat die Form einer Divergenz}}$$

Also kann man schreiben:

$$\frac{\partial}{\partial t} (\vec{g}_{\text{mech}} + \vec{g}_{\text{feld}}) + \vec{\nabla} \cdot \vec{T} = 0$$

$$\text{mit } T_{\alpha\beta} = \epsilon_0 (E_{\alpha} E_{\beta} - \frac{1}{2} E^2 \delta_{\alpha\beta}) + \frac{1}{\mu_0} (B_{\alpha} B_{\beta} - \frac{1}{2} B^2 \delta_{\alpha\beta})$$

$$(\vec{\nabla} \cdot \vec{T})_{\alpha} = \sum_{\beta} \frac{\partial}{\partial r_{\beta}} T_{\alpha\beta}$$

\vec{T} ist der Maxwell'sche Spannungstensor

$$[T] = \frac{\text{Kraft}}{\text{Fläche}}, \quad \vec{\nabla} \cdot \vec{T} \text{ ist eine Kraftdichte}$$

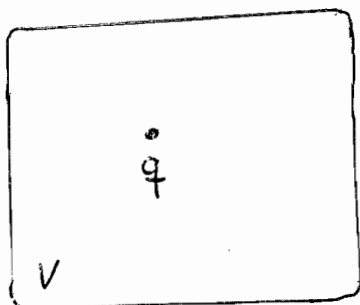
Die Gesamtkraft auf ein gewisses Volumen ist dann

$$\int_{(V)} d^3r \vec{\nabla} \cdot \vec{T} = \int_{(O)} d\vec{f} \cdot \vec{T}$$

d.h. sie kann als Integral über die Oberkande dargestellt werden.

Man kann T auch schon fur die Elektrostatik betrachten

Beispiel: 2 Ladungen



• -q

Wie gro ist die Kraft auf das Volumen V links?

A: \vec{T} berechnen u. integrieren

→ ubung

(3) Drehimpulssatz

Schreibe $\vec{M} = \vec{r} \times \vec{F}$ aus

→ Drehimpulsdichte:

$$\vec{l}_{\text{Feld}} = \vec{r} \times \vec{g}_{\text{Feld}}$$

(4) Zusammenfassung der Erhaltungssätze für den Fall, dass nur Felder vorhanden sind

$$\frac{\partial u}{\partial t} + \vec{\nabla} \cdot \vec{S} = 0$$

$$\frac{\partial \vec{g}}{\partial t} - \vec{\nabla} \cdot \vec{T} = 0$$

Linke Seiten sehen wie 4-dim Divergenzen aus.

Setze also:

$$x_0 = c \cdot t$$

$$x_1 = x$$

$$x_2 = y$$

$$x_3 = z$$

$$\frac{\partial (c u)}{\partial (c t)} + \vec{\nabla} \cdot \vec{S} = 0 \quad | \cdot \frac{1}{c}$$

$$\frac{\partial u}{\partial x_0} + \vec{\nabla} \cdot \left(\frac{1}{c} \vec{S} \right) = 0$$

$\underbrace{\hspace{1.5cm}}_{c \cdot \vec{g}}$

$$\Rightarrow \frac{\partial u}{\partial x_0} + \vec{\nabla} \cdot (c \cdot \vec{g}) = 0 \quad (1)$$

Analog

$$\frac{\partial c\vec{g}}{\partial t_0} - \vec{\nabla} \cdot \vec{T} = 0 \quad (2)$$

Bilde aus $u, c\vec{g}, \vec{T}$ eine (4×4) -Matrix

$$\mathcal{T} = \left(\begin{array}{c|c} u & c \cdot \vec{g} \\ \hline c \cdot \vec{g} & -\vec{T} \end{array} \right) \quad \begin{array}{l} \text{Energie -} \\ \text{Impuls -} \\ \text{Tensor} \end{array}$$

Die Erhaltungssätze (1), (2) lassen sich dann zusammenfassend schreiben:

$$\sum_{\alpha} \frac{\partial}{\partial x_{\alpha}} \mathcal{T}_{0\alpha} = 0 ; \quad \beta = 0, \dots, 3$$

VI Wellen

23. Wellen im Vakuum

(1) Gleichungen

$$\vec{\nabla} \times \vec{E} = -\dot{\vec{B}} \quad ; \quad \vec{\nabla} \cdot \vec{E} = 0$$

$$\vec{\nabla} \times \vec{B} = \mu_0 \epsilon_0 \dot{\vec{E}} \quad ; \quad \vec{\nabla} \cdot \vec{B} = 0$$

Bilde Rotation der 1. Gleichung

$$\begin{aligned}\vec{\nabla} \times (\vec{\nabla} \times \vec{E}) &= \vec{\nabla} (\underbrace{\vec{\nabla} \cdot \vec{E}}_{=0}) - \Delta \vec{E} = -\vec{\nabla} \times \vec{B} \\ &= \frac{\partial}{\partial t} (\vec{\nabla} \times \vec{B}) = -\frac{\partial}{\partial t} (\epsilon_0 \mu_0 \vec{E})\end{aligned}$$

Also:

$$\Delta \vec{E} - \epsilon_0 \mu_0 \ddot{\vec{E}} = 0$$

Mit $\epsilon_0 \mu_0 = \frac{1}{c^2}$ also

$$\Delta \vec{E} - \frac{1}{c^2} \ddot{\vec{E}} = 0 \quad \text{Wellengleichung}$$

Analog für \vec{B} .

(2) Eigenschaften der Wellengleichung

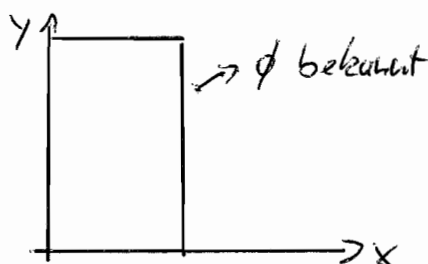
Vergleiche:

Laplace-Glg: $\frac{\partial^2 \phi}{\partial x^2} + \frac{\partial^2 \phi}{\partial y^2} = 0$ „elliptisch“

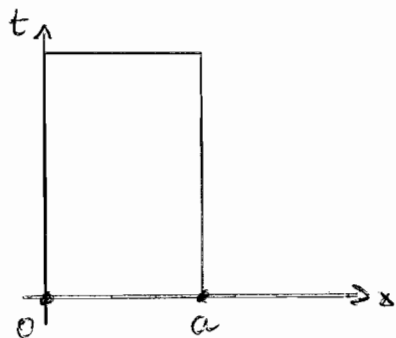
Wellengleichung: $\frac{\partial^2 \phi}{\partial x^2} - \frac{1}{c^2} \frac{\partial^2 \phi}{\partial t^2} = 0$ „hyperbolisch“

Randbedingungen:

Laplace: Lösung ist eindeutig festgelegt, wenn auf einer geschlossenen Oberfläche das Potential ϕ vorgegeben ist. z. B.:



Wellengleichung:



Beispiel: Saite



Man kann fordern, dass $\phi=0$ bei $t=0$. Dann könnte man auch fordern, dass für $t=T$ auch $\phi=0$ gilt.

Dann gibt es folgende Möglichkeiten:

(a) $\phi \equiv 0$

(b) Saite könnte mit einer Eigenschwingung schwingen, die gerade Periode T hat.

→ Lösung ist nicht eindeutig festgelegt.

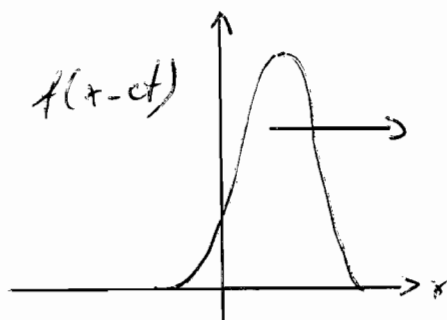
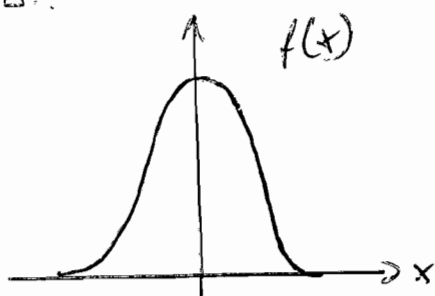
Bei der Wellengleichung stellt man Anfangsbedingungen (in der Zeit) und Randbedingungen (in Ort)

In 1D hat die Wellengleichung (ohne RB) Lösungen der Form

$$f(x-ct) ; \quad g(x+ct)$$

für beliebige f, g

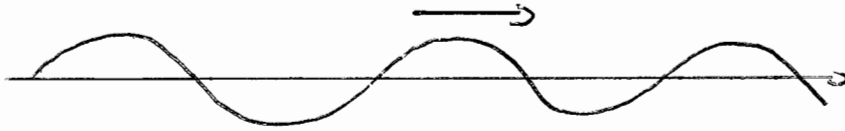
z.B.:



Einfachste Wellen:

$$f(x) = e^{ikx}$$

$$\rightarrow f(x-ct) = e^{ik(x-ct)} = e^{ikx - i\omega t}$$



Um Lösungen mit Randbedingungen zu finden, verwendet man wieder die Separationsmethode

$$\phi(\vec{r}, t) = u(\vec{r}) \cdot f(t)$$

$$\rightarrow (\Delta u) \cdot f(t) - \frac{1}{c^2} u \ddot{f} = 0$$

$$\underbrace{\frac{\Delta u}{u}}_{-k^2} = \underbrace{\frac{1}{c^2} \frac{\ddot{f}}{f}}_{-k^2}$$

$$\rightarrow \ddot{f} = c^2 k^2 f \Leftrightarrow f(t) = e^{-ickt} = e^{-i\omega t}$$

$$\rightarrow \Delta u + k^2 u = 0 \quad \text{dies weiterbehandeln}$$

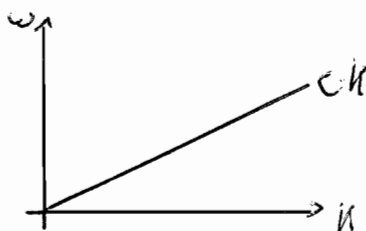
↳ "Helmholtz-Gleichung"

(3) Ebene Wellen

$$\vec{E}(\vec{r}, t) = \vec{E}_0 e^{i(\vec{k} \cdot \vec{r} - \omega t)}$$

entspricht der Lösung $e^{i\vec{k} \cdot \vec{r}}$ der Helmholtz-Glg und ist also eine Lösung der Wellengleichung.

Wobei $\omega^2 = c^2 k^2$



Richtung von \vec{E}_0 :

$$\begin{aligned}\vec{\nabla} \cdot \vec{E} &= (E_{0x} \cdot i k_x + E_{0y} \cdot i k_y + E_{0z} \cdot i k_z) e^{i(\vec{k} \cdot \vec{r} - \omega t)} \\ &= i (\vec{k} \cdot \vec{E}_0) e^{i(\dots)}\end{aligned}$$

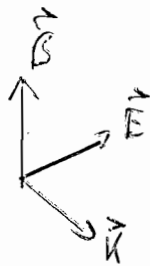
$$\rightarrow \vec{k} \cdot \vec{E}_0 = 0 \rightarrow E_0 \text{ senkrecht auf } \vec{k}$$

Magnetfeld:

$$\begin{aligned}\vec{B} &= -(\vec{\nabla} \times \vec{E}) = -i (\vec{k} \times \vec{E}_0) e^{i(\vec{k} \cdot \vec{r} - \omega t)} \\ \rightarrow \vec{B} &= \underbrace{\frac{1}{\omega} (\vec{k} \times \vec{E}_0)}_{\vec{B}_0} e^{i(\dots)}\end{aligned}$$

Also ist \vec{B} senkrecht auf \vec{E} und \vec{k}

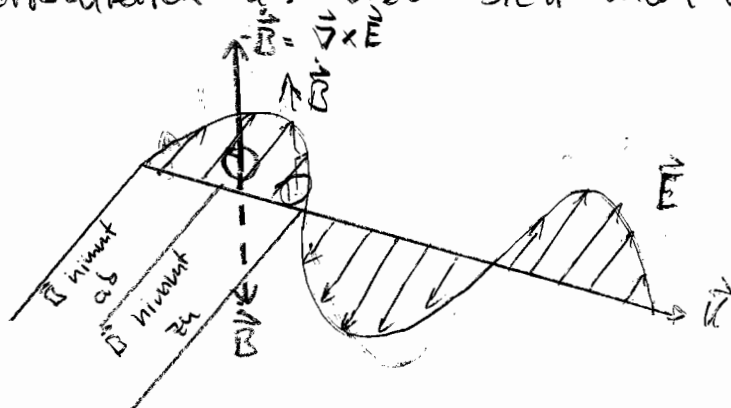
Die Vektoren \vec{k} , \vec{E} , \vec{B} bilden also ein Dreibein



Ferner gilt

$$B_0 = \frac{k}{\omega} E_0 = \frac{1}{c} E_0$$

Das Fortschreiten der Welle sieht man auch so



Energiedichte:

$$\begin{aligned}u(\vec{r}, t) &= \frac{1}{2} \epsilon_0 \vec{E}^2 + \frac{1}{2\mu_0} \vec{B}^2 \\ &= \left(\frac{1}{2} \epsilon_0 E_0^2 + \frac{1}{2\mu_0} \frac{B_0^2}{c^2} \right) \cos^2(\vec{k} \cdot \vec{r} - \omega t)\end{aligned}$$

24. Wellen im Hohlleiter

(1) Randbedingungen

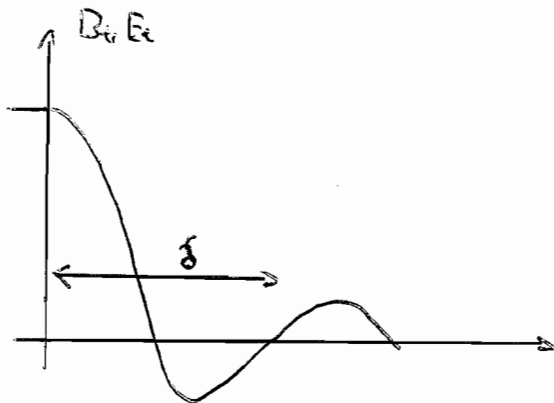
Die Ränder seien metallisch \rightarrow Leitfähigkeit σ geht ein

Tangentialkomponenten:

Statik: $\vec{\nabla} \times \vec{E} = 0 \rightarrow E_t$ stetigInnen $\vec{E} = 0 \rightarrow$ außen $E_t = 0$ Dynamik: $\vec{\nabla} \times \vec{E} = -\dot{\vec{B}} \rightarrow E_t$ stetig ($\int \dot{\vec{B}} \cdot d\vec{A} \equiv 0$)

Feld innen?

Erinnerung: Wirbelströme



$$\delta = \frac{1}{\sqrt{2\pi\sigma\omega}}$$

Für $\sigma \rightarrow \infty$ geht $\delta \rightarrow 0$, also dringt B nur wenig ein.

$$\frac{E}{H} \sim \sqrt{\frac{\omega}{\sigma}} \rightarrow 0$$

Also ist auch hier $E_t \equiv 0$ im Leiter.

Magnetfeld:

$$\vec{\nabla} \times \vec{H} = \vec{j} + \dot{\vec{D}}$$

Dann steht rechts bei Stokes

$$\underbrace{\int \vec{j} \cdot d\vec{A}} + \int \dot{\vec{D}} \cdot d\vec{A}$$

hier bleibt etwas übrig, wenn $\sigma \rightarrow \infty$

Also ist für H_z, B_z der Wert innen und außen nicht gleich. Innen ist $H_z = 0$

Normalkomponenten:

$$\vec{\nabla} \cdot \vec{D} = \rho \quad \rightarrow \quad \int \vec{\nabla} \cdot \vec{D} \, dV = \int \rho \, dV$$

" "

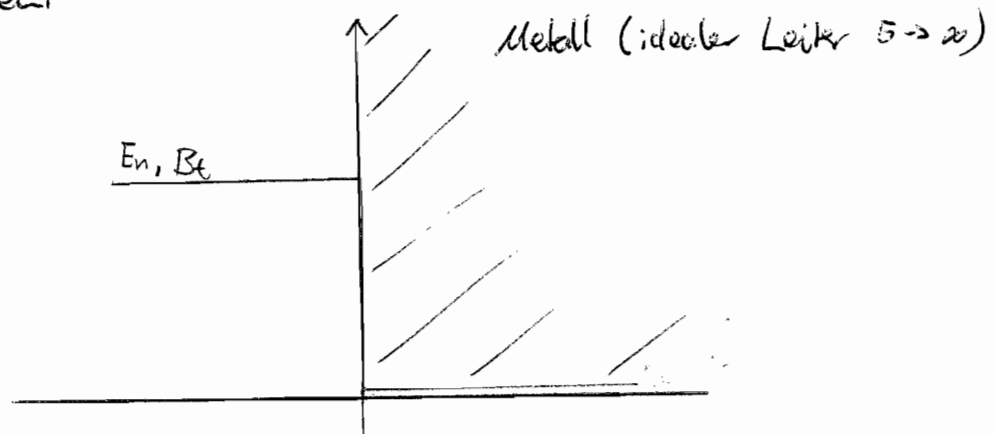
$$\int \vec{D} \cdot d\vec{A}$$

Wenn ρ am Rand groß (δ förmig) ist, dann bleibt rechts etwas stehen. Dies ist für $\sigma \rightarrow \infty$ der Fall. Es fällt auf Null wie im statischen Fall.

$$\vec{\nabla} \cdot \vec{B} = 0 \quad \rightarrow \quad B_n \text{ stetig}$$

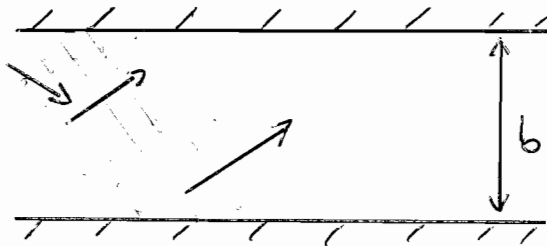
Innen ist \vec{B} ebenso null wie \vec{E}

Zusammen:



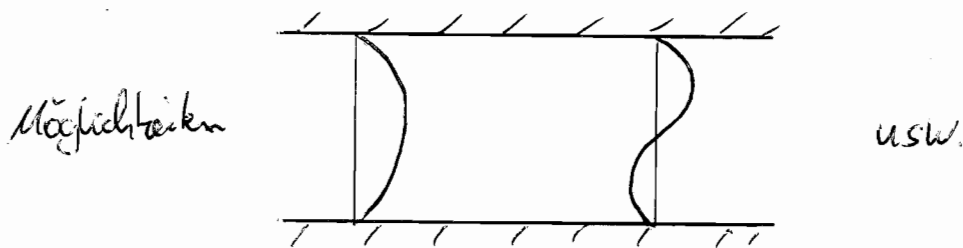
(2) Physikalische Diskussion

Betrachte 2 metallische Platten, zwischen denen eine Welle hin- u. herläuft



Sei \vec{E} tangential zu den Platten
 $\rightarrow \vec{E} = 0$ auf den Platten

Die Welle wird an der Platte reflektiert und es bildet sich ein Knoten ($\vec{E} = 0$). Insgesamt ergibt sich senkrecht zu den Platten eine stehende Welle.



Zerlege das \vec{k} in $e^{i\vec{k} \cdot \vec{r}}$ als

$$\vec{k} = \vec{k}_{\parallel} + \vec{k}_{\perp}$$

Dann sind nur solche \vec{k}_{\perp} möglich, für die

$$k_{\perp} \cdot b = n \cdot \pi, \quad n = 1, 2, 3, \dots$$

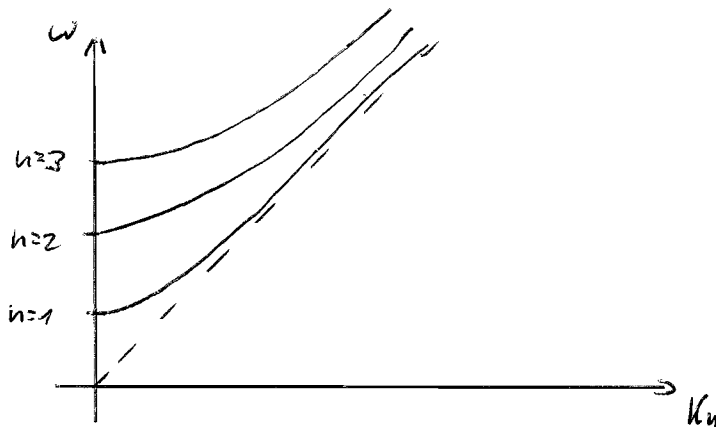
bzw. mit $k_{\perp} = \frac{2\pi}{\lambda_{\perp}}$

$$\frac{2b}{\lambda_{\perp}} = k_{\perp} \rightarrow \lambda_{\perp} = \frac{2b}{k_{\perp}}$$

Die Frequenzen sind

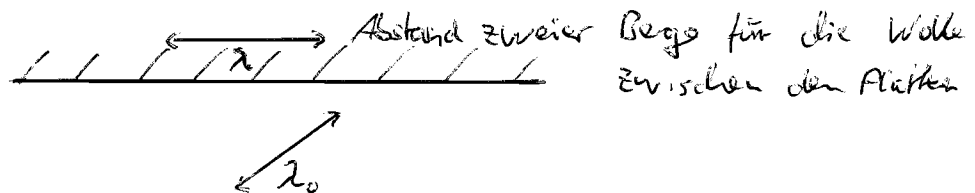
$$\begin{aligned} \omega^2 &= c^2 \vec{k}^2 = c^2 (k_{\perp}^2 + k_{\parallel}^2) \\ &= c^2 \left(\left(\frac{\pi k_{\parallel}}{b} \right)^2 + k_{\parallel}^2 \right) \end{aligned}$$

$$\rightarrow \omega = c \sqrt{\left(\frac{\pi k_{\parallel}}{b} \right)^2 + k_{\parallel}^2}$$



Phasengeschwindigkeit

$$u = \frac{\omega}{k_{\parallel}} = c \frac{\sqrt{\quad}}{k_{\parallel}} > c$$

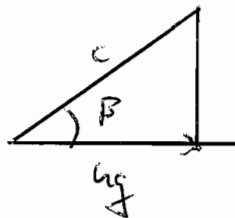
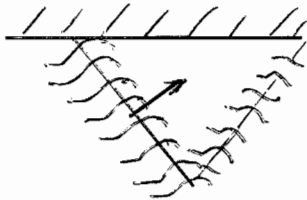


Die Distanzen λ u. λ_0 werden in der selben Zeit durchlaufen $\rightarrow u > c$

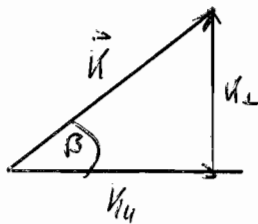
Gruppen geschwindigkeit

$$u_g = \frac{d\omega}{dk_x} = c \frac{k_x}{\sqrt{c^2 - k_x^2}} < c$$

Komponente parallel zu den Platten



$$u_g = c \cdot \underbrace{\cos \beta}_{\frac{k_x}{\sqrt{c^2 - k_x^2}}}$$

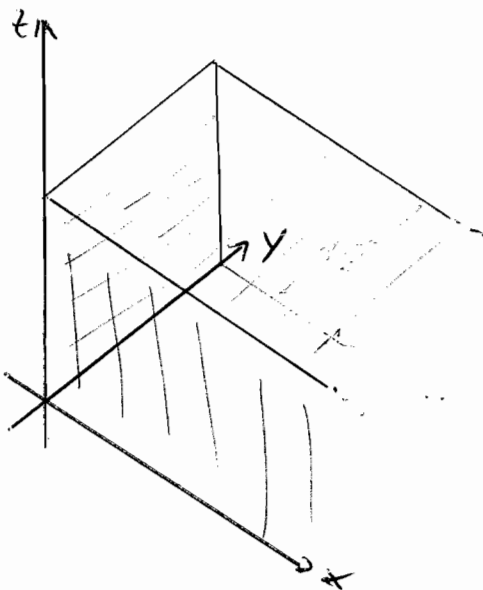


Kleinste mögliche Frequenz:

$$\omega_{\min} = c \cdot \frac{\pi}{b}$$

$$b = 10 \text{ cm} \rightarrow \omega_{\min} = 10^{10} \text{ Hz} = 10 \text{ GHz}$$

(3) Genaue Behandlung
Betrachte rechteckigen Hohlleiter



Alle Komponenten von \vec{E}
u. \vec{B} erfüllen

$$\Delta \phi + k^2 \phi = 0, \quad \omega = c \cdot k$$

Helmholtz-Gleichung

Suche eine Lösung in Form
eines Produktes

$$\phi(x, y, z) = f(x) g(y) h(z)$$

Für Welle in x -Richtung setze

$$f(x) = e^{ik_0 x}$$

Dann bleibt

$$\left(\frac{\partial^2}{\partial y^2} + \frac{\partial^2}{\partial z^2} \right) g \cdot h - \underbrace{(k^2 - k_0^2)}_{k_z^2} g \cdot h = 0$$

Helmholtz-Gly., wo nur noch y, z vorkommt.

Komponenten von \vec{E}, \vec{B}

Wir betrachten den Fall

$$\vec{E} = (0, E_y, 0) \quad \text{Transversal - elektrische (TE) Welle}$$

Für \vec{B} setze $\vec{B} = (B_x, 0, B_y)$ nicht transversal

Betrachte nämlich

$$\vec{\nabla} \times \vec{E} = -\dot{\vec{B}} \rightarrow (\vec{\nabla} \times \vec{E})_x = -\frac{\partial E_y}{\partial z} = -\dot{B}_x$$

Es muss also B_x auftreten, wenn $\frac{\partial E_y}{\partial z} \neq 0$

$$(\vec{\nabla} \times \vec{E})_y = 0 = -\dot{B}_y \Rightarrow B_y = 0 \quad \text{möglich}$$

$$(\vec{\nabla} \times \vec{E})_z = \frac{\partial E_y}{\partial x} = ik_0 E_y = i\omega B_z$$

$$\vec{\nabla} \times \vec{B} = \frac{1}{c^2} \vec{E} \rightarrow (\vec{\nabla} \times \vec{B})_x = \frac{\partial B_z}{\partial y} = \frac{1}{c^2} E_x = 0$$

$\rightarrow B_z$ unabhängig von y

$$(\vec{\nabla} \times \vec{B})_y = \frac{\partial B_x}{\partial z} - \frac{\partial B_z}{\partial x} = \frac{\partial B_x}{\partial z} - i k_{||} B_z = -\frac{i\omega}{c^2} E_y$$

$$(\vec{\nabla} \times \vec{B})_z = -\frac{\partial B_x}{\partial y} = 0 \rightarrow B_x \text{ unabhängig von } y$$

RB für B_x

$$\left. \begin{array}{l} \text{unten/oben: } E_y \equiv E_z \equiv 0 \\ B_z \equiv B_{||} = 0 \end{array} \right\} \rightarrow \frac{\partial B_x}{\partial z} = 0$$

$$\text{Ferner: } \vec{\nabla} \cdot \vec{E} = 0 = \frac{\partial E_y}{\partial y} \rightarrow E_y \text{ unabhängig von } y$$

$$\vec{\nabla} \cdot \vec{B} = 0 \rightarrow \underbrace{\frac{\partial B_x}{\partial x}}_{i k_{||} B_x} + \frac{\partial B_z}{\partial z} = 0$$

Das ergibt für B_x :

$$B_x(z) = B_x^0 \cdot \cos\left(\frac{n\pi}{b} z\right) \quad (= B_x^0 \cdot \cos(k_{\perp} z))$$

und für B_z

$$B_z(z) = B_z^0 \sin\left(\frac{n\pi}{b} z\right) = B_z^0 \sin(k_{\perp} z)$$

mit

$$\left. \begin{array}{l} \frac{\partial B_z}{\partial z} = k_{\perp} B_z^0 \cos(k_{\perp} z) \\ = -i k_{||} B_x^0 \cos(k_{\perp} z) \end{array} \right\} B_z^0 = -i \frac{k_{||}}{k_{\perp}} B_x^0$$

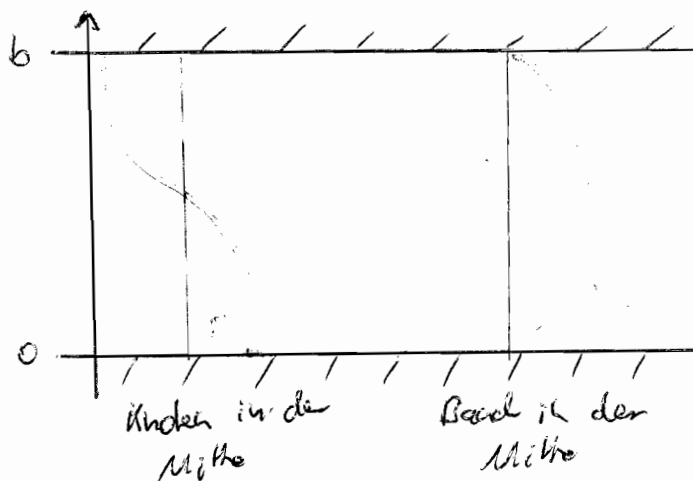
und für E_y :

$$E_y(z) = E_y^0 \sin\left(\frac{\pi}{b} z\right)$$

mit $E_y = \frac{\omega}{k_y} B_z \rightarrow E_y^0 = \frac{\omega}{k_y} B_z^0$

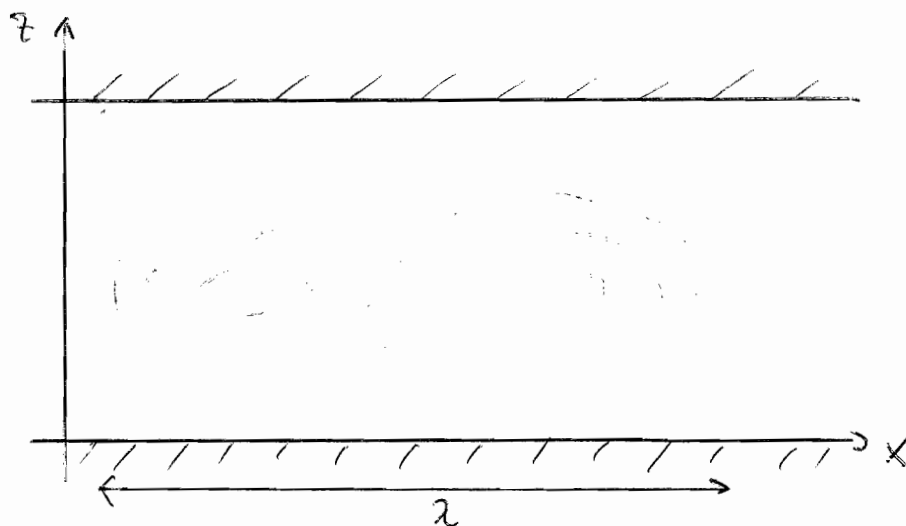
Eine Amplitude, z.B. B_x^0 kann man frei wählen

Beispiel $n=1$:



Wegen des Faktors i zwischen B_x^0 u. B_z^0 hat man eine Phasenverschiebung in Bezug auf die x -Abhängigkeit. B_x maximal $\leftrightarrow B_z = 0$

Das ergibt:



Dies entsteht aus einer transversalen Welle

Entstehung durch „Zusammenbiegen“
der B-Linien wegen der RB

Übung \rightarrow TM-Welle

(4) Beispiele

(a) Übliche Hohlleiter (z. B. für Radar)
Resonatoren (stehende Wellen)
Koaxialkabel \rightarrow TEM-Wellen

(b) Lichtwellenleiter
Hier Materialien mit zwei ϵ

(c) Erde + Atmosphäre
Erdboden u. Ionosphäre haben Leitfähigkeit



Einfachster Fall: $\alpha = \alpha R$

$$\omega = c \cdot k = c \frac{2\pi}{\lambda} = \frac{c}{R}$$

$$\rightarrow \omega \approx 50 \text{ s}^{-1} \rightarrow \nu \approx 10 \text{ Hz}$$

Die Schwingungen heißen Schumann-Resonanzen

25. Wellen in homogenen Medien

Volle Maxwell-Glg. mit ϵ, μ, σ . Beachte:
Diese hängen i. A. von der Frequenz ω ab!

(1) Gleichungen

$$\begin{aligned}\vec{\nabla} \times \vec{B} &= \mu\mu_0 (\vec{j} + \dot{\vec{D}}) \\ \rightarrow \vec{\nabla} \cdot (\vec{\nabla} \times \vec{B}) &= \underbrace{\vec{\nabla} \cdot (\vec{\nabla} \times \vec{B})}_{=0} - \Delta \vec{B} = \vec{\nabla} \cdot [\mu\mu_0 (\vec{j} + \dot{\vec{D}})] \\ &= \underbrace{\mu\mu_0 (\vec{\nabla} \cdot \sigma \vec{E})}_{-\sigma \vec{B}} + \mu\mu_0 \epsilon \epsilon_0 \underbrace{\frac{\partial}{\partial t} (\vec{\nabla} \cdot \vec{E})}_{-\vec{B}}\end{aligned}$$

Also:

$$\underbrace{\Delta \vec{B} - \mu\mu_0 \sigma \dot{\vec{B}}}_{\text{wie früher (s. Wirbelstrom)}} - \underbrace{\frac{\epsilon\mu}{c^2} \ddot{\vec{B}}}_{\text{von } \vec{D}} = 0$$

Analog:

$$\begin{aligned}\vec{\nabla} \times \vec{E} &= -\dot{\vec{B}} \\ \rightarrow \vec{\nabla} \cdot (\vec{\nabla} \times \vec{E}) &= \underbrace{\vec{\nabla} \cdot (\vec{\nabla} \times \vec{E})}_{=0} - \Delta \vec{E} \\ &= \underbrace{\frac{1}{\epsilon \epsilon_0} \rho}_{\rho}\end{aligned}$$

$$\rightarrow \Delta \vec{E} - \mu\mu_0 \sigma \dot{\vec{E}} - \frac{\epsilon\mu}{c^2} \ddot{\vec{E}} = \vec{\nabla} \left(\frac{\rho}{\epsilon \epsilon_0} \right)$$

(2) Dielektrika:

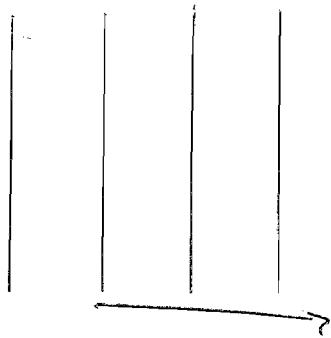
Hier ist $\rho=0, \sigma=0 \rightarrow$ Wellengleichung für \vec{E}, \vec{B} mit

$$c' = \frac{c}{\sqrt{\epsilon\mu}}$$

\rightarrow Analoge Eigenschaften der Wellen wie im Vakuum. Aber Dämpfung wenn ϵ, μ komplex

(3) Metalle

Longitudinalwellen:



$$\vec{E} = (E_x^0, 0, 0) e^{i(kx - \omega t)}$$

$$\vec{\nabla} \cdot \vec{E} = \frac{\partial E_x}{\partial x} = E_x^0 i k e^{-i\omega t} = i k E_x = \frac{\rho}{\epsilon \epsilon_0}$$

$$\rightarrow \frac{\partial^2 E_x}{\partial x^2} = \frac{\partial}{\partial x} \left(\frac{\rho}{\epsilon \epsilon_0} \right)$$

Ergibt in der Wellengleichung:

$$\frac{\partial^2 E_x}{\partial x^2} - \underbrace{\mu \mu_0 \sigma}_{-i\omega \epsilon_0} E_x - \frac{\epsilon \mu}{c^2} \underbrace{\ddot{E}_x}_{-\omega^2 E_x} - \frac{\partial^2 E_x}{\partial t^2}$$

$$(i\omega \sigma + \epsilon \epsilon_0 \omega^2) E_x = 0$$

$$\rightarrow \omega = -i \left(\frac{\sigma}{\epsilon \epsilon_0} \right) \quad \omega \text{ ist unabh. von } k$$

Ist σ reell, so ist ω ~~reell~~ imaginär. Damit klingt E zeitlich ab und oszilliert nicht. Wenn aber σ komplex, z.B.:

$$\sigma = \frac{\sigma_0}{1 - i\omega\tau} \quad \rightarrow \text{quadrat. Glg. für } \omega \text{ (kann oszillieren)}$$

\rightarrow Schwingungen (Plasmaschwingungen)
s. Aufgabe 34

(4) Transversalwellen

Hier fällt der S -Term aus der Gleichung heraus
und mit $\vec{E} \sim e^{i(\vec{k}\vec{r} - \omega t)}$ folgt aus

$$\Delta \vec{E} - \mu \mu_0 \sigma \vec{E} - \frac{\epsilon \mu}{c^2} \ddot{\vec{E}} = 0$$

$$(-k^2 + i\omega \mu \mu_0 \sigma + \frac{\epsilon \mu}{c^2} \omega^2) \vec{E} = 0$$

Aufgelöst nach k :

$$k^2 = \underbrace{\frac{\epsilon \mu}{c^2} \omega^2}_{\text{von } \vec{D}} + \underbrace{\frac{i\sigma}{\epsilon \epsilon_0} \omega}_{\text{von } \vec{j}}$$

→ i.A. ist k komplex, d.h. man hat ein Abklingen
der Welle im Ort (Verluste durch Ströme).

Dies ist dominierend bei kleinen ω

↳ Übung

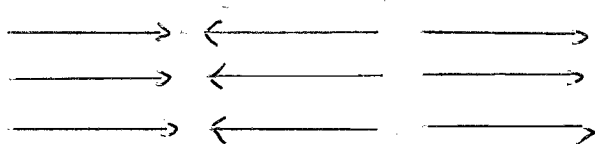
Bei großen ω . Verwende

$$\sigma = \frac{\sigma_0}{1 - i\omega \tau} \approx \frac{\sigma_0}{-i\omega \tau}$$

$$\rightarrow \frac{i\sigma}{\epsilon \epsilon_0} \omega \approx -\frac{\sigma_0}{\epsilon \epsilon_0 \tau} \quad \text{reell}$$

→ k reell „UV-Durchsichtigkeit von Metallen“

Unterschied Longitudinal - transversal



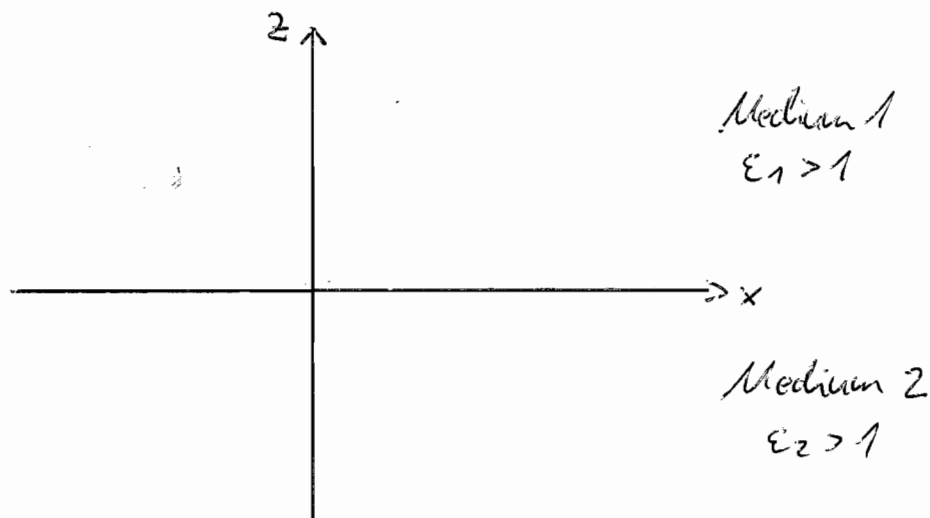
Ladungen werden
angehäuft

Transversal: $\uparrow\uparrow\uparrow$ $\downarrow\downarrow\downarrow$ $\uparrow\uparrow\uparrow$ keine Ladungseinhäufungen

26. Reflexion an Grenzflächen

(1) Situation: 2 Dielektrika mit ebener Grenzfläche

Ebene Welle fällt auf die Grenzfläche



2 Möglichkeiten:

- E parallel zur Einfallsebene (np)
- E senkrecht \perp (ns)

Wir betrachten den p-Fall.

Wir wissen schon, dass es eine reflektierte und eine durchgelassene Welle gibt.

Dies ist mathematisch auch nötig, um die zwei RB zu erfüllen.

E_t stetig, D_n stetig

Setze also

$$\text{Einf.: } \vec{E}_e = e^{i(\vec{k}_e \cdot \vec{r} - \omega t)}$$

$$\text{Refl.: } \vec{E}_r = e^{i(\vec{k}_r \cdot \vec{r} - \omega t)}$$

$$\text{Durch.: } \vec{E}_d = e^{i(\vec{k}_d \cdot \vec{r} - \omega t)}$$

$$\text{mit } \omega^2 = c_1^2 k_e^2 = c_1^2 k_r^2 = c_2^2 k_d^2 ; \quad c_i^2 = \frac{c^2}{\epsilon_i}$$

(2) Richtungen der Wellen

Auf der Grenzfläche $z=0$ hat man die e-Faktoren

$$e^{i k_{ex} x}, \quad e^{i k_{rx} x}, \quad e^{i k_{dx} x}$$

An jedem Ort x müssen die RB gelten

→ die e-Faktoren müssen alle gleich sein

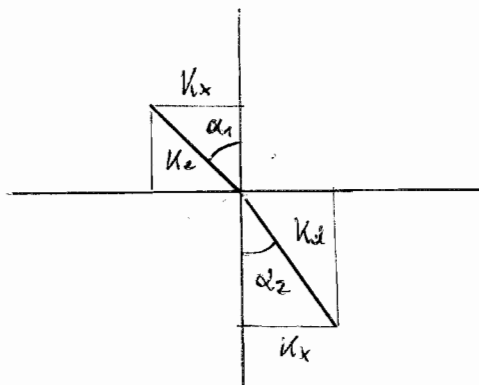
$$\rightarrow \underline{k_{ex} = k_{rx} = k_{dx} \equiv k_x}$$

Es folgt mit

$$+k_r^2 = k_e^2 \rightarrow k_{rz}^2 = k_{ez}^2$$

$$\text{Reflexion: } k_{rz} = -k_{ez}$$

$$\frac{k_e^2}{n_1^2} = \frac{k_d^2}{n_2^2} ; \quad n_i = \sqrt{\epsilon_i}$$

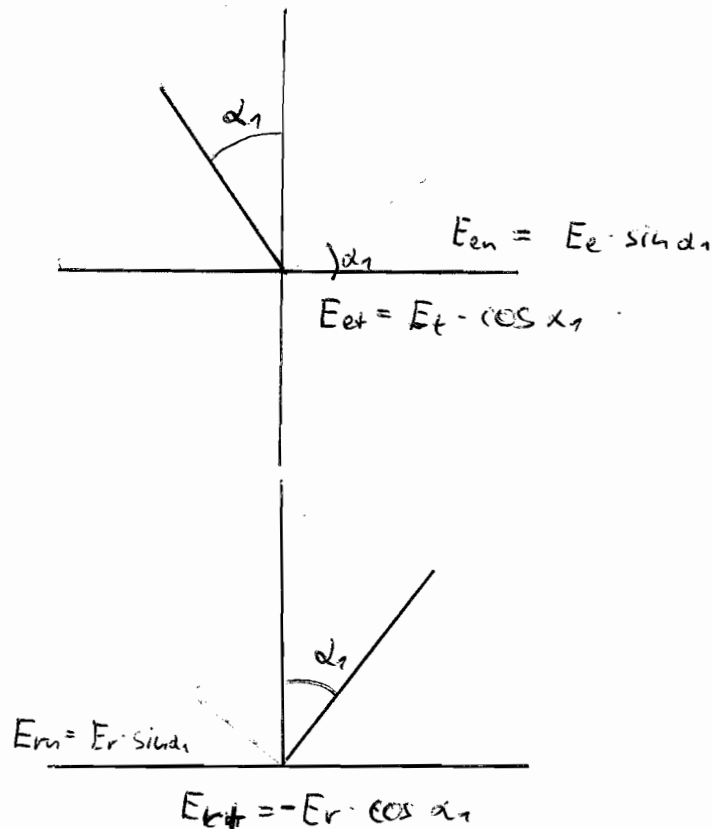


$$\sin \alpha_1 = \frac{k_x}{k_e}$$

$$\sin \alpha_2 = \frac{k_x}{k_d}$$

$$\frac{\sin \alpha_1}{\sin \alpha_2} = \frac{n_2}{n_1} = \frac{k_d}{k_e}$$

(3) Amplituden der Felder



Analog für E_d

E_t stetig: $E_{et} + E_{er} = E_{dt}$

$$E_e \cdot \cos \alpha_1 - E_r \cdot \cos \alpha_1 = E_d \cdot \cos \alpha_2$$

$$(E_e + E_r) \cdot \cos \alpha_1 = E_d \cdot \cos \alpha_2 \quad (1)$$

ϵE_n stetig: $\epsilon_1 (E_{en} + E_{er}) = \epsilon_2 E_{dn}$

$$\epsilon_1 (E_e + E_r) \cdot \sin \alpha_1 = \epsilon_2 E_d \cdot \sin \alpha_2 \quad (2)$$

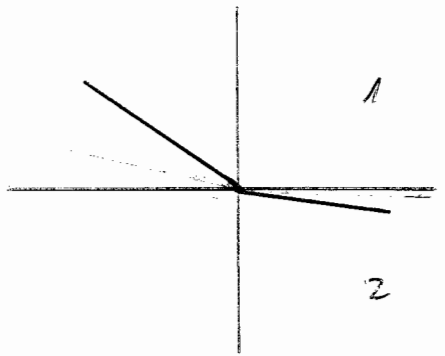
→ 2 Gleichungen für E_r , E_d , wenn E_e gegeben.

→ Berechne $\frac{E_r}{E_d}$, bzw. $R = \left(\frac{E_r}{E_d}\right)^2$ Reflexionskoeff.

→ Übung

(4) Totalreflexion

Wenn $n_2 < n_1$ hat man Brechung vom Lot weg



Was passiert in diesem Fall?

$$k_d^2 = k_x^2 + k_z^2 = \left(\frac{c_1}{c_2}\right)^2 k_e^2 = \left(\frac{c_1}{c_2}\right)^2 (k_x^2 + k_{ez}^2)$$

$$\rightarrow k_{dz}^2 = k_x^2 \underbrace{\left[\left(\frac{n_2}{n_1}\right)^2 - 1\right]}_{< 0 \text{ n. Ver.}} + \left(\frac{n_2}{n_1}\right)^2 k_{ez}^2$$

$$= k_e^2 \left\{ \sin^2 \alpha_1 \left[\left(\frac{n_2}{n_1}\right)^2 - 1\right] + \left(\frac{n_2}{n_1}\right)^2 \cos^2 \alpha_1 \right\}$$

$$= k_e^2 \left\{ \underbrace{\left(\frac{n_2}{n_1}\right)^2 - \sin^2 \alpha_1}_{\text{wird negativ, wenn } \sin^2 \alpha_1 > \left(\frac{n_2}{n_1}\right)^2} \right\}$$

wird negativ, wenn $\sin^2 \alpha_1 > \left(\frac{n_2}{n_1}\right)^2$

Dann ist $k_{dz}^2 < 0 \rightarrow k_{dz} = \pm i |k_{dz}|$

$$\rightarrow e^{i \vec{k}_{dz} \cdot \vec{r}} = e^{\pm |k_{dz}| \cdot z} \cdot e^{i k_x \cdot x}$$

\rightarrow Man erhält eine Welle in x-Richtung, deren Amplitude ins Medium 2 hinein immer kleiner wird



27. Retardierte Potentiale

Wir betrachten zeitabh. Probleme im Vakuum.

(1) Eichung der Potentiale

$$\vec{B} = \vec{\nabla} \times \vec{A}$$

$$\vec{E} = -\vec{\nabla}\phi - \dot{\vec{A}}$$

Dieselben Felder folgen aus

$$\vec{A}' = \vec{A} + \vec{\nabla}\chi$$

$$\phi' = \phi - \dot{\chi}$$

Dabei kann man von \vec{A}, ϕ eine zusätzliche Bedingung stellen, z. B.

$$\vec{\nabla} \cdot \vec{A} + \frac{1}{c^2} \dot{\phi} = 0, \text{ Lorentz-Bedingung}$$

Trotzdem sind auch dann \vec{A}, ϕ nicht völlig eindeutig. Auch A' und ϕ' erfüllen die Bed., wenn gilt

$$\Delta\chi - \frac{1}{c^2} \ddot{\chi} = 0$$

Wenn \vec{A}, ϕ die Lorentzbed. erfüllen, spricht man von Lorentz-Eichung

(2) Gleichungen für die Potentiale

$$\vec{\nabla} \cdot \vec{E} = \rho/\epsilon_0$$

$$\begin{aligned}
 \rightarrow \vec{\nabla} \cdot (-\vec{\nabla}\phi - \ddot{\vec{A}}) &= -\Delta\phi - \vec{\nabla} \cdot \ddot{\vec{A}} \\
 &= -\Delta\phi - \frac{\partial}{\partial t} (\vec{\nabla} \cdot \dot{\vec{A}}) \\
 &= -\Delta\phi + \frac{1}{c^2} \ddot{\phi} = \rho/\epsilon_0
 \end{aligned}$$

$$\text{d.h. } \square\phi \equiv \Delta\phi - \frac{1}{c^2} \ddot{\phi} = -\frac{\rho}{\epsilon_0}$$

Inhomogene Wellengleichung \equiv Poisson-Glg.

$$\vec{\nabla} \times \vec{B} = \mu_0 (\vec{j} + \epsilon_0 \dot{\vec{E}})$$

$$\rightarrow \vec{\nabla} \times (\vec{\nabla} \times \vec{A}) = \vec{\nabla} (\vec{\nabla} \cdot \vec{A}) - \Delta \vec{A} = \mu_0 \vec{j} + \epsilon_0 \mu_0 (-\vec{\nabla} \dot{\phi} - \ddot{\vec{A}})$$

$$\text{d.h. } \square \vec{A} \equiv \Delta \vec{A} - \frac{1}{c^2} \ddot{\vec{A}} = -\mu_0 \vec{j}$$

Analoge Gleichung wie für ϕ

Man hat also die Glg. für \vec{A} u. ϕ entkoppelt.

(3) Lösung der Gleichungen

Betrachte ϕ

Ohne Zeitabhängigkeit hat man die Poisson-Glg. mit Lösung

$$\phi = \frac{1}{4\pi\epsilon_0} \int \frac{\rho(\vec{r}')}{|\vec{r} - \vec{r}'|} d^3r'$$

Wir lösen die zeitabh. Gleichung mit Fouriertransf.

$$\rho(\vec{r}, t) = \int_{-\infty}^{+\infty} \frac{d\omega}{2\pi} \rho(\vec{r}, \omega) e^{-i\omega t}$$

$$\phi(\vec{r}, t) = \int_{-\infty}^{+\infty} \frac{d\omega}{2\pi} \phi(\vec{r}, \omega) e^{-i\omega t}$$

Einschub: Fourierrechnung

Betrachte eine periodische Funktion $f(t)$

$$f(t+T) = f(t)$$

Idee: Schreibe $f(t)$ in der Form

$$f(t) = \sum_n f_n e^{-i\omega_n t} \quad ; \quad n = 0, 1, 2, 3, \dots$$

Jede einzelne e-Funktion muss auch die Periodizität in T haben.

$$e^{-i\omega_n(t+T)} = e^{-i\omega_n t}$$

$$\rightarrow e^{-i\omega_n T} = 1$$

$$\rightarrow \omega_n T = 2\pi n \quad \rightarrow \quad \omega_n = \frac{2\pi}{T} n$$

Man kann $e_n = e^{-i\omega_n t}$ als „Basisvektoren“ im Funktionenraum ansehen.

$$\rightarrow f = \sum_n f_n e_n$$

Die e_n bilden ein Orthogonalsystem

$$\text{Sei } \langle e_n, e_m \rangle = \frac{1}{T} \int_0^T dt e_n^* e_m$$

$$= \frac{1}{T} \int_0^T dt e^{i(\omega_n - \omega_m)t}$$

$$= \frac{1}{T} \frac{1}{i(\omega_n - \omega_m)} e^{i(\omega_n - \omega_m)t} \Big|_0^T$$

$$\underbrace{(e^{i(\omega_n - \omega_m)T} - 1)} = 0$$

Also: $\langle e_n, e_m \rangle = \delta_{nm}$

Daher

$$\langle f, e_m \rangle = \sum_n f_n \underbrace{\langle e_n, e_m \rangle}_{\delta_{nm}}$$

Also ist

$$f_m = \langle f, e_m \rangle = \frac{1}{T} \int_0^T dt \overset{\text{ungünstig}}{f^*(t)} e^{-i\omega_m t}$$

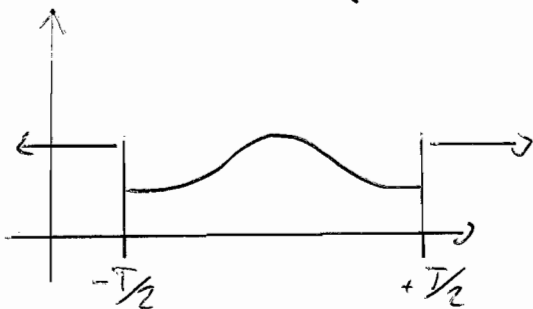
Formel für die Koeffizienten, bzw.:

$$\langle e_m, f \rangle = \frac{1}{T} \int dt e^{i\omega_m t} f(t) = \sum_n f_n \langle e_m, e_n \rangle = f_m$$

$$\rightarrow f_m = \frac{1}{T} \int_0^T dt f(t) e^{i\omega_m t}$$

Aperiodische Funktionen:

Periode T immer größer machen: $T \rightarrow \infty$



Dann werden die $\omega_n = \frac{2\pi}{T} n$ immer dichter

Schreibe:

$$f(t) = \sum_{\omega_n} f_n e^{-i\omega_n t}$$

$$= \frac{1}{\Delta\omega} \sum_{\omega_n} \Delta\omega \cdot f_n e^{-i\omega_n t}$$

$$= \frac{1}{2\pi} \sum_{\omega_n} \underbrace{\Delta\omega}_{\rightarrow \Delta\omega} \underbrace{(T \cdot f_n)}_{f(\omega)} \underbrace{e^{-i\omega t}}_{e^{-i\omega t}}$$

$$f(t) = \int_{-\infty}^{+\infty} \frac{d\omega}{2\pi} f(\omega) e^{-i\omega t} \quad \text{Fourier-Integral}$$

Für $f(\omega)$ folgt aus der Formel für die Koeffizienten:

$$f(\omega) = \int_{-\infty}^{+\infty} dt f(t) e^{i\omega t}$$

Einsetzen in

$$\Delta\phi - \frac{1}{c^2} \ddot{\phi} = -\frac{\rho}{\epsilon_0}$$

$$\int \frac{d\omega}{2\pi} \left[\Delta + \frac{\omega^2}{c^2} \right] \phi(\vec{r}, \omega) e^{-i\omega t} = - \int \frac{d\omega}{2\pi} \frac{1}{\epsilon_0} \rho(\vec{r}, \omega) e^{-i\omega t}$$

$$\rightarrow (\Delta + k^2) \phi(\vec{r}, \omega) = -\frac{1}{\epsilon_0} \rho(\vec{r}, \omega) ; \quad k^2 = \frac{\omega^2}{c^2}$$

Inhomogene Helmholtzgleichung

Betrachte den Fall, dass rechts $\delta(\vec{r} - \vec{r}')$ steht für $k=0$ hätte man:

$$\phi(\vec{r}) = -\frac{1}{4\pi\epsilon_0} \frac{1}{|\vec{r} - \vec{r}'|}$$

Für $k \neq 0$ ist die Lösung:

$$\phi(\vec{r}) = -\frac{1}{4\pi} \frac{e^{\pm ik|\vec{r} - \vec{r}'|}}{|\vec{r} - \vec{r}'|}$$

Wenn rechts ein beliebiges $\rho(\vec{r}', \omega)$ steht, muss man über r' integrieren. Das ergibt:

$$\phi(\vec{r}, \omega) = \frac{1}{4\pi\epsilon_0} \int d^3r' \frac{\rho(\vec{r}', \omega)}{|\vec{r} - \vec{r}'|} e^{\pm ik|\vec{r} - \vec{r}'|}$$

Einsetzen gibt:

$$\phi(\vec{r}; t) = \frac{1}{4\pi\epsilon_0} \int d^3r' \int \frac{d\omega}{2\pi} e^{i\frac{\omega}{c}|\vec{r}-\vec{r}'| - i\omega t} \frac{\rho(\vec{r}', \omega)}{|\vec{r}-\vec{r}'|}$$

$$\rightarrow e^{-i\omega \underbrace{\left(t - \frac{1}{c}|\vec{r}-\vec{r}'|\right)}_{t'}}$$

$$\phi(\vec{r}; t) = \frac{1}{4\pi\epsilon_0} \int d^3r' \frac{\rho(\vec{r}', t')}{|\vec{r}-\vec{r}'|}; \quad t' = t - \frac{1}{c}|\vec{r}-\vec{r}'|$$